

**АЗЭРБАЙЧАН ССР ЕЛМЛЭР АКАДЕМИЈАСЫ  
АКАДЕМИЯ НАУК АЗЕРБАЙДЖАНСКОЙ ССР**

---

# **МЭРҮЗЭЛЭР ДОКЛАДЫ**

**ТОМ ХХIII ЧИЛД**

**3**

---

**АЗЭРБАЙЧАН ССР ЕЛМЛЭР АКАДЕМИЈАСЫ НЭШРИЈАТЫ  
ИЗДАТЕЛЬСТВО АКАДЕМИИ НАУК АЗЕРБАЙДЖАНСКОЙ ССР**

**Бакы—1967—Баку**

АЗӘРБАЙЧАН ССР ЕЛМЛӘР АКАДЕМИЈАСЫ  
АКАДЕМИЯ НАУК АЗЕРБАЙДЖАНСКОЙ ССР

# МӘ'РУЗӘЛӘР ДОКЛАДЫ

ТОМ XXIII ЧИЛД

№ 3



АЗӘРБАЙЧАН ССР ЕЛМЛӘР АКАДЕМИЈАСЫ НӘШРИЈАТЫ  
ИЗДАТЕЛЬСТВО АКАДЕМИИ НАУК АЗЕРБАЙДЖАНСКОЙ ССР  
БАКЫ—1967—БАКУ

Р. М. АЛИЕВ, Ф. А. ФАРАДЖЕВ

ЭКСТРЕМАЛЬНЫЕ ЗАДАЧИ ДЛЯ НЕКОТОРЫХ КЛАССОВ  
ФУНКЦИЙ

(Представлено академиком АН Азербайджанской ССР З. И. Халиловым)

Пусть  $W_{L^p}^m(M; 0,1)$  ( $p \geq 1$ ) означает класс функций  $f(x)$ , имеющих абсолютно непрерывные производные порядка  $m-1$  и производную порядка  $m$ , удовлетворяющую условию

$$\|f^{(m)}(x)\|_{L^p} = \left( \int_0^1 |f^{(m)}(x)|^p dx \right)^{1/p} \leq M \quad (p \geq 1) \quad (1)$$

В случае  $p=\infty$  вместе условия (1) мы полагаем, что для кусочно непрерывной производной  $f^{(m)}(x)$  выполняется неравенство

$$|f^{(m)}(x)| \leq M \quad (0 \leq x \leq 1)$$

Классы  $W_{L^p}^{(m)}(M; 0,1)$  в случае  $p=1, \infty$  соответственно обозначаются через

$$W_L^{(m)}(M; 0,1), \quad W^{(m)}(M; 0,1)$$

Впервые С. М. Никольским [1] для функций  $f(x) \in W^{(n)}(M; 0,1)$ , удовлетворяющих условию

$$f(0)=f'(0)=\dots=f^{(r-1)}(0)=0,$$

была построена квадратурная формула вида

$$\int_0^1 f(x) dx = \frac{1}{r!} \sum_{k=0}^{N-1} \sum_{l=0}^{r-2} A_k^{(l)} (r-l-1)! f^{(l)}(x_k) + R_N(f), \quad (2)$$

где  $0 \leq x_0 \leq x_1 < \dots < x_{N-1} \leq 1$ .

В настоящей статье строятся наилучшие квадратурные формулы вида

$$\int_0^1 f(x) dx = \frac{1}{m!} \sum_{k=0}^{N-1} \sum_{l=0}^{r_k} A_k^{(l)} (m-l-1)! f^{(l)}(x_k) + R_N(f), \quad (3)$$

РЕДАКЦИОННАЯ КОЛЛЕГИЯ: Р. Г. Исмайлова (главный редактор),  
Ш. А. Азизбеков, В. Р. Волобуев, Д. М. Гусейнов, И. А. Гусейнов, М. А. Дадашзаде  
(зам. главного редактора), М. А. Далин, Ч. М. Джуварлы, А. И. Караев, М. А. Кашикай  
(зам. главного редактора), С. М. Кулиев, М. Ф. Нагиев, М. А. Топчибашев,  
З. И. Халилов, Г. Г. Зейналов (ответственный секретарь).

Адрес: г. Баку, Коммунистическая, 10. Редакция «Докладов Академии наук  
Азербайджанской ССР».

Сдано в набор 8/IV 1967 г. Подписано к печати 28/VI 1967 г. Формат бумаги  
 $70 \times 108^{1/16}$ . Бум. лист. 2,88. Печ. лист. 7,88. Уч.-изд. лист. 6,91. ФГ 18313.  
Заказ 308. Тираж 830. Цена 40 коп.

Типография «Наука» Комитета по печати при Совете Министров  
Азербайджанской ССР. Баку, Рабочий проспект, 96.

где  $0 \leq x_0 < x_1 < \dots < x_{N-1} < 1$ ,  $m$ —целое четное число и  $r_k < m$  ( $k=0, 1, \dots, N-1$ )—заданные целые положительные числа, точные для многочленов степени  $m-1$  в классах функций

$$W^{(m)}(M; 0, 1), \quad W_L^{(m)}(M; 0, 1) \text{ и } W_{L_1}^{(m)}(M; 0, 1),$$

т. е. доказываются следующие теоремы.

**Теорема 1.** Среди квадратурных формул вида (3), точных для многочленов степени  $m-1$ , с любыми коэффициентами  $A_k^{(l)}$  и узлами  $x_k$ , где

$$0 \leq x_0 < x_1 < \dots < x_{N-1} \leq 1, \quad r_k < m$$

наилучшей для класса  $W^{(m)}(M; 0, 1)$  является единственная квадратурная формула, определяемая коэффициентами

$$\begin{aligned} A_i^{(l)} &= \frac{h^{r_k+1}}{m-r_{k-1}} [Q_m^{(m-r_k-1)}(1) - Q_m^{(m-r_k-1)}(-1)] \\ &\quad (i=1, 2, \dots, N-2) \\ &\quad (k=0, 1, \dots, N-1) \\ A_0^{(l)} = A_{N-1}^{(l)} &= \frac{h^{r_k+1}}{(m-l-1)!} \left\{ \frac{m!}{(l+1)!} (Q_m(1))^{\frac{l+1}{m}} + (-1)^l Q_m^{(m-l-1)}(1) \right\} \quad (4) \\ &\quad (l=0, 1, \dots, m-2) \end{aligned}$$

и узлами

$$x_k = (\sqrt{m+1} + 4k) \omega_N \quad (5)$$

При этом

$$\varepsilon_N[W^{(m)}] = \frac{M}{m!} \omega_N^m, \quad (6)$$

где

$$\begin{aligned} \omega_N &= [2\sqrt{m+1} + 4(N-1)]^{-1} \\ h &= 2\omega_N \\ Q_m(x) &= \frac{\sin[(m+1)\arccos x]}{2^m \sqrt{1+x^2}} \end{aligned}$$

**Теорема 2.** Среди квадратурных формул (3), точных для многочленов степени  $m-1$  с любыми узлами  $x_k$ , где  $0 \leq x_0 < x_1 < \dots < x_{N-1} \leq 1$ , и коэффициентами  $A_k^{(l)}$ , квадратурная формула, определенная коэффициентами, выраженными при помощи равенства (4), где  $Q_m(x)$  надо заменить на  $T_m(x)$  и узлами

$$x_k = (1 + 2k\sqrt{2^{m-1}}) \omega_N, \quad (7)$$

является единственной наилучшей для класса  $W_L^{(m)}(M; 0, 1)$

При этом

$$\varepsilon_N[W_L^{(m)}] = \frac{M}{m!} \omega_N^m,$$

где

$$\begin{aligned} \omega_N &= \frac{1}{2} [1 + \sqrt{2^{m-1}} (N-1)]^{-1} \\ h &= \sqrt{2^{m-1}} \omega_N \end{aligned}$$

$$T_m(x) = \frac{1}{2^{m-1}} \cos(m \arccos x)$$

**Теорема 3.** Среди квадратурных формул вида (3), точных для многочленов степени  $m-1$ , квадратурная формула, у которой коэффициенты  $A_k^{(l)}$  определяются равенствами (4), а узлы  $x_k$  равенствами

$$x_k = \left( 1 + k \sqrt{\frac{(2m)!}{(m!)^2}} \right) \omega_N, \quad (8)$$

$$\text{где } \omega_N = \left[ 2 + (N-1) \sqrt{\frac{(2m)!}{(m!)^2}} \right]^{-1}, \quad h = \frac{1}{2} \sqrt{\frac{(2m)!}{(m!)^2}} \omega_N,$$

является единственной наилучшей для функций из класса

$$W_{L_1}^{(m)}(M; 0, 1), \text{ причем}$$

$$\varepsilon_N[W_{L_1}^{(m)}] = \frac{M}{m!} (2m+1)^{-\frac{1}{2}} \omega_N^m$$

и  $Q_m(x)$  заменяется многочленом вида

$$X_m(x) = \frac{(m!)^2}{(2m)!} \left[ \sum_{k=0}^{m/2} (-1)^k \frac{(2m-2k)!}{(m-2k)!(m-k)!k!} x^{m-2k} \right].$$

Докажем теорему 1. Из того, что квадратурная формула (3) точна для многочленов степени  $m-1$ , следует, что для функции  $f(x) \in W^{(m)}(M; 0, 1)$  имеет место неравенство

$$|R(f)| \leq \frac{M}{m!} \int_0^1 |k(t)| dt,$$

где

$$k(t) = (1-t)^m - \sum_{k=0}^{N-1} \sum_{l=0}^{r_k} A_k^{(l)} E_{m-l}(x_k - t)$$

$$E_m(u) = \begin{cases} u^{m-1} & \text{при } u > 0 \\ 0 & \text{при } u \leq 0 \end{cases}$$

следовательно,

$$\varepsilon_N[W^{(m)}] = \min_{(A_k^{(l)}, x_k)} \left\{ \sup_{f \in W^{(m)}} |R(f)| \right\} =$$

$$= \frac{M}{m!} \min_{(A_k^{(l)}, x_k)} \int_0^1 |k(t)| dt$$

Функцию  $k(t)$  исследуем на отрезках  $[0, x_0]$ ,  $[x_{k-1}, x_k]$  ( $k=1, 2, \dots, N-1$ ) и  $[x_{N-1}, 1]$ . Нетрудно показать, что  $k(t)$  на отрезках  $[0, x_0]$  и  $[x_{N-1}, 1]$  определяется следующим образом

$$k(t) = \begin{cases} t^m & \text{при } 0 \leq t \leq x_0 \\ (1-t)^m & \text{при } x_{N-1} \leq t \leq 1, \end{cases}$$

а во всех внутренних отрезках  $[x_{k-1}, x_k]$  ( $k=1, 2, \dots, N-1$ )—есть алгебраический многочлен степени  $m$  с коэффициентом при  $t^m$ , равным единице.

Далее заметим, что многочлен  $g_k(t)$  с коэффициентом при  $t^m$ , равным единице и наименее уклоняющимся от нуля в метрике  $L$  в интервале  $(x_{k-1}, x_k)$  имеет вид

$$g_k(t) = h_k^m Q_k \left( \frac{t - C_k}{h_k} \right),$$

$$\text{где } C_k = \frac{t_k + t_{k-1}}{2}.$$

Для того, чтобы многочлены совпадали в точке  $x_k$ , необходимо и достаточно выполнение условия

$$h_k = h_{k+1} = h \quad (k=1,2,\dots,N-2),$$

легко показать, что

$$h = \frac{2x_0}{\sqrt[m]{m+1}}, \quad x_0 = 1 - x_{N-1},$$

отсюда и из равенства

$$x_{N-1} = x_0 + (N-1)2h$$

находим узлы (5).

Коэффициенты (4) определяются аналогично тому, как это сделано в [2].

Наконец, нетрудно доказать, что лишь для коэффициентов  $A_k^{(0)}$  и узлов  $x_k$ , определяемых равенствами (4) и (5), интеграл  $\int_0^1 |k(t)|dt$  достигает минимума.

#### ЛИТЕРАТУРА

1. Никольский С. М. Квадратные формулы. 1958.
2. Крылов В. И. Приближенное вычисление интегралов. 1953.
3. Ибрагимов И. И., Алиев Р. М. ДАН СССР\*, 1965, т. 162, № 1.

Институт математики и механики

Поступило 23. XII 1966

Р. М. Элиев, Ф. А. Фарзиков

Бә'зи функцијалар синибләриндә екстремал мәсәләләр

#### ХУЛАСӘ

Мәгаләдә  $W^{(m)}(M; 0,1)$ ,  $M_L^{(m)}(M; 0,1)$  вә  $W_{L_1}^{(m)}(M; 0,1)$  функцијалар синибләриндә  $m-1$  дәрәчәли чохһәдлиләр үчүн дәгиг олан (3) шәкилдә эн яхши квадратур дүстүрлары гурулур вә һәмин дүстүрларын йеканәлиji исбат олунур.

#### ТЕХНИЧЕСКАЯ ФИЗИКА

Ч. М. ДЖУВАРЛЫ, Е. В. ДМИТРИЕВ

#### УЧЕТ ПОВЕРХНОСТНОГО ЭФФЕКТА В ПРОВОДЕ И ЗЕМЛЕ ПРИ РАСЧЕТЕ КОММУТАЦИОННЫХ ПЕРЕХОДНЫХ ПРОЦЕССОВ В ЛИНИИ ЭЛЕКТРОПЕРЕДАЧ

Рассмотрим обобщенное уравнение линии электропередач [1].

$$-\frac{\partial i}{\partial x} = i_r + \frac{\partial q}{\partial t} \quad (1)$$

$$-\frac{\partial q}{\partial x} = v^{-2} \frac{\partial i}{\partial t} - 2\pi a_n \epsilon_0 \left. \frac{\partial \epsilon_x}{\partial r} \right|_{cp}, \quad (2)$$

где

$$\left. \frac{\partial \epsilon_x}{\partial r} \right|_{cp} \approx \frac{\epsilon(x)_n - \epsilon(x)_a}{a_n \ln \frac{2h}{a_n}}$$

Здесь:  $i$ —ток в проводе;  $i_r$ —ток утечки, короны;  $q$ —заряд на единицу длины провода;  $v$ —скорость света в воздухе;  $a_n$ —радиус провода;  $\epsilon_0$ —диэлектрическая постоянная воздуха;  $\epsilon_x$ —продольная составляющая напряженности электрического поля.

Полагая,  $q=ci$ ,  $c = \frac{2\pi\epsilon_0}{\ln \frac{2h}{a_n}}$ ,  $L=v^{-2}C^{-1}$ ,  $h$ —высота подвеса провода над землей, найдем

$$-\frac{\partial i}{\partial x} = c \frac{\partial u}{\partial t} + gu \quad (3)$$

$$-\frac{\partial u}{\partial x} = L \frac{\partial i}{\partial t} - C^{-1} 2\pi a_n \epsilon_0 \left. \frac{\partial \epsilon_x}{\partial r} \right|_{cp}. \quad (4)$$

Здесь  $i_r = gu$ , учитывая только несовершенство изоляции линии. Применив к решению системы (3), (4) метод характеристик [2], найдем

$$\left( \frac{dt}{dx} \right)^2 - LC = 0$$

$$\frac{dt}{dx} du - Ldi = C^{-1} 2\pi a_n \varepsilon_0 \left. \frac{\partial \varepsilon_x}{\partial r} \right|_{cp} dt - Lgudx$$

Введя обозначения  $\alpha_1 = \sqrt{Lc}$ ,  $\alpha_2 = -\sqrt{LC}$ , получим следующую систему уравнений

$$\frac{dt}{dx} = \alpha_1, \quad \frac{dt}{dx} = \alpha_2,$$

$$\alpha_1 du + Ldi = C^{-1} 2\pi a_n \varepsilon_0 \left. \frac{\partial \varepsilon_x}{\partial r} \right|_{cp} dt - Lgudx \quad (5)$$

$$\alpha_2 du + Ldi = C^{-1} 2\pi a_n \varepsilon_0 \left. \frac{\partial \varepsilon_x}{\partial r} \right|_{cp} dt - Lgudx$$

Применив к системе (5) аппроксимацию [2], получим

$$t_x - t_y = \alpha_1 (x_x - x_y)$$

$$t_x - t_z = \alpha_2 (x_x - x_z)$$

$$\alpha_1 (u_x - u_y) + L(i_x - i_y) = C^{-1} 2\pi a_n \varepsilon_0 \left. \frac{\partial \varepsilon_{xy}}{\partial r} \right|_{cp} \cdot (t_x - t_y) - Lgu_y(x_x - x_y) \quad (6)$$

$$\alpha_2 (u_x - u_z) + L(i_x - i_z) = C^{-1} 2\pi a_n \varepsilon_0 \left. \frac{\partial \varepsilon_{xz}}{\partial r} \right|_{cp} \cdot (t_x - t_z) - Lgu_z(x_x - x_z)$$

Для использования (6) в последних необходимо исключить  $\left. \frac{\partial \varepsilon_{xy}}{\partial r} \right|_{cp}$  и  $\left. \frac{\partial \varepsilon_{xz}}{\partial r} \right|_{cp}$ .

Для синусоидального установившегося процесса в линии имеем из [1]

$$\varepsilon(x)_a = r_n i + L_n \frac{di}{dt} + L_n^2 \frac{\omega^2}{3r_n} i - \dots \quad (7)$$

из [3]

$$\varepsilon(x)_b \approx + \frac{1}{2} \pi \omega i_0 + \frac{2}{n} \ln \frac{0,178}{h} \sqrt{\frac{\omega_1}{2\pi}} \frac{di_0}{dt} \quad (8)$$

$i_0$  — ток в земле; (для однопроводной ЛЭП),  $i_0 = -i$ ;  $r_n$  — сопротивление провода постоянному току;  $L_n = \frac{\mu}{8\pi}$ .

На малом отрезке времени, если приближенно заменить истинный переходный процесс синусоидальным с круговой частотой  $\omega$ , то последняя может быть определена по [4]:

$$\omega = \sqrt{\frac{d^2 i}{dt^2}}$$

Заменив мгновенное значение  $\omega$  ее средним значением для рассматриваемого отрезка времени, получим:

$$\omega \approx \omega_{cp} = \sqrt{\frac{i_{h+1} - 2i_h + i_{h-1}}{\Delta t^2 \cdot i_{h-1}}} \quad (9)$$

$\omega_{cp}$  — среднее значение круговой частоты на отрезке,  $\Delta t$  — шаг расчета по  $t$ .

$i_{h+1}$ ,  $i_{h-1}$ ,  $i_h$  — мгновенные значения токов соответственно в начале, середине и конце этого отрезка.

Подставив (7) и (8) в систему (6), получим систему уравнений (10)

$$\begin{aligned} t_x - t_y &= \alpha_1 (x_x - x_y) \\ t_x - t_z &= \alpha_2 (x_x - x_z) \\ \alpha_1 (u_x - u_y) + L(i_x - i_y) &= - \left[ \left( r_n + \frac{L_n^2 \omega^2}{3r} + \frac{1}{2} \pi \omega + \dots \right) i_y + \right. \\ &\quad \left. + \left( L_n + \frac{2}{\pi} \ln \frac{0,178}{h} \sqrt{\frac{\omega_1}{2\pi}} + \dots \right) \frac{di_y}{dt} \right] (t_n - t_y) - Lgu_y(x_x - x_y) \end{aligned} \quad (10)$$

$$\begin{aligned} \alpha_2 (u_x - u_z) + L(i_x - i_z) &= - \left[ \left( r_n + \frac{L_n^2 \omega^2}{3r} + \frac{1}{2} \pi \omega + \dots \right) i_z + \right. \\ &\quad \left. + \left( L_n + \frac{2}{\pi} \ln \frac{0,178}{h} \sqrt{\frac{\omega_1}{2\pi}} + \dots \right) \frac{di_z}{dt} \right] (t_n - t_z) - Lgu_z(x_x - x_z) \end{aligned}$$

В этих уравнениях следует приблизенно заменить  $\frac{di_y}{dt}$  и  $\frac{di_z}{dt}$  разностными отношениями, а затем можно пользоваться ими для расчета переходного процесса в ЛЭП с учетом поверхностного эффекта.

## ЛИТЕРАТУРА

- Костенко М. В. Атмосферные перенапряжения и грозозащита высоковольтных установок. ГЭИ, 1949.
- Джуварлы Ч. М., Дмитриев Е. В. ДАН Азерб. ССР, 1966, № 3.
- Марголин Н. Ф. Токи в земле. ГЭИ, 1947.
- Джуварлы Ч. М., Дмитриев Е. В. Изв. АН Азерб. ССР, серия физ.-техн. и матем. наук, 1965, № 4.

Институт энергетики

Поступило 8. IX 1966.

Ч. М. Чуварлы, Е. В. Дмитриев

Мүстәви еффектинин кечиричىдә вә јердә, коммутасион кечиричи просесләрдә иәзәрә алымасы

## ХУЛАСӘ

Мәгаләдә мүстәви еффектинин кечиричидә, јердә иәзәрә алымасы вә коммутасион кечид просесләринин EBX-иниң һесабламасы үчүн үсүл тәклиф едилмишdir. ҕесаблама тәнликләриниң чыхарышы үчүн EBX үмуми тәнлијиндән истифадә олуимушдур.

М. И. ДАУНОВ

## О СТРУКТУРЕ ЭНЕРГЕТИЧЕСКИХ ЗОН В ТЕЛЛУРИДЕ РТУТИ

(Представлено академиком АН Азербайджанской ССР Х. И. Амирхановым)

В некоторых последних работах [1–3], посвященных исследованию свойств HgTe, на основе анализа данных низкотемпературных измерений коэффициента Холла высказано мнение, что это соединение—полуметалл, валентная зона которого перекрывается с зоной проводимости. Однако в работах [4–10] из анализа электрических и оптических свойств сделано заключение, что HgTe—полупроводник с весьма узкой запрещенной зоной.

Автором в температурном интервале 77–500°К и в полях 0–18 кэ на поликристаллических образцах HgTe *p*-типа измерены электропроводность ( $\sigma$ ), постоянная Холла ( $R$ ), поперечное магнитосопротивление ( $\Delta\rho/\rho_0$ ), термоэдс ( $\alpha$ ), поперечный  $\left(\varepsilon_y = \frac{E_y}{k} \cdot \frac{d\tau}{dx}\right)$  и про-

дольный  $\left(\varepsilon_x = \frac{\alpha(H) - \alpha(0)}{k/e}\right)$  эффекты Нериста—Эттинггаузена. Из достаточного числа независимых уравнений, приведенных, например, в [4, 11] в простых приближениях (§7 в [4] или § 13 в [11]), с использованием данных измерений  $\sigma$ ,  $R$ ,  $\Delta\rho/\rho_0$ ,  $\alpha$ ,  $\varepsilon_x$ ,  $\varepsilon_y$  в температурном интервале 77–400°К рассчитаны основные характеристические параметры HgTe.

Результаты эксперимента и расчетов<sup>1</sup> согласуются в основном с литературными данными. Здесь остановимся лишь на некоторых аспектах вопроса. В частности, выяснено, что HgTe—полупроводник с весьма узкой запрещенной зоной и величиной отношения электронной подвижности к дырочной ( $\nu$ ) порядка 5–15. Примерно такая же величина  $\nu$ , определенная как и автором в основном из данных измерений  $\Delta\rho/\rho_0$ ,  $R$ ,  $\sigma$  на дырочных образцах HgTe, приведена в [6]. Привлечение литературных экспериментальных данных [14] для количественной интерпретации дает аналогичную величину параметра  $\nu$ .

<sup>1</sup> Некоторые результаты эксперимента и количественной интерпретации изложены в работах [12, 13].

Однако метод определения этого параметра по температурной зависимости постоянной Холла для дырочного образца, а именно по отношению  $\frac{|R|_{\text{макс}}}{R_{\text{прим}}}$  дает величину существенно большую, около 100 [5, 7, 14, 15].

Столь значительные расхождения в значении величины параметра  $\nu$ , определенного двумя различными методами, по-видимому, не связаны с принятыми приближениями, поскольку применение первого метода в InSb дает величину  $\nu$ , согласующуюся с известными результатами. Причину следует искать, вероятно, в усложненности по сравнению с двухзонной моделью структуры энергетических зон HgTe. Это предположение подтверждается также некоторыми экспериментальными фактами. Так, например, в исследованных автором наиболее грязных образцах *p*—HgTe в области смешанной проводимости кривая зависимости  $R$  от магнитного поля ниже 3 кэ проходит через экстремум ( $R < 0$ ). Аналогичный результат получен в [16], где это явление обосновано связывается с участием в явлениях переноса наряду с электронами двух типов дырок.

В более чистых исследованных автором и в [6, 16] образцах HgTe экстремум кривой  $R = f(H)$  отсутствует по крайней мере до 2 кэ, причем также отсутствует точка перегиба кривой и кривая  $|R| = f(H)$  вогнута. Для двухзонной модели, как это нетрудно показать, точка перегиба кривой должна наблюдаться в относительно больших, во всяком случае превышающих 2 кэ магнитных полях.

Перечисленные факты качественно согласуются с трехзонной моделью энергетических зон, состоящей из зоны проводимости ( $C$ ), валентной зоны „легких дырок“ ( $V_L$ ) и валентной зоны „тяжелых дырок“ ( $V_T$ ). При этом следует дополнительно предположить, что в области собственной и смешанной проводимости при достаточно высокой температуре (выше 77°К) в дырочных образцах HgTe проводимость определяется наряду с электронами легкими высокоподвижными дырками („ $\nu$ “ мало). С понижением температуры вклад тяжелых дырок в явления переноса возрастает.

Выше отмечалось, что в настоящее время отсутствует единая точка зрения относительно характера проводимости в HgTe. Очевидно, знание температурной зависимости постоянной Холла собственного HgTe  $R_i = f(T)$  в широком температурном интервале позволит выяснить природу проводимости в теллуриде ртути, а также рассчитать зонные параметры соединения. На рис. 1 кривая I изображает график зависимости отношения величин коэффициента Холла для 77 и 293°К  $\left(\frac{R_{77}}{R_{293}}\right)$  (кривая I) и электропроводности для 77°К  $\left(\frac{1}{R_{77e}}\right)$  (кривая 2) от  $\frac{1}{R_{77e}} \cdot \text{cm}^3$ , позволяющий определить интервал, в котором находится искомая величина  $R_i$ . Для точного определения  $R_i$  использованы графики зависи-

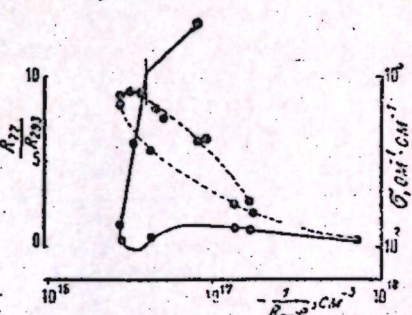


Рис. 1. Зависимость величин коэффициента Холла для 77 и 293°К  $\left(\frac{R_{77}}{R_{293}}\right)$  (кривая I) и электропроводности для 77°К  $\left(\frac{1}{R_{77e}}\right)$  (кривая 2) от  $\frac{1}{R_{77e}} \cdot \text{cm}^3$ .

<sup>2</sup> Описание графика зависимости  $\frac{R_{77}}{R_{293}}$  от  $\frac{1}{R_{77e}}$  для сплава  $\text{HgSe}_{0.5} \cdot \text{Te}_{0.5}$  изложено в [17].

мости  $R_1$  и  $(R_1 - R_0)$  от  $\frac{R_0}{R_1}$ , где  $R_1$  и  $R_0$ —величины  $R$  в полях 1 и 6 кэ. Учитывая, что в собственном HgTe  $\frac{R_0}{R_1} = R_1 - R_0 = 0^3$ , можно получить  $R_1$ . Применением обоих методов для различных температур была получена  $R_1 = f(T)$  от 4,2 до 400°К (рис. 1). Полученная  $R_1 = f(T)$  сопоставлена с теорией с помощью соотношений:

$$n = 4\pi \left( \frac{2m_n kT}{h^2} \right)^{\frac{3}{2}} F_{1/2}(\xi), \quad (1)$$

$$p = 4\pi \left( \frac{2m_p kT}{h^2} \right)^{\frac{3}{2}} F_{1/2}(-E_{\text{дл}}^* \xi), \quad (2)$$

$$n = 4\pi \left( \frac{2m_n kT}{h^2} \right)^{\frac{3}{2}} \cdot \left[ F_{1/2}(\xi) + \frac{15}{4E_{\text{дл}}^*} F_{3/2}(\xi) + \dots \right], \quad (3)$$

где  $m_n$ ,  $m_p$ —эффективные массы плотности состояний электронов и дырок,  $F_{1/2}$  и  $F_{3/2}$ —интегралы Ферми,  $\xi = \frac{E_F}{kT}$ ,  $E_{\text{дл}}^* = \frac{E_{\text{дл}}}{kT}$ ,  $E_{\text{дл}}^* = \frac{E_{\text{дл}}}{kT}$ ,  $E_F$ —энергия Ферми,  $E_{\text{дл}}$  и  $E_{\text{дл}}$ —энергетические расстояния от дна зоны  $C$  до потолка зоны  $V_{\text{дл}}$  и потолка зоны  $V_T$ .

Формулы (1), (2)—общезвестны; формула (3), учитывающая непараболичность зоны  $C$  по Кейну, приведена в [2].

Расчеты по формулам (1)–(3) в температурном интервале 2,4–400°К показали, что наилучшее согласие теории с  $R_1 = f(T)$  имеет место, когда  $E_{\text{дл}} = 0,15$  эв,  $E_{\text{дл}} = -4 \cdot 10^{-3}$  эв,  $m_n^* = 0,016 m_0$ ,  $m_p^* = 0,23 m_0$  (рис. 2, 2). При возрастании температуры от 0 до 400°К величина  $E_F$  возрастает от  $3,75 \cdot 10^{-3}$  до  $7,2 \cdot 10^{-2}$  эв. Из рис. 2, 3 видно, что когда концентрация электронов меньше  $2 \cdot 10^{16} \text{ см}^{-3}$ , непараболичность зоны  $C$  не оказывается на величине  $R_1$ . Все оценки сделаны в предположении независимости зонных параметров от температуры. Вкладом легких дырок пренебрегалось, что вполне для собственного HgTe обосновано, поскольку уровень Ферми далеко отстоит от потолка  $V_{\text{дл}}$ . Кроме того, принималось,

$$n_i = -\frac{1}{R_1 e}, \text{ так как, во-первых, от-}$$

ношение электронной подвижности к подвижности тяжелых дырок значительно больше единицы и, во-вто-

рых, электронный газ вырожден.

<sup>3</sup> В [18] в самом общем виде показано, что в области собственной проводимости постоянная Холла не зависит от поля до очень больших значений последнего.  
<sup>4</sup> Автором использованы экспериментальные результаты, приведенные в [5–7, 14, 15, 18–22].

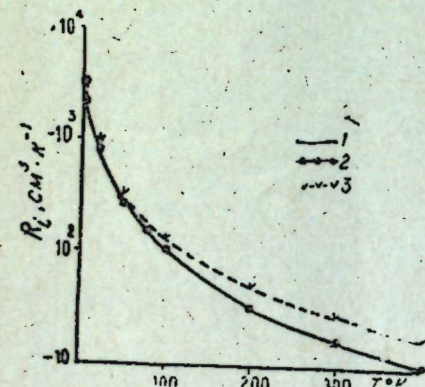


Рис. 2. 1—эксперимент; 2—теория, учитывающая непараболичность зоны

проводимости по Кейну, для  $\frac{m_n^*}{m_0} =$

$$= 0,016, \frac{m_p^*}{m_0} = 0,23, E_{\text{дл}} = 0,15 \text{ эв},$$

$$E_{\text{дл}} = -4 \cdot 10^{-3} \text{ эв}; 3—теория, не учитываяющая непараболичность зоны$$

$$\text{проводимости, для } \frac{m_n^*}{m_0} = 0,016,$$

$$\frac{m_p^*}{m_0} = 0,23, E_{\text{дл}} = -4 \cdot 10^{-3} \text{ эв}.$$

На рис. 1 кривая 2 изображает график зависимости  $\sigma$  от  $\frac{1}{R_1 e}$  для 77°К. Интерпретация хода этой кривой очевидна. Из рисунка видно, что в  $n$ -типе вблизи собственного HgTe  $\lg \sigma = \lg \frac{1}{R_1 e} + A$  ( $A$  — постоянная величина), тогда как  $R_1$  остается почти неизменной. Это согласуется с  $v \gg 1$ . Оценки по величинам  $R$  и  $\Delta\rho/\rho_0$ , по величине  $R$  в экстремуме температурной зависимости коэффициента, по величине экстремума  $R$  в зависимости от концентрации ионизованных примесей ( $R_N$ ) и вычисленным зонным параметрам дают  $v = 25–125$ . Последний метод нами в литературе не встречался. Нетрудно показать, что для данной температуры  $R_N = -\frac{9}{16} \cdot \frac{1}{ne}$ , так как  $v = 3 \frac{p}{n}$ . Величину  $R_N$  можно определить из графиков, подобных кривой 1 рис. 1. Хотя здесь предполагается величина  $(n \cdot p)^{\frac{1}{2}}$ , не зависящая от концентрации ионизованных примесей для данной температуры, а в HgTe величина  $(n \cdot p)^{\frac{1}{2}}$  убывает с ростом  $\left| \frac{E_{\text{дл}}}{2} + E_F \right|$ , т. е. с изменением концентрации примесей, однако ошибка не будет существенной, поскольку  $R = R_N$  где-то около  $E_F = -\frac{E_{\text{дл}}}{2}$ .

Приведенные в литературе сведения об  $R_1 = f(T)$  и зонных параметрах сильно отличаются друг от друга. Наши результаты согласуются с наиболее достоверными литературными данными: величина  $R_1 = f(T)$  противоречит вычисленной в [21], но, естественно, согласуется с экспериментальными кривыми для собственного HgTe (выше 20°К) [2, 14]; величины  $E_{\text{дл}}$  и  $m_n$  согласуются со значениями, полученными из опытов по отражению и магнитоотражению [23, 24]. Величина  $E_{\text{дл}}$  в 2,5–5 раз меньше литературной [2, 23, 24], но представляется более вероятной, поскольку определена по  $R_1 = f(T)$  для идеального HgTe. Достоверных данных о параметре  $m_{\text{pt}}$ , по нашему мнению, в литературе нет.

Полученные результаты позволяют заключить о характере проводимости, величинах параметров и структуре зон. Если собственный и  $n$ -HgTe полуметалл вплоть до самых высоких температур и в явлениях переноса, вообще говоря, участвуют два типа носителей—электроны и тяжелые дырки, то  $p$ -HgTe при достаточно высоких температурах и достаточно больших концентрациях избыточных акцепторов скорее полупроводник, чем полуметалл, причем в явлениях переноса участвуют в основном электроны и легкие дырки. Вклад последних по сравнению с тяжелыми дырками с ростом температуры и концентрации акцепторов возрастает.

В заключение остановимся на некоторых частных вопросах. Нетрудно показать (см. рис. 1), что в  $n$ -HgTe с концентрацией избыточных доноров до  $3,2 \cdot 10^{17} \text{ см}^{-3}$   $\sigma$  должна быть больше  $1500 \text{ ом}^{-1} \text{ см}^{-1}$ . За исключением образца 13–14–0 [21], все исследованные известные автору образцы  $n$ -HgTe, например, в [20, 22] не удовлетворяют этому условию и являются сильно компенсированными.

Известно, что чистые дырочные образцы HgTe из-за  $v \gg 1$ , перекрытия зон  $c$  и  $v_T$  возможной дефектности образцов  $n$ -типа трудно отличить от последних. Ошибки подобного рода характерны и встре-

аются до настоящего времени. Тип образца легко определить либо по кривой 1 рис. 1, либо от графику зависимости  $R_1$  от  $\frac{R_6}{R_1}$  для 77°К.

В частности, образцы 3А, 5С [15], 213А и 203С [22] являются не *n*-типа, как отмечено в работах, а *p*-типа.

В наиболее чистых образцах *p*-HgTe для температур приблизительно ниже 50°К с убыванием температуры возрастание (алгебраическое)  $R$  сменяется убыванием, т. е. на кривой образуется "седло" [3, 5, 21]. Поскольку из-за полуметаллического характера проводимости концентрации электронов и тяжелых дырок (вклад легких дырок при низких температурах преобладающими) с температурой изменяются слабо, а концентрация электронов не стремится к нулю при убывании температуры к 0°К, то указанные аномалии в  $R=f(T)$  связаны, по нашему мнению, с убыванием подвижности электронов с убыванием температуры—доминирует рассеяние электронов на ионизованных примесях, т. е. убыванием эффективного магнитного поля ( $U_n H$ ).

Автор выражает свою признательность Х. И. Амирханову и И. М. Цидильковскому за ценные советы и дискуссию, Р. И. Баширову за интерес к работе.

#### ЛИТЕРАТУРА

1. Strauss A. S., Hartman T. C., Mavroides S. G., Dickey D. H., Dresselhaus M. S. Оптические и электрические свойства сплава  $Cd_xHg_{1-x}Te$ . Proc. Inter. Conf. Phys. Semiconductors, Exeter, 1962, 703.
2. Rodot H., Rodot M., Triboulet R. Интерпретация электрических свойств полуметалла HgTe. С. р. Acad. Sci. 1963, 256, 5535.
3. Иванов-Омский Б.И., Коломиец Б.Т., Малькова А.А., Огородников В.К., Сmekalova K. П. Электрические свойства монокристаллов HgTe *p*-типа и его сплавов с CdTe. "Изв. АН СССР", Физика, 1964, 28, 6, 1010.
4. Цидильковский И. М. Термомагнитные явления в полупроводниках. Физматгиз, 1960.
5. Carlson R. O. Электрические свойства теллурида ртути. Phys. Rev., 1958, 111, 2, 316.
6. Black J., Ku S. M., Minden H. T. Некоторые полупроводниковые свойства HgTe. J. Electrochem. Soc. 1958, 105, 12, 723.
7. Cardona M. Фундаментальный спектр отражения в полупроводниках со структурой цинковой обманки. J. Appl. Phys. Suppl., 1961, 32, 10, 2151.
8. Blue M. D. Оптическое поглощение в HgTe и HgC<sub>x</sub>Te. Phys. Rev., 1964, 134, 1 A, A226.
9. Shiehder A. D., Цюциора Л. И., Макаренико В. В., Григорович Г. М. Некоторые электрические и фотоэлектрические свойства системы HgTe—ZnTe. Укр. физ. ж. 1965, 10, 8, 915.
10. Аскеров Б. М. Теория явлений переноса в полупроводниках. Баку. Изд. АН Азерб. ССР, 1963.
11. Даунов М. И. Об использовании термомагнитных эффектов Неристо—Эттинггаузена в качестве индикатора механизма рассеяния. ФТТ, 1966, 8, 5, 1574.
12. Даунов М. И. Влияние смешанной проводимости на температурный ход кинетических коэффициентов в полупроводниках. ФТТ, 1966, 8, 5, 1577.
13. Grifat W. Электрические свойства теллурида ртути. Brit J. Appl. Phys., 1964, 15, 2, 151.
14. Hartman T. C., Logan M. J., Goering H. L. Приготовление и электрические свойства теллурида ртути, 1958, 7, 228.
15. Товстюк К. Л., Гаваленко Н. Г., Раренко И. М. Гальваниомагнитные и термомагнитные эффекты в HgTe. "Изв. АН СССР", Физика, 1964, 28, 6, 1048.
16. Hartman T. C., Strauss A. S. Некоторые свойства твердых растворов HgSe—HgTe. J. Appl. Phys. Suppl., 1961, 32, 10, 2254.
17. Крученко Е., Никулеску Д., Стаматеску И., Истор Н., Ионеску-Бутур С. Электрические свойства некоторых твердых растворов системы Zn<sub>x</sub>Hg<sub>1-x</sub>Te. ФТТ, 1965, 7, 7, 2039.
18. Rodot M., Rodot H. Структуры зон и механизмы рассеяния в монокристаллах HgTe и HgSe. С. р. Acad. Sci. 1960, 250, 8, 1447.
19. Rodot H., Triboulet R. Приготовление и свойства теллурида ртути высокой чистоты. С. р. Acad. Sci. 1962, 254, 5, 852.
20. Иванов-Омский Б. И., Коломиец Б. Т., Малькова А. А., Огородников В. К., Сmekalova K. П. Гальваниомагнитные свойства теллурида ртути. Phys. stat. sol., 1965, 8, 2, 613.
21. Чубова Л. К., Гаваленко М. И., Еременко В. В. Гальваниомагнитные свойства монокристаллов теллуристой ртути. Укр. физ. ж. 1965, 10, 6, 630.
22. Hartman T. C., Kleiner W. H., Strauss A. S., Wright G. B., Mavroides J. G., Honig S. M., Dickey D. H. Структура зон HgTe и сплавов HgTe—CdTe. Solid State Comm., 1964, 2, 305, 24.
23. Verle C., Decamps E. Эффективная масса электронов в теллуриде ртути. Phys. stat. sol. 1965, 9, 3, 797.

Институт физики  
Дагестанского филиала АН СССР

Поступило 17. VI 1966

М. И. Даунов

#### HgTe-да снержи зонасынын структуруна даир

#### ХУЛАСЭ

Мә'лүм олмушдур ки, маддәнин электрик хасијәтләри илә HgTe-ди снержи спектринин үчзоналы модели јаҳшы мүвазинәт едир.

Экәр *n*-HgTe јарымфилиздирсә, онда *p*-HgTe кафи дәрәчә температурда вә бөйүк концентрасијаларда јарымфилиздән даһа артыг јарымкечиричи сајыла биләр.

ОРГАНИЧЕСКАЯ ХИМИЯ

Н. М. СЕИДОВ, М. А. ДАЛИН, Д. А. КОПТЕВ

ИССЛЕДОВАНИЕ ПРОЦЕССА СОПОЛИМЕРИЗАЦИИ  
ЭТИЛЕНА С ПЕНТЕНОМ-1 В СРЕДЕ  
ЖИДКОГО ПЕНТЕНА-1

После открытия Натта возможности получения этилен-пропиленового эластомера путем сополимеризации этилена с пропиленом большое число исследователей занялось изучением процесса сополимеризации этилена с  $\alpha$ -олефинами в присутствии металлоорганических катализаторов.

К настоящему времени довольно подробно изучены процессы сополимеризации этилена с пропиленом [1—4] и с  $\alpha$ -бутиленом [5—6], однако данных о получении сополимеров на основе этилена и пентена-1 в литературе немного [7—8].

В публикуемой статье приводятся результаты исследования сополимеризации этилена с пентеном-1 на катализаторных системах  $\text{VOCl}_3 + (\text{C}_4\text{H}_9)_2\text{AlCl}$  и  $\text{VCl}_4 + (\text{C}_4\text{H}_9)_2\text{AlCl}$  в среде жидкого пентена-1. Степень чистоты и методы получения мономеров описаны ранее в работе [9]. Опыты проводились в автоклаве бессальникового типа, емкостью 2 л.

Сополимеризация изучалась в температурном интервале от  $-20$  до  $+50^\circ\text{C}$ . Результаты опытов показывают, что с увеличением температуры выход и молекулярный вес сополимера уменьшаются.

Таблица 1

№ опыта	T-ра, $^\circ\text{C}$	Содерж. этилена в жидкой фазе, % мол.	Давление, атм	Выход сополимера, г/г $\text{VOCl}_3$	Содержание амилена в сополимере, % мол.	[ $\eta$ ]
1	20	5	2,3	282	27,8	1,15
2	20	7	3,0	370	20,4	1,5
3	20	10	4,1	512	14,6	2,5
4	20	15	6,0	660	9,4	3,3
5	0	7	2,2	420	19,8	1,8
6	50	7	5,2	156	20,6	0,8

В табл. 1 показаны условия и результаты сополимеризации этилена с пентеном-1 на катализаторной системе  $\text{VOCl}_3 + (\text{C}_4\text{H}_9)_2\text{AlCl}$ . Условия опытов: молярное отношение Al/V — 3 : 1; концентрация  $\text{VOCl}_3$  в жидкой фазе  $— 9,4 \cdot 10^{-4}$  мол/л.

Как видно из табл. 1, с увеличением содержания этилена в жидкой фазе возрастает выход сополимера и его молекулярный вес. Используя уравнение сополимеризации для двух мономеров [10], были подсчитаны относительные активности этилена ( $r_1$ ) и пентена-1 ( $r_2$ ) двумя методами [11—12] для катализаторных систем:  $\text{VOCl}_3 + (\text{C}_4\text{H}_9)_2\text{AlCl}$  и  $\text{VCl}_4 + (\text{C}_4\text{H}_9)_2\text{AlCl}$ .

Таблица 2

	$\text{VOCl}_3 + (\text{C}_4\text{H}_9)_2\text{AlCl}$		$\text{VCl}_4 + (\text{C}_4\text{H}_9)_2\text{AlCl}$	
	$r_1$	$r_2$	$r_1$	$r_2$
Метод Майо и Льюиса	51,5	0,0183	42,3	0,0151
Метод Файнемана и Росса	48,2	0,0173	41,0	0,0149

Таким образом, зная численное значение относительных активностей мономеров и используя уравнение сополимеризации, можно заранее рассчитать состав сополимера. Из рис. 1, на котором приведена зависимость состава сополимера от состава жидкой фазы видно, что при увеличении содержания этилена в жидкой фазе увеличивается степень вхождения этилена в сополимерную цепь. При этом возрастает число микрополиэтиленовых участков, что приводит к увеличению кристаллической фазы полимера. Для определения степени кристалличности сополимера использовался рентгенографический метод. Выяснено, что в этилен-амиленовых сополимерах, полученных на катализаторной системе  $\text{VOCl}_3 + (\text{C}_4\text{H}_9)_2\text{AlCl}$ , кристалличность появляется при содержании  $\alpha$ -амилена в сополимерной цепи 15% и ниже. На рис. 2 приведены рентгенограммы полностью аморфного и имеющего 17,2% кристалличности сополимеров.

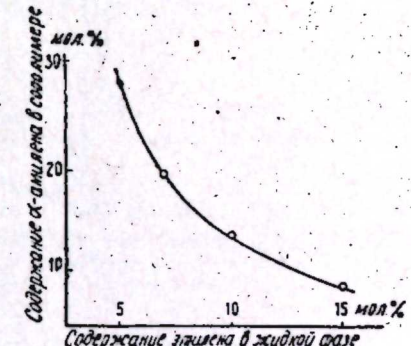


Рис. 1. Влияние содержания этилена в жидкой фазе на содержание  $\alpha$ -амилена в сополимере.

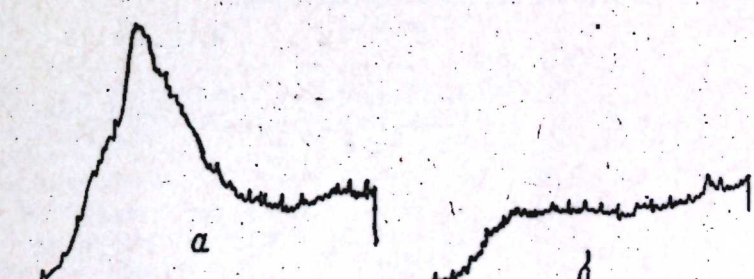


Рис. 2. Рентгенограммы этилен-амиленовых сополимеров:  
а—содержащего 17,2% кристалличности; б—полностью аморфного.

555444

Содержание  $\alpha$ -амилена в сополимере определялось методом инфракрасной спектроскопии на спектрофотометре ИКС-14. Относительное содержание пропиленовых отверстий определялось по спектрам поглощения сополимеров в области 700–800  $\text{см}^{-1}$ . Из-за неприменимости графического метода для разрешения сильно налагающихся полос, применяли оптический метод компенсации помещая в луч сравнений прибора кювету переменной толщины с раствором  $\alpha$ -гептадекана. На рис. 3 приведен инфракрасный спектр этилен-амиленового сополимера, содержащего 20,4% мол.  $\alpha$ -амилена в сополимерной цепи.

Исследовано влияние величины отношения катализатора  $\text{VCl}_4$  к сокатализатору  $(i\text{C}_4\text{H}_9)_2\text{AlCl}$  в пределах от 1:1 до 1:15 на сополимеризацию этилена с  $\alpha$ -амиленом (табл. 3). Опыты проводились при содержании этилена в жидкой фазе 7% мол. и при температуре 20°C.

Из табл. 3 видно, что выход сополимера повышается с увеличением отношения Al/V от 1:1 до 5:1 однако при дальнейшем увеличении величины этого отношения до 15:1, несколько снижается. Показано, что с изменением молярного отношения катализатора к сокатализатору состав сополимера не изменяется (рис. 4).

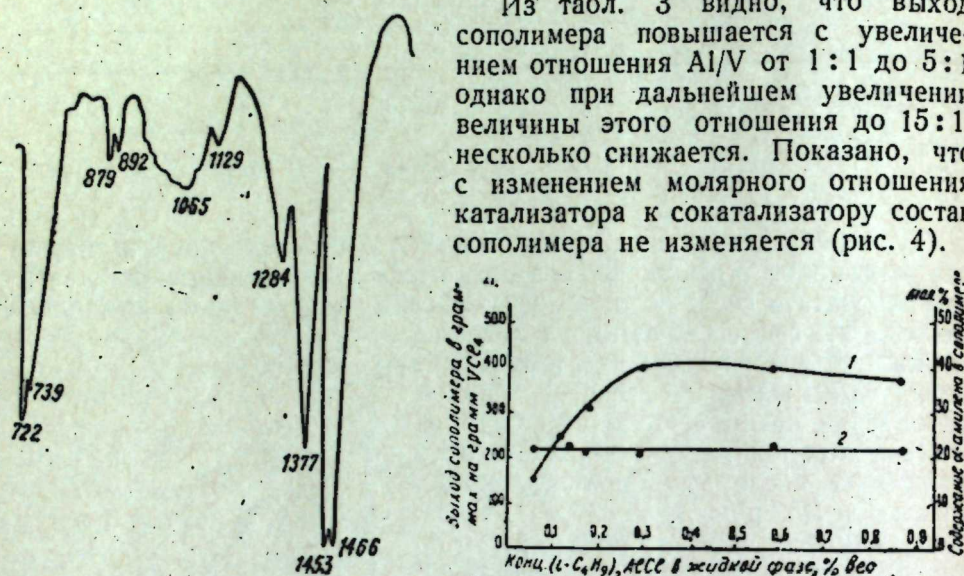


Рис. 3. Инфракрасный спектр этилен-амиленового сополимера.

Рис. 4. Зависимость выхода и состава сополимера от концентрации изобутилалюминия в жидкой фазе.

На основе полученных сополимеров были приготовлены резиновые смеси по известной рецептуре [13] и подвергнуты перекисной вулканизации при температуре 160°C. Результаты физико-механических испытаний вулканизатов сведены в табл. 4.

Из данных табл. 4 видно, что вулканизаты на основе сополимеров, содержащих 23–27% мол.  $\alpha$ -амилена в сополимерной цепи, обладают высокими физико-механическими показателями.

Таблица 3

№ опыта	Al/V	Выход сополимера г/г $\text{VCl}_4$	$[\eta]$	Время реакции, мин
1	1:1	152	1,25	125
2	2:1	245	1,2	130
3	3:1	310	1,2	120
4	5:1	400	1,15	115
5	10:1	396	1,1	100
6	15:1	370	1,0	100

Показатели	Содержание $\alpha$ -амилена в сополимерной цепи			
	27,8	23,2	19,8	14,6
Прочность на разрыв, кг/см <sup>2</sup>	190	183	140	120
Относительное удлинение, %	520	580	480	370
Остаточное удлинение, %	10	12	40	60
Эластичность по отскоку, %	48	50	38	36
Твердость по ТИРУ	58	56	62	77

## Выводы

Исследована сополимеризация этилена с пентеном-1 в среде жидкого пентена-1 в присутствии катализитических систем  $\text{VOCl}_3 + (i\text{C}_4\text{H}_9)_2\text{AlCl}$  и  $\text{VCl}_4 + (i\text{C}_4\text{H}_9)_2\text{AlCl}$ . Выяснено влияние температуры, величины соотношения катализатора к сокатализатору, состава жидкой фазы на процесс сополимеризации. Показано, что путем сополимеризации этилена и пентена-1 удается получить полностью аморфный сополимер. Подсчитаны относительные активности мономеров.

Показано, что вулканизаты на основе этилен-амиленовых сополимеров, содержащих 23–27% мол.  $\alpha$ -амилена в сополимерной цепи, обладают высокими физико-механическими свойствами.

Авторы приносят благодарность работникам физико-химической лаборатории ВНИИОлефин Р. Аликулиеву и Т. Эфендиевой за проведение рентгенографических и спектроскопических определений.

## ЛИТЕРАТУРА

1. Natta G., Mazzanti G., Raiano G. Chemicco e Industria, 39, 743, 1957.
2. Британский патент, 957 068, 1961.
3. Французский патент № 1275 685, 1961.
4. Сейдов Н. М., Далин М. А. и др. "Азерб. хим. журн.", 1965, № 3.
5. Британский патент 898 261, 1962.
6. Сейдов Н. М., Далин М. А., Кязимов С. М. "ДАН СССР", 1965, 164 № 4.
7. Патент США, № 3 000 866, 1961.
8. Итальянский патент № 856 733, 1961.
9. Сейдов Н. М., Далин М. А., Коптев Д. А. "ДАН СССР", т. 170, № 2, 1966.
10. Алфрей Т., Борер Д., Марк Г. Сополимеризация. ИЛ, 1953.
11. Мэй F., Lewis F. J. of Am. Chem. Soc., 66, 1954, 1944.
12. Finegan M., Ross S. J. of Polym Sci, 5, 269, 1950.
13. Лившиц И. А., Рейх В. Н. и др. "Каучук и резина", № 11, 1960.

ВНИИОлефин

Поступило 27. VII 1966

Н. М. Сейдов, М. А. Далин, Д. А. Коптев

Етиленин пентен-1 илә маје пентен мүһитиндә биркәполимерләшмәсинин тәдгиги

## ХУЛАСЭ

Мәгаләдә этиленлә пентен-1-ин маје пентен мүһитиндә биркәполимерләшмәси верилмишdir. Просес үчүн  $[\text{VOCl}_3 + (i\text{C}_4\text{H}_9)_2\text{AlCl}]$  вә  $[\text{VCl}_4 + (i\text{C}_4\text{H}_9)_2\text{AlCl}]$  катализатор системиндән истифадә олунмушdur. Биркәполимерләшмә просесинә температурни, катализаторун, сокатализатор нисбәтинә маје фазаның тәркибинин тә'сирі мүәјжән едилмишdir.

Айынлашмышдыр ки, этиленлә пентен-1-ин биркәполимерләшмәси заманы там аморф биркәполимер алмаг мүмкүндүр.

Алыныш аморф биркәполимердән резин гарышығы назырланмыш вә дикумилпероксид васитесинлә вулканлаштырылышдыр. Мә'лум олмушшудур ки, биркәполимерин тәркибиндә 23–27% амилен олдугда вулканизатын физики-механики хассаси даңа јүксәк олур.

У. Х. АГАЕВ, С. Д. МЕХТИЕВ, Б. Д. ЛАВРУХИН, Э. И. ФЕДИН

## ПМР СПЕКТРЫ ГАЛОИДПРОИЗВОДНЫХ ЦИКЛОГЕКСАНА И О КОЛЕБАНИИ ЦИКЛОГЕКСАНОВОГО КОЛЬЦА

В настоящее время в теоретической органической химии особо важное значение имеют пространственные представления о строении молекул, различные ориентации атомных групп внутри молекул, а также разнообразные движения отдельных групп атомов и частей молекулы.

В последнее время опубликован ряд работ по синтезу хлорзамещенных алкилциклогексанов и изучению их конформации [1—10]. Настоящая статья посвящена изучению отдельных вопросов ПМР спектров хлор-, бром- и йодциклогексанов.

### ЭКСПЕРИМЕНТАЛЬНАЯ ЧАСТЬ

Спектры ПМР галоидпроизводных записывались на спектрометре ЦЛА отечественного производства с частотой  $\nu_0 = 40$  мгц. Спектры сняты при температуре 25°C. Химические сдвиги (табл. 2) приведены в  $\delta$ -шкале, т. е. измерены в  $10^{-6}$  долях с нулем на сигнале  $\text{Si}(\text{CH}_3)_4$  тетраметилсилана (ТМС). Интенсивность линий поглощения находили графическим интегрированием.

Галоидпроизводные циклогексана синтезированы известными методами органической химии: хлор- и бромциклогексаны прямым галоидированием циклогексана, а йодциклогексан — действием трехйодистого фосфора на циклогексанол. Очистка производилась многократной ректификацией.

Физико-химические константы галоидпроизводных циклогексана приведены в табл. 1.

Таблица 1

Галоидпроизводные циклогексаны	Тем-ра кипения °C, mm	$n_D^{20}$	$d_4^{20}$	MR <sub>D</sub>	
				выч.	найд.
Хлорциклогексан	61°/50	1,4611	0,9985	32,57	32,54
Бромциклогексан	80°/50	1,4960	1,3380	35,47	35,57
	64°/20				
Йодциклогексан	80°/20	1,5470	1,6266	40,51	40,93
	63°/10				

### ОБСУЖДЕНИЕ ЭКСПЕРИМЕНТАЛЬНОГО МАТЕРИАЛА

Спектры ПМР галоидпроизводных циклогексана приведены на рисунке. Структурная формула галоидциклогексанов, химические сдвиги протонов, а также разность ( $\Delta\delta$  цикла) химических сдвигов экваториальных и аксиальных протонов циклогексанового ядра приведены в табл. 2. Здесь также приведено соотношение интенсивностей сигналов. Расщепление сигнала кольцевых протонов  $\Delta\delta$  цикла =  $\delta_{\text{экв.}} - \delta_{\text{акс.}}$  в определенной степени является количественным показателем конверсии кольца.

Физическими методами [11, 12, 13], включая инфракрасную [14] и ультрафиолетовую спектроскопию [15], была доказана большая устойчивость кресловидной конформации циклогексанового кольца по сравнению с конформацией ванны.

Кресловидный цикл претерпевает кресло-кресло переход, если энергия системы превосходит энергию потенциального барьера указанного перехода. В случае незамещенного циклогексана конверсия кольца происходит быстро, экваториальные и аксиальные протоны находятся в усредненном локальном поле, и поэтому наблюдаемый ПМР сигнал состоит из одного узкого пика. Для обнаружения аксиальных и экваториальных водородов скорость конформационного перехода должна быть больше, чем обратная величина разности химических сдвигов аксиальных и экваториальных водородов, измеренная в гц [16].

При замещении водорода другими радикалами, в зависимости от размеров и характера заместителя уменьшается скорость конверсии кольца. Соответственно уменьшается инверсия экваториальных и аксиальных водородов, и поэтому обнаружение их становится возможным.

Различие в содержании свободной энергии для монозамещенных молекул между возможными конформациями обеспечивает нахождение молекул по существу только в конформации с экваториальным заместителем [17].

Но это не означает, что все молекулы жидкости в указанных условиях имеют только экваториально расположенные заместители. Методами ИК и КР спектроскопии доказано, что это может случиться или в кристаллической модификации при медленном замораживании [18], или при наличии заместителя с сильным электроотрицательным зарядом, в результате чего возникают межмолекулярные силы [19], направляющие заместитель в экваториальное положение. В жидком же состоянии в продукте имеется определенная небольшая доля молекул с аксиально расположенными атомами галоида, находящихся в динамическом равновесии с молекулами, имеющими экваториально расположенные галоидные атомы.

Следовательно, сигналы, наблюдаемые в области поля, левее сигнала протонов циклогексанового кольца, относятся к аксиальным водородам, находящимся у углеродного атома с галоидом в экваториальном положении. Как видно, для хлор-, бром- и йодциклогекса-

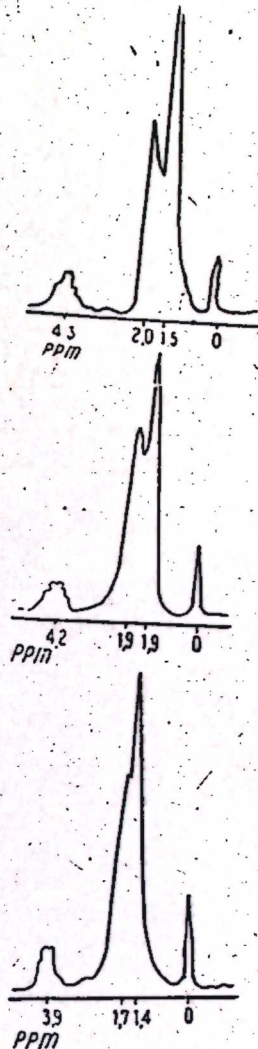


Таблица 2

## Химические сдвиги галоидпроизводных циклогексана

Название и структурная формула галоидпроизводного циклогексана	$H$ цикла		$H^*$		Соотношение площацей		$\Delta\delta$ $H$ цикла	
			$H^*$ : $H$ цикла					
	экв.	акс.	экв.	акс.	выч. по формуле	измерено на спектре		
Хлорциклогексан 	1,7	1,4	—	3,9	1:10	1:9,8	0,3	
Бромциклогексан 	1,9	1,5	—	4,2	1:10	1:10,4	0,4	
Йодциклогексан 	2,0	1,55	—	4,3	1:10	1:9,8	0,45	

$H^*$ , протон, расположенный в гем-положении с атомом галоида.

нов указанные протоны соответственно имеют химические сдвиги 3,9; 4,2; 4,3. Следовательно, замещение водорода более объемистыми и массивными заместителями, чем хлор, сдвигает сигнал аксиального гем-протона в сторону более слабых полей (рисунок, сигналы слева).

Усредненный сигнал протонов кольца незамещенного циклогексана имеет химический сдвиг относительно тетраметилсилана  $\delta = 1,6$  [16a]. В хлорзамещенном циклогексане химический сдвиг кольцевых аксиальных протонов смещается в сторону сильных полей ( $\delta_{\text{акс.}} = 1,4$ ), а экваториальных протонов в сторону слабых полей ( $\delta_{\text{экв.}} = 1,7$ ). В случае бром- и йодциклогексанов химические сдвиги аксиальных протонов равны 1,5 и 1,55, а экваториальных — 1,9 и 2,0 соответственно. Следует отметить увеличение расщепления протонных сигналов цикла в ряду хлор-, бром- и йодциклогексанов. Незначительное расщепление сигнала в случае хлорциклогексана  $\Delta\delta = 0,3$  при переходе к бромциклогексану увеличивается до 0,4, а в случае йодциклогексана становится 0,45. Именно величина указанного расщепления ( $\Delta\delta$ ) в определенной степени позволяет сравнивать скорость кресло-кресло перехода.

Итак, конверсия кольца хлорциклогексана заторможена слабо, бромциклогексана — сильно, а йодциклогексана — еще больше.

## Выводы

1. Определены химические сдвиги аксиально расположенных протонов у углеродного атома с галоидом в экваториальном положении для хлор-, бром- и йодциклогексанов.

2. Отмечено, что в этом ряду с уменьшением электроотрицательности галоидного атома химический сдвиг гем-протонов перемещается в сторону слабых полей.

3. С увеличением массы и объема галоида химический сдвиг между сигналами экваториальных и аксиальных протонов цикла увеличивается, что свидетельствует о замедлении скорости кресло-кресло превращения циклогексанового кольца.

## ЛИТЕРАТУРА

- Мехтиев С. Д., Исмаилзаде И. Т., Алиев А. Ф., Агаев У. Х., Мамедов Ф. А. ДАН Азерб. ССР\*, 1958, 14, № 12, 2. Мехтиев С. Д., Алиев А. Ф., Агаев У. Х. Изв. АН Азерб. ССР\*, № 5, 1958. 3. Мехтиев С. Д., Мамедов Ф. А., Исмаилзаде И. Т., Алиев А. Ф., Агаев У. Х. АХЖ, № 5, 1964. 4. Алиев А. Ф., Мамедов Ф. А., Исмаилзаде И. Т., Мехтиев С. Д. зade И. Т. ДАН Азерб. ССР\*, 1963, 19, № 7, 6. Мехтиев С. Д., Алиев А. Ф. ДАН Азерб. ССР\*, № 6, 1962. 7. Агаев У. Х. Автореферат дисс. Баку, 1958. 8. Мамедов Ф. А., Исмаилзаде И. Т. ДАН Азерб. ССР, 1964, 20 № 2. 9. Савитов Ю. Ю., Мамедов Ф. А., Мусина А. А. АХЖ, № 2, 103, 1964. 10. Мамедов Ф. А. Автореферат дисс. Баку, 1964. 11. Hassel, Viervoll. Acta Chem. Scand, 1, 149, 1947. 12. Astop, Schuman, Fink, Doty. J. Am. Chem. Soc. 63, 2029, 1941. 13. Beckett, Pitzer, Spitzer, J. Am. Chem. Soc. 69, 2488, 1947. 14. Rasmussen. J. Chem. Phys. 11, 249, 1943. 15. Kohlrausch, Wittek. L. phys. Chem. 48, В 177, 1941. 16. Попл Дж., Шнейдер В., Бернштейн Г. Спектры ЯМР высокого разрежения, М., 1962, 462. 16а. Там же, стр. 116. 17. Barton D.H.R., Hassel O., Pitzer K. S., Prelog V., Science 119, 49, 1953. 18. Пептий Ю. А., Шарипов З., Котова Г. Г., Камерицкий А. В., Ахрем А. А. Ж. структурной хим. 1963, № 2, 1942. 19. Klaeborg P., Lothe J., Lund K. Acta Chem. Scand, 10, 1465, 1956, 11, 1677, 1957.

ИНХП

Поступило 24. VII 1966

У. Х. Агаев, С. Ч. Мендиев, Б. Д. Лаврухин, Е. И. Федин

Тциклохексанының һалокенли төрмәләринин ПМР спектрләри вә тциклохексан һәлгәсинин рәгсләри һагында

## ХУЛАСЭ

Мәгаләдә хлор-, бром- вә јодтциклохексанларының ПМР спектрләри чәкилмишdir. Екваториал вәзијәтдә дуран һалокен атомунан бирләшмиш карбон атомунун յанындакы протонларын јердәшишмәләри тә'жин олунмушшур.

Хлор-, бром- вә јодтциклохексанлар учун кем протонларын јердәшишмәләри мұвағиг олараг  $\delta = 3,9; 4,2; 4,3$ -дүр.

Јухарыдакы һалоидтциклохексанлар сырасында һалокен атомунун электромәнфилиji азалдыгча, кем протонларын кимјәви јердәшишмәләри зәнф саһәләр истигамәтинә дөгрү чәкилir.

Һалокен атомунун күтләсі вә нәчминин артмасы илә тциклин аксиал вә екваториал протонларын јердәшишмәләринин арасындакы фәрг ( $\delta_{\text{н}} = \delta_{\text{акс.}} - \delta_{\text{экв.}}$ ) артыр. Хлор-, бром- вә јодтциклохексанларда аксиал протонларын кимјәви јердәшишмәсі мұвағиг олараг 1,4; 1,5; 1,55, екваториалларының исә 1,7; 1,9; 2,0-дүр.

ХИМИЧЕСКАЯ ТЕХНОЛОГИЯ

М. Ф. НАГИЕВ, Ч. Ш. ИБРАГИМОВ, Э. А. ГАДЖИЕВА

**ВЛИЯНИЕ СТРУКТУРЫ АДСОРБЕНТОВ НА СРЕДНЕЕ  
ЗНАЧЕНИЕ ПОВЕРХНОСТНОЙ КОНЦЕНТРАЦИИ  
АДСОРБАТА**

Для того, чтобы выяснить влияние химического изменения природы поверхности адсорбентов одинаковой структуры и влияние структуры адсорбентов одной и той же химической природы на сорбционные процессы, необходимо перейти от относительных величин адсорбции, отнесенных к единице веса или объема адсорбента, к абсолютным величинам, рассчитанным на единицу поверхности.

Знание абсолютных величин адсорбции дает возможность проследить за изменением адсорбционного потенциала при сужении пор адсорбентов.

Систематические работы по определению абсолютных изотерм адсорбции начаты в 1950 г. в работах [2, 4].

В настоящей работе даны результаты расчетов, проведенных на основе прежних теоретических исследований [1, 3, 6]. Рассчитаны абсолютные величины адсорбции пара азота на частицах кремнезема разной пористости и разного диаметра и рассчитаны их удельные поверхности.

**1. Обсуждение результатов расчетов удельных поверхностей некоторых адсорбентов**

Чтобы отнести адсорбционные и катализитические свойства к единице работающей поверхности адсорбента и катализатора, необходимо знать их удельную поверхность.

Обычно уравнение БЭТ используется для определения удельной поверхности адсорбентов. Но это уравнение не всегда дает правильный результат.

В работе [1] выведена формула удельной поверхности скелета адсорбентов глобулярной структуры:

$$S'_{\text{об}} = \frac{6(1-m)V}{pd} \left(1 - \frac{d'q}{2d}\right) \frac{\text{см}^2}{\text{г}} \quad (1)$$

и удельной поверхности пленки, образованной на поверхности адсорбента:

$$S'_{\text{на}} = \frac{6(1-m)V}{\rho(d+2t')} \left[1 - \frac{(d'+2t')q}{2(d+2t')} \right] \frac{\text{см}^2}{\text{г}}, \quad (2)$$

где  $m$ ,  $\rho$ ,  $d$ ,  $q$ ,  $V$ —соответственно пористость, масса, диаметр, координационное число, объем адсорбента;  $t'$ —толщина пленки, образованной на поверхности адсорбента;  $d'$ —диаметр частиц адсорбата.

С помощью формул (1) и (2) получены относительные кривые, указанные на рис. 1—4.

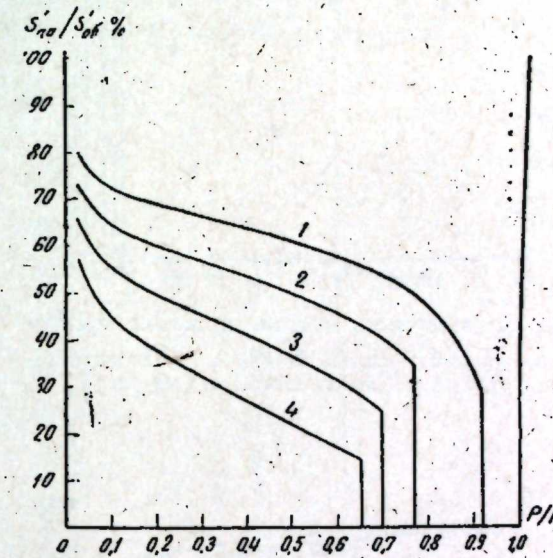


Рис. 1. Зависимость поверхности пленки кремнезема диаметра частиц  $d=100 \text{ \AA}$  от его пористости:  
1— $m=0,4767$ ; 2— $m=0,3225$ ; 3— $m=0,2700$ ;  
4— $m=0,2598$ .

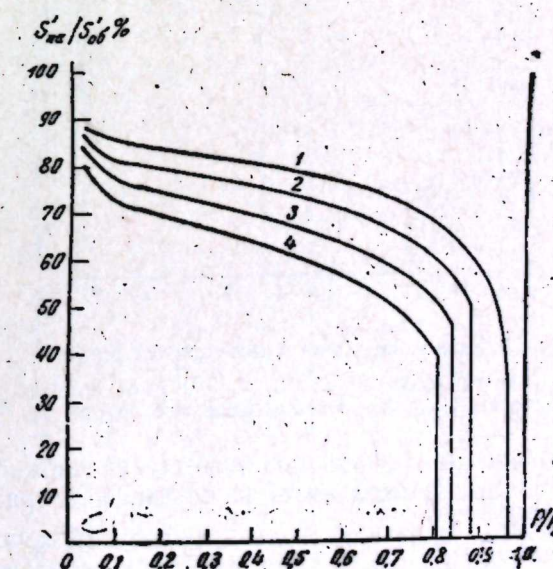


Рис. 2. Зависимость поверхности пленки кремнезема диаметра частиц  $d=200 \text{ \AA}$  от его пористости (1, 2, 3 и 4 то же самое, что на рис. 1).

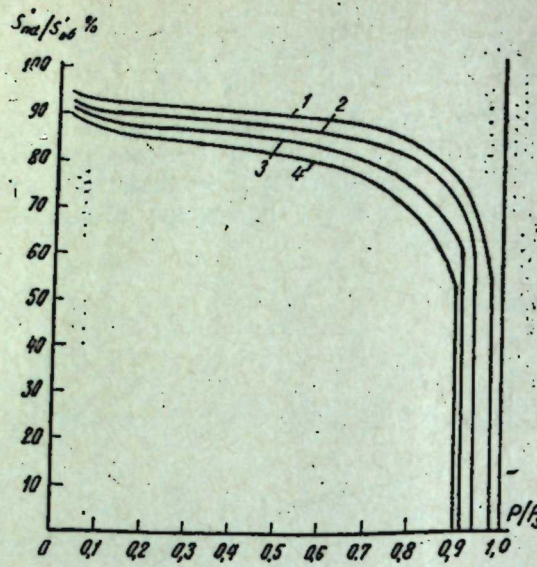


Рис. 3. Зависимость поверхности пленки кремнезема диаметра частиц  $d=400 \text{ \AA}$  от его пористости (1, 2, 3 и 4 то же самое, что на рис. 1).

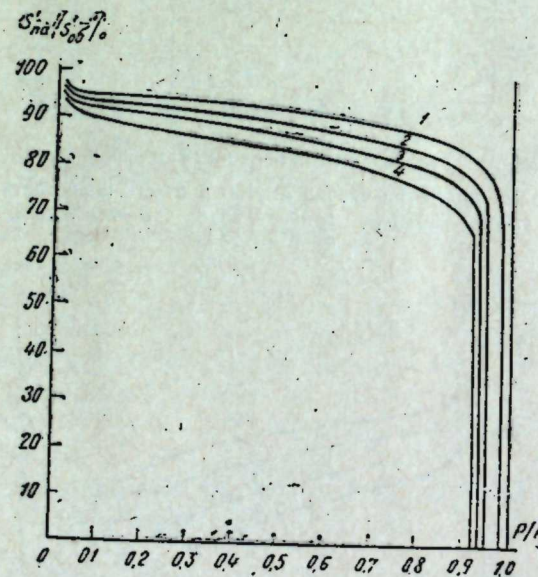


Рис. 4. Зависимость поверхности пленки термической сажи диаметра частиц  $d=550 \text{ \AA}$  от его пористости (1, 2, 3 и 4 тоже самое, что на рис. 1).

На рис. 1 указано изменение поверхности адсорбционной пленки, образованной адсорбией пара азота на кремнеземе размера первичных частиц  $d=100\text{\AA}$ . Кривые 1, 2, 3 и 4 соответствуют пористости 0,4767, 0,3225, 0,2700 и 0,2598. С увеличением давления  $P/P_s$  ( $P_s$  — давление насыщенного пара) поверхность пленки уменьшается, а при определенном давлении поверхность скачком превращается в нуль. Это соответствует скачкообразному заполнению всей полости пор [5].

Давление, которое соответствует скачкообразному превращению в нуль, зависит от пористости адсорбента.

На рис. 2, 3 и 4 кривые 1, 2, 3 и 4, соответствуют той же степени пористости, что и на рис. 1, только у них меняются диаметры частиц адсорбента: на рис. 2  $d=200\text{\AA}$ , на рис. 3  $d=400\text{\AA}$  на рис. 4  $d=550\text{\AA}$ .

С увеличением частиц адсорбента кривые поверхности пленки подвергаются существенным изменениям. Во-первых, кривые перемещаются в сторону больших процентов, т. е. поверхность пленки приближается к поверхности скелета адсорбента, во-вторых, точки, соот-

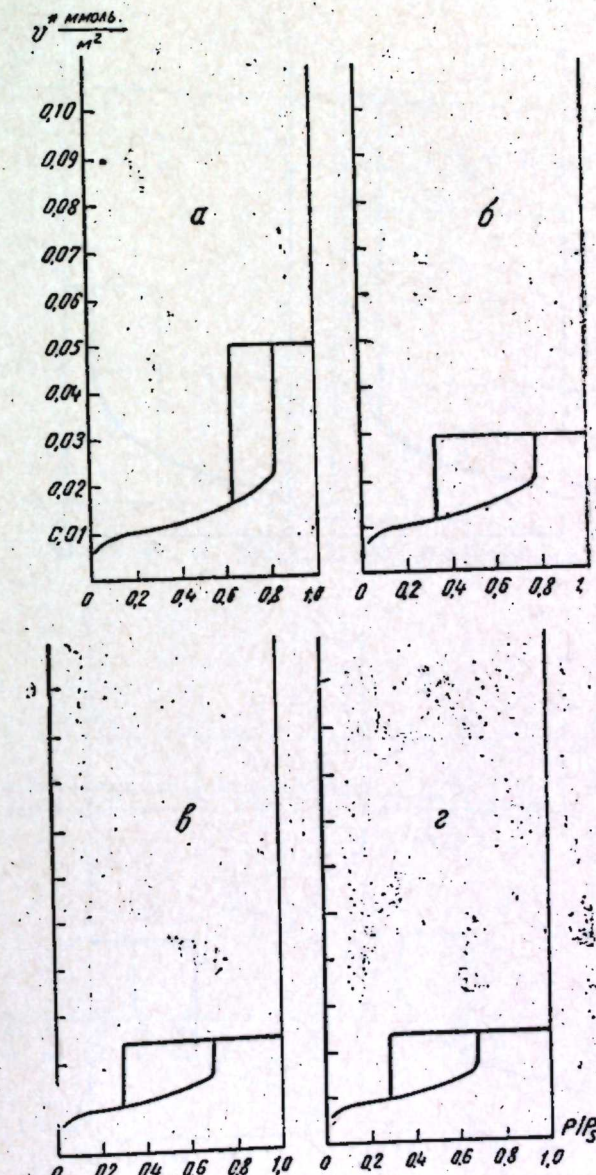


Рис. 5. Изменение сорбционного потенциала кремнезема размера частиц  $d=100 \text{ \AA}$  с изменением пористости:  $a-m=0,4767$ ;  $b-m=0,3225$ ;  $c-m=0,2700$ ;  $d-m=0,2598$ .

ветствующие скачкообразному превращению поверхности в нуль, перемещаются в сторону больших давлений, что связано с увеличением полости пор, в третьих кривые 1, 2, 3 и 4 постепенно приближаются друг к другу и начальные части кривых приобретают более пологий вид.

Если постепенно увеличить размеры частиц адсорбентов, то изменение поверхности пленки будет настолько незначительным, что можно будет пренебречь влиянием диаметра частиц адсорбента, его пористостью и относительным давлением.

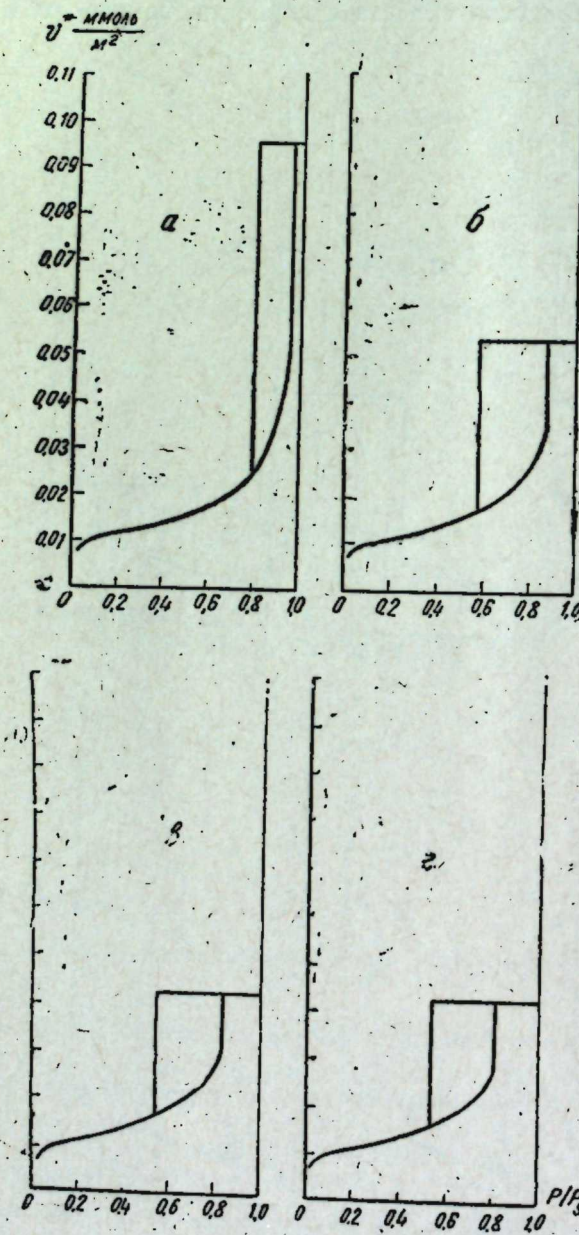


Рис. 6. Изменение сорбционного потенциала кремнезема размера частиц  $d=200 \text{ \AA}$  с изменением пористости (а, б, в и г то же самое, что на рис. 5).

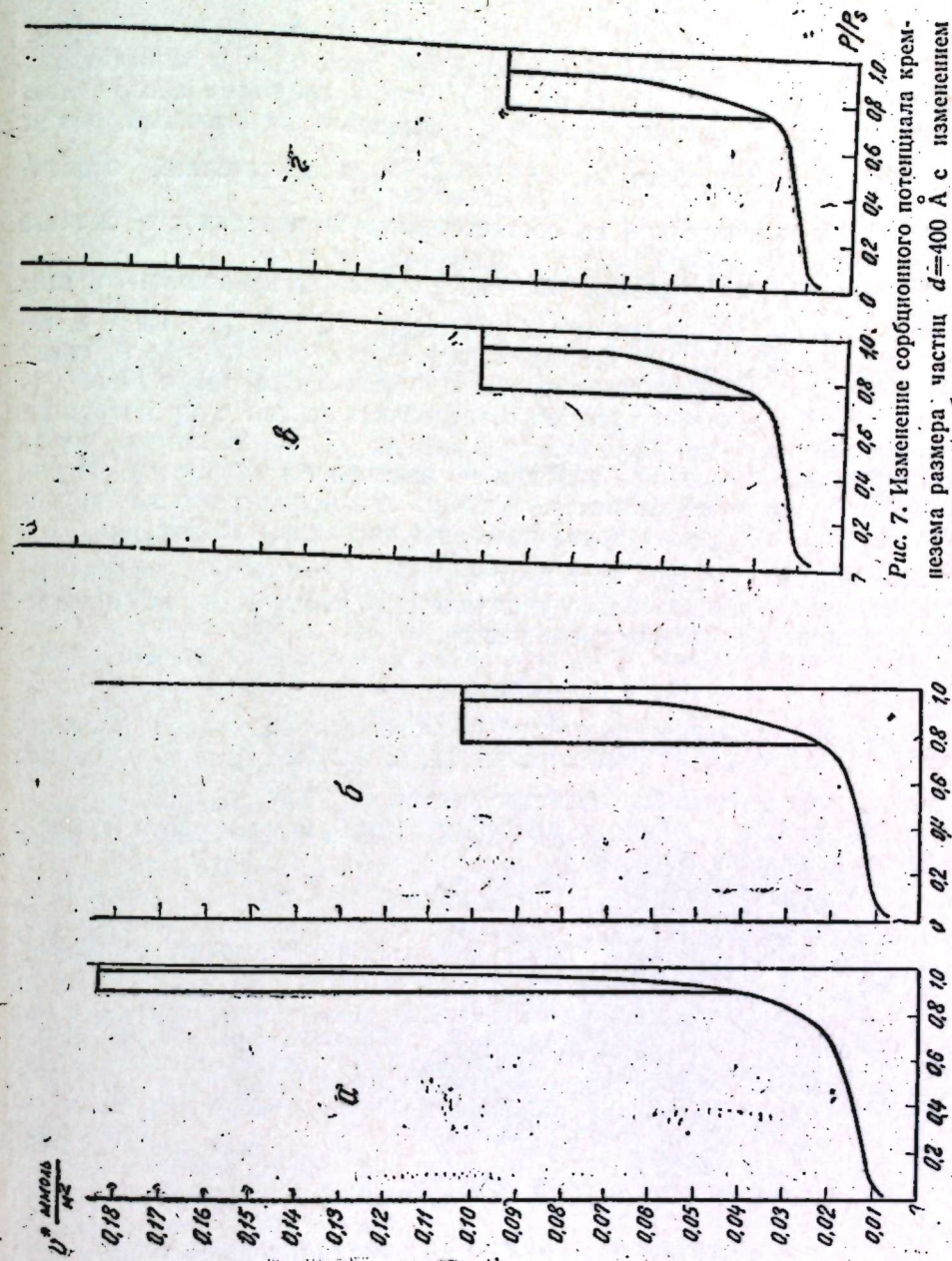


Рис. 7. Изменение сорбционного потенциала кремнезема размера частиц  $d=400 \text{ \AA}$  с изменением пористости (а, б, в и г то же самое, что на рис. 5).

## 2. Абсолютные величины адсорбции

Выведенная формула [6]:

$$v^* = \frac{V(1-m)}{\rho} \left\{ \frac{d^3 q U}{2(d+2t_v)^3} + 6 \left[ \left( \frac{1}{2} - \frac{q}{4} \right) \ln \frac{d+2t_v}{d} + \frac{q(d'-d)}{4} \left( \frac{1}{d+2t_v} - \frac{1}{d} \right) \right] \right\} \frac{cm^3}{g} \quad (3)$$

дает относительную величину совместной адсорбции и капиллярной конденсации (о величине  $U$  см. [7]). Чтобы получить абсолютную величину сорбции, надо сначала (3) разделить на мольный объем адсорбата  $V_m$  (для азота  $V_m = 34,6 \frac{cm^3}{моль}$ ), а полученный относительный объем разделить на соответствующую поверхность скелета адсорбента (1).

На рис. 5, 6 и 7 указаны расчетные изотермы изменения сорбционного потенциала кремнезема диаметра частиц 100, 200, 400 Å и пористости 0,4767, 0,3225, 0,2700, 0,2598. Здесь обсуждение влияния пористости адсорбента на адсорбцию паров азота такое же, как в работе [5]. Но влияние диаметра адсорбента на изотерму адсорбции приобретает иной вид. Как видно из работы [5], максимальный объем относительной величины сорбции с изменением диаметра частиц адсорбента почти не меняется, потому что процент объема пор от общего объема остается постоянным. Но как видно из рис. 5, 6 и 7 с увеличением диаметра частиц от  $d = 100\text{Å}$  до  $d = 400\text{Å}$  максимальная величина сорбции сильно увеличивается ввиду того, что поверхность адсорбента сильно уменьшается.

### Выводы

1. Даны результаты расчетов, проведенных на основе прежних наших теоретических исследований [1, 3, 6]. Рассчитаны удельные поверхности кремнезема диаметра частиц от  $100\text{Å}$  до  $400\text{Å}$ .

2. Рассчитаны абсолютные величины адсорбции пара азота на кремнеземах разной пористости.

### ЛИТЕРАТУРА

- Нагиев М. Ф., Ибрагимов Ч. Ш. „Азерб. хим. журн.“, 1966, № 3.
- Авгуль Н. Н., Джигит О. М., Древнег В. П., Киселев А. В., Лихачева О. А. „ДАН СССР“, 1951, 77, 77.
- Нагиев М. Ф., Ибрагимов Ч. Ш. „Азерб. хим. журн.“, 1965, № 2.
- Авгуль Н. Н., Джигит О. М., Исирикян А. А., Киселев А. В., Щербакова К. Д. „ДАН СССР“, 1951, 77, 625.
- Нагиев М. Ф., Ибрагимов Ч. Ш., Гаджиева Э. А. „Азерб. хим. журн.“, 1966, № 6.
- Нагиев М. Ф., Ибрагимов Ч. Ш. „ДАН Азерб. ССР“, 1956, № 7.
- Радушкевич Л. В. „Изв. АН СССР, ОХН“, 1952, № 6, там же, 1959, № 3.

ИТП: химической технологии

Поступило 26. X 1966

М. Ф. Нагиев, Ч. Ш. Ибрагимов, Е. Э. Начыева

Адсорбентләрин гурулышунун адсорбатын сәтті концентрациясының орта гијметине тә'сири

### ХУЛАСӘ

Мәгаләдә азот бухарының мұхтәлиф мәсамәли вә һиссәчикләри-ниң диаметри мұхтәлиф олан кремнезөjom үзәринде адсорбциясының мүтләг кәмијәти вә һәмчинин кремнезөjomун хұсуси сәттинин неса-ланасындан бәғс едилir.

В. М. БАБА-ЗАДЕ, Р. С. МАЛЮТИН

### НОДУЛЯРНЫЕ ХРОМИТОВЫЕ РУДЫ ОФИОЛИТОВОЙ ФОРМАЦИИ АЗЕРБАЙДЖАНА И НЕКОТОРЫЕ ВОПРОСЫ ИХ ГЕНЕЗИСА

(Представлено академиком АН Азербайджанской ССР А. Д. Султановым)

Среди различных текстурных типов хромитовых руд офиолитовой формации Азербайджана довольно часто встречаются так называемые нодулярные руды, отрывочные сведения о которых имеются в работах А. Г. Бетехтина [2], М. А. Кашкая и Г. Х. Эфендиева [3]. В 1961—1965 гг. специальным изучением нодулярных хромитовых руд Азербайджана занимались авторы настоящей статьи.

Наибольшим распространением нодулярные хромитовые руды пользуются в юго-восточной части офиолитовой формации, целиком слагая рудные тела Гавриловского, Ипякского и Халифалинского рудопроявлений (Лачинский район). Морфологически рудные тела представлены линзами и гнездами. Вмещающими породами для них служат серпентинизированные дуниты, образующие линзообразные шлировые выделения среди перидотитовых массивов.

Нодулярные руды сложены отдельными обособленными агрегатами зерен хромшипелидов округлой, либо эллипсовидной формы, погруженными в дунитовую массу (рис. 1). Внешняя поверхность рудных нодулей довольно ровная и гладкая с резким ограничением их от вмещающей силикатной среды. Размеры нодулей варьируют в пределах 5—20 мм в диаметре, оставаясь, однако, постоянными для какого-либо участка руд-

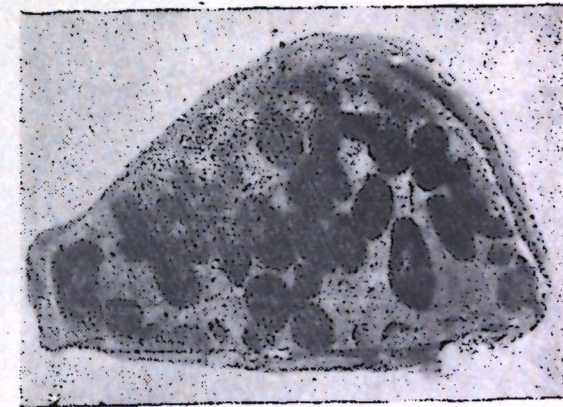


Рис. 1. Нодулярная хромитовая руда Гавриловского рудопроявления. Фото пришлифованного образца, натур. вел.

ного тела. Нодули целиком сложены зернами хромшпинелидов, обладающими довольно правильными идиоморфными очертаниями. Величина отдельных зерен более или менее постоянна ( $0,7 - 1 \text{ мм}$ ), хотя и наблюдается некоторое уменьшение их размеров от периферии к центру нодулей.

Особый интерес представляет вопрос о характере ориентировки рудных зерен внутри хромитовых нодулей. Применяя по методу А. Г. Бетехтина [2] несовершенную полировку образцов нодулярных руд, можно заметить, что рудные зерна периферических частей нодулей обладают тенденцией к груборадиальному расположению. Центральные же части нодулей сложены агрегатом более мелких зерен хромшпинелидов, расположенных без видимой ориентировки. Эти данные свидетельствуют о кристаллизации нодулей от периферии к центру.

Очень интересными являются периферические участки рудных тел, в которых хромитовые нодули принимают уплощенную и несколько удлиненную форму. Вытянутость таких деформированных нодулей соответствует вытянутости всего рудного тела. Исследования показывают, что деформация нодулей произошла до момента кристаллизации хромшпинелидов; так как последние не несут на себе никаких следов катаклаза.

Весьма своеобразными и редко распространенными являются хромитовые руды кокардовой текстуры, слагающие отдельные рудные гнезда Халифалинского рудопроявления. Характеризуются они наличием оливинового ядра в центрах шарообразных рудных образований. Благодаря этому на плоскостях образцов таких руд наблюдаются кольцеобразные выделения хромшпинелидов, в объемном измерении имеющие форму "пустотелых" шаров (рис. 2). Рудные кольца сложены мелкими ( $0,5 - 1,0 \text{ мм}$ ) зернами хромшпинелидов, имеющими



Рис. 2. Кокардовые хромитовые руды Халифалинского рудопроявления. Фото пришлифованных образцов, натур. вел.

полигональные или октаэдрические очертания. Толщина стенок таких колец колеблется в широких пределах: от десятых долей  $\text{мм}$  до  $5 - 6 \text{ мм}$ , вплоть до полного выполнения всего нодуля хромшпинелидовым веществом. В пределах одного и того же участка рудного тела или даже в пределах одного и того же образца имеются все переходы от типичных массивных нодулей к кольцеобразным выделениям с едва заметными хромшпинелидовыми стенками. Наружная граница колец обычно ровная и резкая, а граница с внутренним оливиновым ядром менее отчетлива, причем нередко наблюдаются случаи проник-

новения мелких зерен хромшпинелидов в оливиновое ядро по мельчайшим трещинкам (рис. 3а). Ядро кольцевых нодулей сложено обычно монокристаллом оливина, который, судя по показателям преломления, более богат форстеритовым компонентом, чем оливин межнодулярной массы.



Рис. 3. Кольцевые нодули кокардовых руд: а—Халифалинское рудопроявление, б—массив Бор-Урях. Фото прозрачных шлифов, ув.  $\times 6$ .

Н. В. Павловым был любезно передан нам для изучения образец аналогичной кокардовой руды из дунитового массива Бор-Урях (северо-западная часть Сибирской платформы) (рис. 3б). Интересной особенностью хромшпинелидовых колец здесь является расслоение хромитовой оболочки на ряд дополнительных внутренних оболочек, проникающих в оливиновое ядро. Суммарная величина таких рассеченных колец соответствует толщине нерасчененных оболочек.

О химическом составе хромшпинелидов, слагающих нодулярные и кокардовые руды, можно судить по данным таблицы.

№ п.п.	Рудопроявления	Содержание окислов в весовых процентах								
		$\text{SiO}_2$	$\text{TiO}_2$	$\text{Al}_2\text{O}_3$	$\text{Cr}_2\text{O}_3$	$\text{Fe}_2\text{O}_3$	$\text{FeO}$	$\text{MgO}$	$\text{MnO}$	Сумма
1	Гавриловское	0,89	0,15	17,01	49,53	4,32	12,08	15,34	0,34	99,66
2	Ипякское	1,49	0,25	14,92	50,55	5,97	9,72	16,91	0,43	100,24
3	Халифалинское	1,08	0,21	15,08	50,52	5,63	12,78	14,77	0,24	100,36

Проведенный нами пересчет весовых процентов окислов в числа атомов, входящих в элементарную кристаллическую ячейку хром-

шпинелидов, показал, что хромшпинелиды относятся к алюмохромитам и субферриалюхромитам (по классификации Н. В. Павлова, 1949).

Большинство исследователей, занимавшихся изучением нодулярных хромитовых руд, относят их к магматическим образованиям, высказывая, однако, различные взгляды на причины их возникновения.

Для М. Дона [7] нет никаких сомнений в том, что окружность нодулярных хромитовых агрегатов возникла в результате частичной магматической коррозии ранее выделившихся скоплений хромшпинелидовых зерен. Однако морфология рудных тел явно противоречит его выводам.

Полную неприемлемость гипотезы А. П. Карпинского об образовании хромитовых нодулей в результате перетирания и обкатывания рудных обломков во время взрывных процессов показал А. Г. Бетехтин [2].

М. А. Кашкай и Г. Х. Эфендиев [3] причину образования нодулярных руд видят в тенденции хромитовых молекул к образованию скоплений шарообразной формы, наподобие поверхностного натяжения в капле воды. Эти исследователи отрицают ликвационный характер хромитовых нодулей, считая основным фактором их образования быстрое охлаждение расплава и вследствие этого — наличие большого количества центров кристаллизации.

Для объяснения образования нодулярных хромитовых руд офиолитовой формации Азербайджана наиболее приемлемой является точка зрения А. Г. Бетехтина [2] и Г. А. Соколова [6]. По взглядам этих исследователей, нодулярные хромитовые руды обязаны своим происхождением локальным явлениям ликвации, в результате которых рудное вещество обособилось в силикатном расплаве в виде капель рудной жидкости. Однако, как справедливо отмечают В. М. Бабазаде и И. Н. Ситковский [7], нодулярные хромитовые руды не следует относить к числу собственно ликвационных образований (в понимании А. Н. Заваринского), т. к. явления ликвации происходили здесь на последних этапах кристаллизации ультраосновной магмы и были присущи лишь остаточным рудно-силикатным расплавам.

Н. В. Павлов и И. И. Чупрынина [5], изучавшие хромитовые руды Кемпирсайского массива, считают, что явления ликвации, в результате которых образовались нодулярные руды, имели узколокальный характер и предшествовали основному этапу кристаллизации рудно-силикатного расплава. Произошли они в уже достаточно концентрированном остаточном рудно-силикатном расплаве и вызваны были, по всей вероятности, его резким переохлаждением.

Особый интерес представляет вопрос о происхождении кольцевых нодулей, слагающих кокардовые хромитовые руды. А. Г. Бетехтин [2], изучавший образцы кокардовых руд Халифалинского рудопроявления, считает, что хромшпинелиды кристаллизовались здесь из рудно-силикатных капель на стенах ранее застывшей межнодулярной оливиновой массы, чем и объясняется наличие резких внешних границ у кольцевых нодулей. Толщина рудных оболочек зависит, вероятно, от количества хромовых соединений, растворенных в каплеобразных силикатных обособлениях.

А. В. Лапин и А. Г. Жабин [4] образование кольцевых нодулей в рудах кокардовой текстуры связывают с отклонениями от равновесия при кристаллизации рудно-силикатного расплава по эвтектической схеме, объясняя эти отклонения явлениями переохлаждения эвтектической смеси. По мнению этих исследователей, толщина обра-

зующихся хромшпинелидовых колец зависит от величины переохлаждения.

Нам кажется, что как типичные нодулярные образования, так и кольцевые нодули возникли при одинаковых условиях, в результате локальных ликваций, с той лишь разницей, что в состав последних входило некоторое количество силикатов, заключенных внутри рудных капель. Это тем более вероятно, что как типичные, так и кольцевые нодули встречаются совместно, образуя между собой различные взаимопереключения. Захват силикатной части (оливина) жидкостью рудных капель, видимо, происходит тогда, когда первая представляла собой уже твердую фазу, т. к. зерна хромшпинелидов проникают в оливиновое ядро в виде жилочек или дополнительных оболочек. Возможно также, что при кристаллизации кольцевых нодулей некоторое место имели процессы метасоматического замещения оливинового ядра хромшпинелидовым веществом.

## ЛИТЕРАТУРА

1. Бабазаде В. М., Ситковский И. Н. Уч. зап. АГУ. серия геол.-геогр. № 2, 1965.
2. Бетехтин А. Г. Хромиты СССР, т. 1, АН СССР, 1937.
3. Кацкай М. А., Эфендиев Г. Х. Труды АзФАН СССР, т. 55, 1938.
4. Лапин А. В., Жабин А. Г. ДАН СССР, т. 163, № 5, 1965.
5. Павлов Н. В., Чупрынина И. И. Изв. АН СССР, серия геол., № 1, 1966.
6. Соколов Г. А. Труды Ин-та геол. наук, серия руд. м-ний, № 12. 1948.
7. Donath M. Chrom. Die Metallischen Roststoffe, B. 14. Stuttgart, 1962.

АГУ

Поступило 5. IV 1966

В. М. Бабазаде, Р. С. Малютин

Азэрбајҹаның офиолит формасијасының нодулјар хромит филизләри вә онларын эмәлә қәлмәснин бә’зи ҹәһәтләри

## ХУЛАСЭ

Мүхтәлиф текстур тип хромит филизләр ичәрисинде Лачын районунун (Гавриловскоје, Ипәк вә Хәлифәли тәзәнүүрләри) нодулјар тип хромит филизләри даңа кениш јајылышы. Бу тип филизләр гурулушча даирәви вә еллипсшәкли олуб, бир чох һалларда хромшпинелилдәрдән тәшкىл олунмуштур. Диңгээр һалларда исә хромшпинелилдәрдән ибәрт һәлгәви нодулларын мәркәзи оливин дәнәләриндән тәшкىл өдүлмишидир. Нодулларын өлчүсү онларын диаметр бою үзрә 5-дән 20 м-ә گәдәр олуб, харичи күтлә илә дүзкүн вә кәсекин сәрһәд тәшкىл өдөр. Һәлгәви нодуллара қәлдикдә исә онларын нүвә һиссәснин тәшкىл өдән оливин дәнәләри илә хромшпинелилдәр арасындағы сәрһәд о گәдәр дә кәсекин дејилдир.

Мүэjjән олунмуштур ки, нодулјар хромит филизләри локал хүсусијәт дашијан ликватсија просеси иәтичәсинде эмәлә қәлмишdir.

ГЕОЛОГИЯ

И. С. БАШИНДЖАГЯН

**К КЛАССИФИКАЦИИ ОПОЛЗНЕЙ В ГОРНЫХ РАЙОНАХ**

(Представлено академиком АН Азербайджанской ССР М. М. Алиевым)

При изучении закономерностей развития, причин образования и исследования оползней как рельефообразующего фактора, а также при разработке противооползневых мероприятий, существенное значение имеет правильная классификация их. Многочисленные классификации оползней, предложенные различными авторами, описаны [1]. Однако условия образования оползней в горных районах настолько многообразны, что часто они не поддаются строгой классификации. Примером могут служить оползни в сел. Ашан (Мартунинский район) и в сел. Велачола (Лерикский район), представляющие смещения земляных масс в зоне сезонных изменений в виде оплывин и потоков и захватившие более глубокие слои.

Сел. Ашан расположено в основании крутого склона, обращенного на восток. Склон лишен древесной растительности и имеет большую крутизну, доходящую местами до  $50^{\circ}$ . Коренные породы представлены мергелями, обнажающимися в северной и южной частях склона, с простиранием с юга на север и падением на восток под углом  $20^{\circ}$ . Коренные породы покрыты чехлом делювиальных отложений, представленных продуктами выветривания мергелей—дресвой и суглинками. Наибольшую мощность (более 7 м) покровные отложения имеют над центральной частью селения. При наличии общих условий, благоприятствующих образованию оползней, к которым относятся особенности геологического строения и условия рельефа, непосредственной причиной, вызвавшей смещение, явились атмосферные осадки. Продолжительные и обильные дожди в 1963—1964 гг. (количество осадков, например, выпавших в 1963 г., превысило годовую норму в три раза) привели к концентрированному насыщению делювиального покрова на склоне и смещению его в виде оплывин. Проявились они на всем протяжении склона, но особенно сильно над центральной частью селения. Поверхность склона покрылась густой сетью концентрически расположенных трещин глубиной до 2 м и раскрытых местами до 10—15 см. На отдельных участках встречаются потоки мелкораздробленного каменного материала. Смещением были задеты и более глубокие слои. В верхней и центральной частях склона образовались небольшие терраски, запрокинутые в сто-

рону склона. Почти вертикальные стенки обрыга имели высоту от 1,5 до 2,5 м, образовались небольшие валы, выпирания.

О путях прохождения атмосферных осадков и характере увлажнения делювиального покрова можно судить по выходам родников в основании склона, дебит которых заметно увеличился к моменту возникновения первых подвижек. Поверхностный сток при этом заметно сократился. Ухудшение физико-механических свойств делювиальных отложений произошло и в результате выщелачивания из них легкорастворимых солей и выноса мелких частиц за счет механической суффозии, на что указывает наличие в верхней части склона нескольких суффозионных воронок диаметром до 2 м и видимой глубиной до 3 м.

Описанное смещение может быть классифицировано как оползневой поток со ступенчатыми оползнями небольших размеров и наличием на поверхности оползней простейшей формы,

Сел. Велачола расположено на участке, представляющем с геоморфологической точки зрения древний оползневой цирк, открывающийся в долину р. Добюрчай. На крутом северо-западном склоне обнажаются коренные породы нижнего миоцен-олигоцена, представленные чередованием песчаников, серых глин и туфопесчаников. В центральной части коренные породы покрыты делювиальными отложениями типа суглинков мощностью более 10 м. Здесь хорошо прослеживаются три большие оползневые террасы, с задернованными и снивелизованными денудационными процессами стенками отрыва. В результате обильных дождей возобновилось движение террас. Появились новые стенки отрыва высотой 0,5—0,7 м, а на граничных участках трещины с раскрытием до 10 см и глубиной до 1 м. Вместе с тем на всех террасах образовались оползни второго порядка, проявившиеся в виде оплывин. Наибольшее развитие они получили на первой снизу террасе, где имели характерную грушевидную форму и захватили слой мощностью около 2 м.

Как и в предыдущем случае, при общих благоприятных условиях причиной, давшей толчок к возобновлению смещений, явилось переувлажнение делювиальных отложений, о чем свидетельствует наличие во многих трещинах воды, образование на всех террасах заблокированных участков и появление небольших родников в оползневых срывах. В результате этого произошло нарушение предельного равновесия склона как от увеличения веса пород, так и от уменьшения механической прочности их.

Описанный оползень может быть классифицирован как оползневой поток с элементами ступенчатых оползней. Но в отличие от типичных оползней-потоков, располагающихся обычно вдоль склонов [1], рассмотренный оползень представляет собой смещение трех блоков, имеющих циркообразную форму вдоль северо-западного оползневого цирка. При этом на поверхности всех блоков образовались оползни первичной формы—оплывины.

Изучая оползни в горных районах В. Ф. Пчелинцев [2] отмечал, что оползневой поток является сочетанием оползней более простейшей формы, для развития которых необходимо наличие крутых склонов и большого количества рыхлых материалов на них. При движении оползневой поток производит механическую работу и является самостоятельным рельефообразующим фактором. Примером могут служить описанные оползни, ссобенно оползневой поток у с. Ашан. В настоящее время характер и направление движения его определяется морфологическими и геологическими особенностями склона. Пос-

следующие смещения приведут к выполаживанию поверхностей скольжения и выработке более устойчивого профиля склона,

Как видно, строгая типизация оползней в горных районах в соответствии с имеющимися классификациями представляет определенные трудности. В связи с этим следует отмечать лишь общий тип оползня и элементы, проявление которых связано с причинами его образования.

#### ЛИТЕРАТУРА

1. Драиников А. М. Оползни. Киев, 1956. 2. Пчелицев В. Ф. Оползни и обвалы. «Наука и жизнь», № 9—10, 1943.

Институт геологии

Поступило 21.V 1966

И. С. Башинчагян

#### ДАГЛЫГ РАЙОНЛАРДА СҮРҮШМЭЛЭРИН ТЭСНИФАТЫНА ДАИР

#### ХҮЛАСЭ

Сүрүшмэлэрин дүзүүн тэснифаты онларын эмэлэкэлмэ шэрэгтийн вэ иикишафы ганунау јгуултуулгарынын өјрэндэлмэснүүдэд мүнхүүн рол ойнаажыр. Дағлыг районларда сүрүшмэлэрийн эмэлэкэлмэ шэрэнти мухтэлиф вэ мурээkkэб олдууғыдан үмуми тэснифат чөрчвэснээ сыйгмыр.

Ашан кэндиндэки сүрүшмэ заманы 2 м галышлыгында олан делүүн өртүүжүүнүн сэрг ямаач бою узун мэсафэдэ јердэжишмэснүүдэн јериданаа дэрийн гатлары зэдэлэнмийшдир. Сүрүшмэнин эсас сэбэби делүүн өртүүжүүн ардычыл јаған јағышлар нэтичэснүүдэ су илэ дојмасыдьр. Тэснифата көрэ, биз бууну кичик өлчүлү бир нечэ пиллэли сүрүшмэс олан ахына аид едирик.

Велачола кэндиндэки сүрүшмэ гэдим сүрүшмэ сиркинин оху бою делүүн өртүүжүүндэ үч бөйжүк блокун јердэжишмэсийн нэтичэснүүдэ башвермишдир. Сүрүшмэнин сэбэби торлаг өртүүжүүн атмосфер чөкүнүүлэрилэ исламмасыдьр. Тэснифата көрэ, бу сүрүшмэ ахыны пиллэли сүрүшмэ элементлэрилэ бирликдэ верилир.

АЗЭРБАЙЧАН ССР ЕЛМЛЭР АКАДЕМИЯСЫНЫН МЭРҮЗЭЛЭРИ

ДОКЛАДЫ АКАДЕМИИ НАУК АЗЕРБАЙДЖАНСКОЙ ССР

ТОМ XXIII

№ 3

1967

#### ГЕОЛОГИЯ

М. Р. АБДУЛЛАЕВ и Р. Г. КУЛИЕВА

#### О ПЕРСПЕКТИВАХ НЕФТЕГАЗОНОСНОСТИ ОТЛОЖЕНИЙ САРМАТСКОГО ЯРУСА ВОСТОЧНОЙ ЧАСТИ СРЕДНЕКУРИНСКОЙ ВПАДИНЫ

(Представлено академиком АН Азербайджанской ССР Ш. Ф. Мехтиевым)

В пределах Среднекуринской впадины широко распространены отложения сарматского яруса. Эти отложения в западной части исследуемой территории обнажаются на антиклиналях Удабио, Мамедтапа, Кейруккейлан, Гюрузундаг, Молладаг, Чобандаг, Ахтахтатапа, Б. Палантекян и Эльдароюгу. Далее отложения сарматского яруса установлены глубоким бурением на площадях Дуздаг, Гедакбоз, Ширванлы, Барда, Агджабеды, Ждановск и Худафирин-Бегманлы.

Отложения сарматского яруса исследуемой территории на основании литологического состава, макро- и микропалеонтологического анализа подразделяются на три подъяруса: нижний, средний и верхний. Литологически выражены в песчано-глинистой фации, но характер разреза на отдельных площадях меняется. Мощность отложений сарматского яруса колеблется в широких пределах и местами доходит до 2200 м.

Перспективы нефтегазоносности отложений сарматского яруса в западной части Среднекуринской впадины достаточно освещены А. Г. Алиевым, М. Г. Агабековым, А. К. Мамедовым, А. М. Мамедалиевым, М. А. Мусеиновым и другими. Вопросы о перспективе нефтегазоносности сарматских отложений восточной части Среднекуринской впадины не привлекали к себе достаточного внимания исследователей, несмотря на то, что они являются одной из перспективных и малоизученных стратиграфических единиц исследуемой территории.

Сарматские отложения, как указано выше, обнажаются во многих местах западной части Среднекуринской впадины (до Мингечаурско-го водохранилища), и с запада на восток они обнаруживают региональную нефтеносность. Самые интенсивные нефтегазопроявления из отложений сарматского яруса отмечаются на г. Тюлкитапа и Полнейтепе в виде грязевых вулканов и водо-нефтяных источников, закированных участков и пропитанных нефтью пластов. Помимо поверхностных естественных выходов нефти и газа, связанных с отложениями сарматского яруса, нефтегазопроявления отмечены также во многих структурно-картировочных и разведочных скважинах.

Нефтегазопроявления встречаются почти во всех горизонтах отложений сарматского яруса. Интенсивность проявлений в направлении с запада на восток усиливается и нефтегазоносность охватывает почти весь разрез отложений сарматского яруса [2]. Эти выводы, учитывая общие геологические соображения, могут быть основанием для прогноза распределения залежей нефти и газа в пределах восточной части Среднекуринской впадины.

В юго-восточной части Среднекуринской впадины, на площади Худаферин—Бегманлы, отложения сарматского яруса литологически представлены серыми глинами с прослойми песков и мергелистых глин. Мощность отложений составляет 350 м. Во всех скважинах, пробуренных в этом районе, нефтегазопроявления не отмечены.

К северо-западу от площади Худаферин—Бегманлы, в районе Ждановска, в разрезах глубоких скважин установлены отложения сарматского яруса. Здесь разрез их выражен глинами с прослойми песков и песчаников. На площади Ждановск мощность описываемого яруса уменьшается и составляет всего 210 м. В данном районе во время бурения никаких нефтегазопроявлений не встречено.

Еще севернее, на площади Агджабеди, лишь в скважине № 11 вскрыты отложения нижне- и среднесарматского подъярусов. Здесь разрез сарматских отложений приобретает глинистый характер с редкими и тонкими прослойми песчаников и мергелей, мощность опять увеличивается и достигает 250 м. Признаков нефтегазопроявлений в данном районе тоже не отмечается.

На Бардинской складке отложения сарматского яруса залегают на большой глубине и вскрыты неполностью. Здесь отложения сарматского яруса литологически представлены глинами с прослойми песков и изредка песчаников. Мощность отложений резко увеличивается—неполная мощность составляет 900 м. Во всех трех скважинах, пробуренных на данной площади, во время бурения из разреза сарматских отложений наблюдались нефтегазопроявления. Так, при бурении скважины № 1 на глубинах 1754—1760, 1777 м были отмечены газопроявления, выраженные в снижении удельного веса глинистого раствора от 1,50 до 1,10; в скважине № 2 в процессе бурения на глубине 2008 м на поверхности глинистого раствора появились пленки нефти, а на глубинах 2041, 2071, 2160 м отмечено газопроявление в виде пузырьков [3].

Несколько западнее Бардинской структуры, в районе Ширванлы, сарматский ярус вскрыт в скв. № 3. В разрезе выделяется три подъяруса. Они выражены глинами с тонкими прослойми песков и песчаников. В низах разреза наблюдается пачка переслаивания глин, песков и песчаников. В разрезе верхнего сармата встречаются глины с обломками и отпечатками моллюсков, водорослями и чешуей рыб. Мощность—200 м. Общая мощность разреза сарматских отложений в Ширванлах составляет 500 м.

В районе Гедакбоз отложения сарматского яруса представлены в основном глинами с редкими прослойми песков, количество последних в верхней части разреза увеличивается. Мощность—300 м.

В разрезах сарматских отложений на площадях Ширванлы и Гедакбоза нефтегазопроявлений не отмечено.

На северо-западе исследуемой территории, в районе Дуздаг [2], развиты отложения средне- и нижнесарматского подъярусов, выраженные серыми глинами с прослойми песков и разнозернистых песчаников.

В скважине № 6 сарматские отложения были вскрыты в интервале 1126—1600 м. В пределах вскрытой части по каротажу на фоне 2,5 они выделяют глино-песчаные горизонты сопротивлением 5—13 омм. В средней части разреза выделяются мощные песчаные горизонты, залегающие в интервалах 1384—1460 м сопротивлением 5—10 омм, и 1231—1315 м сопротивлением 5—13 омм. Эти горизонты выражены частым чередованием песков, песчаников и глин, причем песчаные породы имеют неплохие коллекторские свойства, т. к. в скважине № 6, во время бурения с интервала 1415—1444 м были получены притоки воды с горючим газом.

В скважине № 4 отложения сарматского яруса вскрыты в интервале 1114—1760 м. В пределах вскрытой части по каротажу на фоне 2,5 омм выделяются горизонты сопротивлением 5—7 омм. Так, в верхах нижнесарматского подъяруса выделяются песчаные горизонты, залегающие в интервале 1420—1520 м, сопротивлением 5—7 омм. В пределах среднесарматского подъяруса в интервале 1380—1420 м наблюдаются сложенные частым чередованием глин, песков и песчаников.

В скважине № 4 во время бурения, на глубинах 1240, 1480 и 1510 м наблюдались газопроявления, выраженные выделением пузырьков газа из глинистого раствора.

В данном районе в скважине № 1 при бурении на глубинах 936, 946, 948, 957, 1004, 1005 м также наблюдались газопроявления, вследствие чего удельный вес глинистого раствора снизился от 1,70 до 1,20 м. В этой же скважине в интервале 1083—1095 м отмечались пленки нефти на поверхности глинистого раствора.

В скважине № 5 в процессе бурения на глубинах 1356 и 1525 м были отмечены газопроявления, а при опробовании интервала 1344—1418 м получена пластовая вода с пленками нефти. Газопроявление отмечено также в скважине № 10 на глубине 1178 м.

Рассматривая нефтегазоносность отложений сарматского яруса восточной части Среднекуринской впадины, можно отметить, что интенсивные нефтегазопроявления наблюдаются на площади Дуздаг, с юга на север, т. е. в направлении структур Боздаг, Дагирмандаг, Коджашен и Караджа число нефтегазопроявлений значительно увеличивается [2].

Нефтегазопроявления, отмеченные в процессе бурения и опробования, а также увеличение мощностей и количества песчаных пачек в разрезе сарматских отложений в направлении от площади Дуздаг к антиклинальным поднятиям Боздаг, Дагирмандаг, Коджашен и Караджа подтверждают наличие хороших резервуаров для нефти и газа в разрезе сарматских отложений, участвующих в строении вышеупомянутых поднятий.

В пользу этого также говорят нефтегазопроявления в скважине № 2, расположенной на своде западнокоджашенской антиклинали, у стыка с восточнокоджашенской складкой. Эти нефтегазопроявления приурочены к площади распространения акчагыльского яруса вблизи тектонического разлома и, по всей вероятности, связаны с более древними слоями, возможно, с сарматскими отложениями.

Газопроявления отмечаются также на территории Камиканской антиклинали. Пробуренная на ССВ крыле складки разведочная скважина № 1 в настоящее время заполнена водой, на поверхности которой появляются пузырьки газа [4].

Следует отметить также весьма важную закономерность в распределении нефтегазоносных горизонтов в разрезе отложений сарматского яруса восточной части Среднекуринской впадины. Здесь, параллель-

но с улучшением отсортированности песчано-алевритовых пород описываемого яруса, интенсивность и количество нефтегазопроявлений с юго-востока на северо-запад усиливаются и охватывают почти весь разрез отложений сарматского яруса. Кроме того, нами установлена прямая связь нефтегазопроявлений с литологическим составом пород. Большинство нефтегазопроявлений, отмеченных нами и предыдущими исследователями, связано с песчано-алевритовыми породами.

В вышеперечисленных структурах—Боздаг, Дагирмандаг, Коджашен и Кораджа, по нашему мнению, при глубине около 5000–5500 м можно вскрыть разрез верхнесарматского подъяруса.

Кроме вышеперечисленного, нужно отметить, что при проводке скважин на отложения сарматского яруса можно также опробовать вскрываемые отложения продуктивной толщи, которые имеют важное практическое значение.

#### ЛИТЕРАТУРА

1. Агабеков М. Г., Мамедов А. В. Геология и нефтегазоносность Западного Азербайджана. Азернефтр, 1960; 2. Абдуллаев М. Р. Геологическое строение и перспективы нефтегазоносности отложений сарматского яруса Чатмино-Геокчайского антиклинария. Канд. дисс., библ. АГУ им. Кирова, 1963. 3. Критический анализ и обобщение геологического материала по Кировабадской нефтегазонесной области и Талышу. Фонд АзНИИ ДН. Тема 5.60. 4. Ширинов Ф. А. и Баженов Ю. П. Геологическое строение предгорий южного склона Большого Кавказа. Азернефтр, 1962. 5. Геология Азербайджана (месторождение нефти и газа). 1954. 6. Булешивили Д. А. Геология и нефтегазоносность межгорной впадины восточной Грузии. Гостоптехиздат, 1960.

Институт геологии

Поступило 20. X 1965

М. Р. Абдуллаев, Р. Н. Гулијева

#### Сармат мэртэбәси чөкүнгүләринин Орта Күр чөкәклийинә нефтлиник-газлылыг перспективилийинә дайр

#### ХҮЛАСӘ

Мәгаләдә Орта Күр чөкәклийинин шәрг һиссәсіндә Сармат мэртэбәси чөкүнгүләринин нефтлиник-газлылыг перспективилийинә дайр мәлumat верилмишdir. Мүәллифләр чөл ишләри заманы әлдә едилән фактик материаллара вә фонд һесабатларына әсасланараг, айрыајры саһәләр үзәр Сармат мэртэбәси чөкүнгүләринин литолокијасыны, галынылыгларын чөкәклик боју дәжишмәсии вә чыхышлардақы нефт-газ тәзәнүрләрини вермәклә онларын җаңышлашма истигамәттini тә'жин етмиш вә бу фикрә кәлмишләр ки, һәмин мэртэбәнин чөкүнгүләрни Орта Күр чөкәклийинин шимал-шәрг һиссәсіндә—Ходжашен, Боздаг, Дәжирманда вә Гарача гырышыларында перспективли ола биләр. Мәнз бу гырышыларда Сармат сүхурлары йүксәк кечиричилијә малик олмалыдыр. Мүәллифләр көрә, кәшфијјат гујулары 5000–5500 м дәрениликдә әсас нефтли-газлы објекти—уст Сармат Ҙарым-мэртэбәси чөкүнгүләрини тамамилә ача биләр.

#### ГЕОЛОГИЯ НЕФТИ

Н. К. КАДЫРОВ, А. М. КАСУМОВ

#### ИССЛЕДОВАНИЕ НЕФТЕОТДАЧИ ПРИ ЗАКАЧИВАНИИ В ПЛАСТ ГОРЯЧЕЙ ВОДЫ

(Представлено академиком АН Азербайджанской ССР А. А. Ализаде)

Рост глубины разрабатываемых нефтегазовых месторождений и широкое применение термических методов воздействия на истощенные нефтяные залежи путем закачки горячей воды с целью получения дополнительной нефти ставит задачу исследовать влияние температуры и давления на нефтеотдачу и на показатели, характеризующие насыщенность углеводородами пористой среды.

Влияние давления на нефтеотдачу исследовано недостаточно, и большинство имеющихся в наличии работ охватывает область низких давлений [1].

Кроме того, в литературе не имеется достаточных сведений относительно изучения влияния окологранических параметров состояния воды на нефтеотдачу при вытеснении нефти горячей водой из модели пласта.

Для получения в первом приближении некоторых качественных выводов о влиянии воды с околограническими параметрами на нефтеотдачу дегазированных нефтей была собрана лабораторная установка [2] и проведена серия экспериментов в сравнительно широком диапазоне температур и давлений с различными нефтями из месторождений Ашшеронского полуострова. Вязкость нефтей колебалась в сравнительно широком пределе.

Модель пласта, созданная в колонке длиной 1440 м и диаметром 24 мм [2], представляла собою очищенный кварцевый песок с фракциями 0,01–0,25 мм и пористостью 34,4%. Водо- и нефтенасыщенности среды равнялись соответственно 100 и 82,2%.

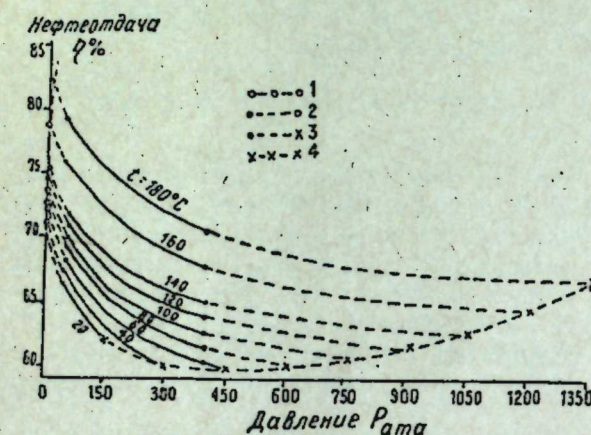
При объеме пор 224 см<sup>3</sup> проницаемость составляла 10 дарси. Пористая среда насыщалась сурханской легкой нефтью плотностью  $\gamma_{20} = 0,8490$ , вязкостью (кинематической)  $\nu_{20} = 10,40$  ССТ [3] и вытеснялась горячей водой (до 180°C) под давлением (5–400 ат) при переходе давления около 1,3 ати. Для вытеснения нефти экспериментальным путем были получены три изотермы: при 20, 140 и 180°C (табл. 1), числа которых с интервалом по 20°C интерполяцией были увеличены. Этот прием позволил нам более наглядно проследить за изменением нефтеотдачи. На графике в координатах  $\eta - P$  построены опытные и

Таблица 1

Температура опыта, °С					
20		140		180	
Давление, ата	Нефтеотдача, %	Давление, ата	Нефтеотдача, %	Давление, ата	Нефтеотдача, %
0,13	71,0	10	74,0	15	81,0
100	64,0	100	70,0	100	77,0
200	61,0	200	68,0	200	74,0
300	59,5	300	66,0	300	71,8
400	57,1	400	65,0	400	70,0

интерполированные изотермы. Как видно из графика, во всем интервале давлений при любом его постоянном значении нефтеотдача с повышением температуры от 20 до 140°С увеличивается почти равномерно: выше этой температуры наблюдается ее резкое увеличение.

Далее, для каждой температуры были взяты давления насыщенной воды [4] и точки кипения воды нанесены на соответствующие изотермы (табл. 2). Собрав полученные точки плавной кривой, построили кривую максимальной нефтеотдачи при вытеснении горячей водой. На этом же графике была получена приближенная графическая зависимость минимальной нефтеотдачи. При ее определении исходили из значений среднего градиента геостатического давления, равного 0,23 ат/м [5]



1—линия насыщенной жидкости; 2—экстраполированные участки до линии насыщенной жидкости; 3—экстраполированные участки до предполагаемых линий; 4—линия уравненных температур.

и геотермического градиента, принятого нами ориентировочно равным 33 м/°С.

Таблица 2

Тем-ра, С	Давление, ата	Нефтеотдача, %
20	0,02 383	71,20
40	0,07 520	72,20
60	0,20 310	72,65
80	0,48 290	73,65
100	1,03 320	74,15
120	2,02 450	74,85
140	3,68 500	75,40
160	6,30 200	78,70
180	10,2 250	82,10

Таблица 3

Тем-ра, С	Глу-бина, м	Давле-ние, ата	Нефтеотдача, %
20	660	151,8	63,1
40	1320	303,6	60,0
60	1980	455,4	59,8
80	2640	607,2	60,1
100	3300	759,0	60,6
120	3960	910,8	61,4
140	4620	1062,6	62,5
160	5280	1214,4	64,5
180	5940	1366,2	66,8

Для заданной температуры на основании геотермической ступени определялась глубина, которая в дальнейшем согласно геостатической ступени переводилась в давление, соответствующее данной глубине.

Восстанавливая перпендикуляры к абсциссе и проведя значительную экстраполяцию, находили точки на вероятной и кривой минимальной нефтеотдачи при вытеснении горячей водой. Исключение составляют изотермы при 20–40°С, для которых эти точки получались без экстраполяции. Таким методом предел экспериментальных значений был расширен примерно до 1400 ат.

Изложенное позволяет сделать следующие выводы:

- Получен график нефтеотдача—давление.
- Установлено, что нефтеотдача из горизонта КС НПУ "Орджоникидзенефть" в интервале 140–180°С резко изменяется в зависимости от температуры.
- На основании термодинамических данных построена кривая максимальной нефтеотдачи при вытеснении горячей водой.
- Исходя из приблизительных средних значений геостатического давления и градиента температуры получена приближенная кривая минимальной нефтеотдачи.

#### ЛИТЕРАТУРА

- Труды АЗНИИ ДН, вып. 7, 1958.
- Касумов А. М., Кадыров Н. К. К методике определения нефтеотдачи в зависимости от давления. Изв. АН Азерб. ССР, серия наука о Земле, 1956, № 5.
- Ашумов Г. Г. Азербайджанские нефти. Баку, 1961.
- Жуковский В. С. Техническая термодинамика. Госиздат, 1962.
- Макрей А. У., Коле Ф. У. Технология бурения нефтяных скважин. Гостоптехиздат, 1963.

Институт проблем глубинных и нефтегазовых месторождений

Поступило 17. VII 1966

Н. Г. Гадиров, А. М. Гасымов

Лаја исти су вурулдуугда нефтвермэ эмсалынын тэдгиги

#### ХУЛАСЭ

Мэгалэдэ мүэллифлэр тэрэфиндэн йыгылмыш хүсүү тэчрүбэ гургуусунда мүхтэлиф нефтлэрлэ дојдурулмуш мэсамэли мүнитдэн јүксэк тээзиг вэ температур алтында олан исти су васитэсилэ нефтлэрин сыхышдырылмасындан бэхс едилр.

Тэчрүбэлэр тэмизлэниш кварс гуму (0,01–0,25 мм) илэ долдурулмуш, диаметри 24 мм, узуултуу 1440 мм олан мэсамэли мүнитдэ апарылмышдыр.

Тэчрүбэлэр заманы алымыш гијматлэр өсасында  $t = 20 \div 180^\circ\text{C}$ ,  $P = 5 \div 400 \text{ atm}$  интервалларында сабит температурларда нефтвермэ тээзиг графиклэр гурулмушдур.

СТРАТИГРАФИЯ

К. А. АЛИЗАДЕ, Л. И. АЛИЕВА и Г. Л. РАСУЛОВ

К СТРАТИГРАФИИ АКЧАГЫЛЬСКИХ ОТЛОЖЕНИЙ  
КАЗАХСКОГО РАЙОНА

(Западный Азербайджан)

В пределах Западного Азербайджана акчагыльские отложения пользуются широким распространением. Они залегают резко трансгрессивно на подстилающих образованиях, знаменуя собой совершенно новые условия осадконакопления. Эти отложения в исследуемом нами районе обнажаются как в естественных обнажениях, так и вскрыты скважинами структурно-картировочного бурения.

Сведения по стратиграфии акчагыльского яруса Западного Азербайджана содержатся в трудах К. А. Ализаде [1], М. Г. Агабекова, К. М. Султанова [2], А. В. Мамедова, М. А. Мусеинова, Г. Л. Расурова [3] и др.

Для изучения стратиграфии и геологической истории акчагыльского бассейна нами проведены исследования в пределах указанного района, т. е. собрана богатая моллюсковая фауна, изучены условия захоронения фауны в целом и произведен относительный количественный учет распространности по разрезу.

В данной статье даются результаты частичной обработки исследований в районе г. Салоглы, находящейся между поднятиями Саждаг и Мамедтапа.

При изучении собранной моллюсковой фауны акчагыльского яруса нами по этому разрезу выделено несколько биоценозов: 1) *Cardium dombra*—*Avimactra subcaspia*—*Potamide sp.*, 2) *C. azerbaijanicum*—*Avicardium mainacaricum*—*Avimactra inostranevi*, 3) *A. subcaspia* *A. nasarlebi*.

Эти данные послужили для более дробного стратиграфического расчленения акчагыльского яруса.

Нижний контакт акчагыла здесь не обнажается. Сверху эти отложения покрываются трансгрессивно залегающими ашшеронскими отложениями. Разрез акчагыла в исследуемом районе представлен в двух литофациях: нижняя—песчано-глинистая (126,8 м), в которой преобладают песчаники, и верхняя—глинисто-песчаная (98,2 м), в котором доминируют глинистые отложения.

Ниже в восходящем порядке приводится описание указанного разреза.

1. Глины серые, светло-серые, слабо песчанистые с включениями растительных остатков.  
Мощность—11,20 м.

2. Чередование светло-серых, серых, рыхлых мелкозернистых песчаников с пропластками песчанистых глин с прожилками (2,0—2,5 см).  
Мощность—6,80 м.

3. Песчаники серые, желтовато-серые, мелко-среднезернистые, слабо уплотненные.  
Мощность—1,10 м.

4. Глины белесоватые, склеруповатые, жирные, карбонатные. Мощность—0,65 м.

5. Песчаники серые, желтовато-серые, мелко-среднезернистые, рыхлые, известковистые.  
Мощность—1,05 м.

6. Чередование темно-серых, светло-серых, серых, белесоватых песчаников и песчанистых глин.  
Мощность—10,50 м.

7. Песчаники серые, белесоватые, коричневато-серые, средне-крупнозернистые. Эти песчаники содержат в себе гальки диаметром до 40—50 мм. Мощность—5,50 м.

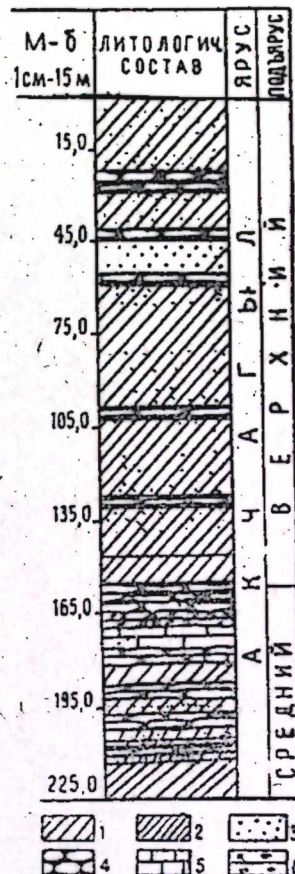
8. Глины желтовато-серые, белесоватые, песчанистые, уплотненные, переходящие в глины.  
Мощность—5,70 м.

9. Чередование коричневато-серых, синевато-серых, голубовато-серых, желтовато-серых, крепких, комковатых, песчанистых глин и мелкозернистых песчаников. Фауна в основном приурочена к песчаникам; в глинах появляется не повсеместно. Фауна окатанная, поломанная, перетертая, что указывает на сильное влияние волн и течения в этой зоне. Определены следующие формы: *Cardium dombra* Andrus., *C. dombra* Andrus. var. *kumuchica* Andrus., *C. dombra* Andrus. var. *vogdti* Andrus., cf. *Avicardium trinacria* (Andrus.), *Cardium sp.*, *Avimactra subcaspia* (Andrus.), *A. karabugasica* (Andrus.), *A. venjukovi* (Andrus.), *Potamides caspius* (Andrus.), *Potamides sp.*, *Clessiniola utvensis* (Andrus.), *Cl. vexatilis* (Andrus.), *Cl. intermedia* (Andrus.). Мощность—16,10 м.

10. Песчаники коричневато-серые, желтовато-серые, мелко-среднезернистые, рыхлые. В этих песчаниках найдены остатки позвоночных. Мощность—5,0 м.  
11. Глины синевато-серые, голубоватые-серые, с прожилками гипса. Мощность—1,80 м.

12. Песчаники коричневато-серые, синевато-серые, мелко-среднезернистые с включениями комковых глин. В средней части этой пачки имеется прослой рыхлого песчаника. Встречается переотложенная фауна *Helix rozeni* K. Alz. Мощность—3,60 м.

13. Чередование желтых, желтовато-серых, голубовато-серых, крепких сланцеватых глин. Встречаются прожилки гипса, идущие по на пластованию. Мощность—10,0 м.



Разрез акчагыльских отложений в районе Салоглы: 1—глины; 2—глины песчаные; 3—пески; 4—песчаники; 5—известники; 6—конгломераты.

14. Чередование буровато-желтых, желтовато-серых, голубовато-серых, уплотненных песчанистых глин с мелко-среднезернистыми песчаниками. Мощность—18,50 м.

15. Чередование коричневато-, синевато-, желтовато-серых глин и песчаников с богатой фауной: *C. dombra* Andrus., *C. azerbaijanica* K. Alz., *Avicardium kamischense* (Usp.), *A. nikitini* (Andrus.), *A. radiferum* (Andrus.), *A. mainacarium* (Andrus.), *A. cicutense* (Andrus.), *A. irrosor* (Usp.), *A. gubkini* K. Alz., *A. orbis* (Usp.), *A. solutum* (Usp.), *A. bozdagense* K. Alz., *C. abreki* Usp., *Cardium* sp., *A. vimastra subcaspia* (Andrus.), *A. inostranzevi* (Andrus.), *A. inostranzevi* (Andrus.), var. *utvensis* (Andrus.), *A. venjukovi* (Andrus.), *A. pisum* (Andrus.), *A. karabugasica* (Andrus.), *Potamides caspius* (Andrus.), *P. caspius* var. *pyrguloides* (Andrus.), *Clessinia intermedia* (Andrus.), *Cl. vexasitis* (Andrus.), *Cl. utvensis* (Andrus.), *Cl. polajaevi* (Andrus.)

Мощность—27,80 м.

16. Песчаники желтовато-, коричневато-серые, мелко-среднезернистые, рыхлые с включением глины. Глины окатанные. В верхней части этой пачки залегает пласт песчаника, содержащий *Helix rozeni* K. Alz., *Helix* sp., *Clausilia* sp. Мощность этой прослойки 0,80—1,0 м., а мощность всей пачки—1,35 м.

На основании вышеуказанных форм эту часть разреза мы относим к средней части акчагыльского яруса. Мощность среднего акчагыла 126,8 м.

17. Чередование различных буровато-, голубовато-серых глин. Глины крепкие, песчанистые, местами сланцеватые. Мощность—42,0 м.

18. Песчаники серые, желтые, мелко-среднезернистые.

Мощность—1,20 м.

19. Чередование белесоватых, голубовато-серых глин с прослойками мелкозернистого песка. В средней пачки глинистые пески переходят в песчаник.

Встречаемая фауна: *A. subcaspia* (Andrus.), *A. nazarlebi* (K. Alz.), *A. gedrooides* Koles., *A. ossoskovi* (Andrus.), *A. venjukovi* (Andrus.), *A. miserabilis* (Andrus.), *C. dombra* Andrus., *Melania rodensis* Buk. var. *costata* K. Alz., *Helix rozeni* K. Alz. Мощность данной пачки—55,0 м.

Вышеуказанная фауна позволяет нам отнести эту пачку к верхнему подъярусу акчагыла. Мощность верхнего акчагыла 98,2 м. Таким образом, в районе г. Салоглы видимая мощность акчагыльских отложений составляет 225,0 м.

Выделение этих подъярусов основано не только на присутствии форм, свойственных данному подъярусу, а также на изменении количественного состава фауны, выражавшей изменения условий осадкообразования и вместе с тем обитания фауны в определенные этапы геологической истории акчагыльского века.

#### ЛИТЕРАТУРА

1. Ализаде К. А. Акчагыльский ярус Азербайджана. Баку, 1954.
2. Агаджапов М. Г. и Султанов К. М. Стратиграфия кайнозойских отложений Западного Азербайджана. Труды Ин-та геологии АН Азерб. ССР, т. 17, 1956.
3. Мамедов А. В., Мусеев М. А. и Расулов Г. Л. Геологическое строение Прикурийской зоны в пределах Западного Азербайджана. Уч. зап. АГУ\*, серия геол.-географ., № 3, 1961.

Институт геологии

48

Поступило 12. I 1966

Г. Э. Элизадэ, Л. И. Элиева, Н. Л. Расулов

Газах району Афчакил чөкүнтүләринин стратиграфијасына даир

(Гәрби Азәрбајҹан)

#### ХУЛАСЭ

Афчакил чөкүнтүләри Гәрби Азәрбајҹан әразиси дахилиндә геирүјүгүн сурәтдә мұхтәлиф стратиграфик комплексларин үзәринә жатараг кениш жаылмышдыр.

Тәдгиттап апардымыз районда Афчакил чөкүнтүләринин үзәри тәбии чыышларда көрүндүү кими; кәшфијат-газыма гүјулары вәситәсилә дә ачылмышдыр.

Мүәллифләр Афчакил һөвзәсинин стратиграфија вә қеоложи инкишашаф тарихини өңрәмәк мәгсәди илә јухарыда көстәрилән районда дәгиг тәдгигат ишләри апармышлар.

Мәгаләдә Сачдағ вә Мәммәтәпә галхымлары арасында јерләшән Салоглу дағы районунда апарылан тәдгигат ишләринин бир һиссәси (стратиграфијасы) верилмишdir.

Мәгаләдә кәсилиш үзрә, ашағыдан јухары мүәјжәнләшдирилмиш (фауна бирликләри) биосенозлар гејд олунур ки, бу да һәмий районда Афчакил мәртәбәсинин орта вә үст јарыммәртәбләрә аյырмaga көмәк едип.

\* Учебный запас Академии наук Азербайджанской ССР.

\*\* Учебный запас Академии наук Азербайджанской ССР.

\*\*\* Учебный запас Академии наук Азербайджанской ССР.

\*\*\*\* Учебный запас Академии наук Азербайджанской ССР.

\*\*\*\*\* Учебный запас Академии наук Азербайджанской ССР.

ФИЗИОЛОГИЯ

А. И. КАРАЕВ, И. А. КАДЫРОВ

**ОБ АКТИВНОСТИ ИНСУЛИНАЗЫ В РАЗЛИЧНЫХ ДОЛЯХ  
ТКАНИ ПЕЧЕНИ КРЫСЫ**

В последнее двадцатилетие интенсивное развитие получило исследование вопросов инактивации инсулина в организме. Доказано, что для подавления гипогликемического действия инсулина в организме образуются его антагонисты: инсулиназа, адреналин, гидрокортизон, глюкагон, гормон роста, гамма-глобулин, альфа-глобулин, липопротеин и другие вещества [16].

Еще в 1929 г. наши отечественные ученые—А. А. Шмидт и Р. А. Сатчиан [14] пришли к выводу о том, что различные ткани животного организма способны в различной мере снижать гипогликемическое действие инсулина, печень в этом вопросе занимает первое место.

Систему, инактивирующую инсулин в тканях, А. Мирский [19] назвал инсулиназой.

Активность инсулиназы не идентична для всех видов животных.

Система, инактивирующая инсулин, находится почти во всех органах, но наибольшей активностью обладают печеночные экстракты и гомогенаты крысы. Поэтому многие исследователи ограничиваются лишь изучением инсулиназы печеночной ткани.

А. Мирский [21] показал, что инсулиназа имеет свойства ферmenta. Максимальная активность инсулиназы проявляется при pH 7,5 в соответствии с повышением инкубационной температуры от 0 до 37°C. Изучалась также инактивация инсулина срезами печени крыс. В этом случае инсулин разрушается в меньшем количестве, чем при инкубации с гомогенатом при тех же условиях, т. е. целые клетки способны лишь к частичной инактивации инсулина в сравнении с тканевыми гомогенатами A. Mirsky, G. Persutti [20].

При определении активности инсулиназы ткани печени крысы мы учитывали ту гемодинамическую особенность распределения крови воротной вены в печени, благодаря которой кровь, поступающая в воротную вену из различных органов брюшной полости, смешивается не полностью, а частично, идет как бы определенными потоками. В связи с этим в разные части печеночной ткани поступает кровь преимущественно из различных брюшных органов. Так, селезеночная кровь и кровь нижней брыжеечной вены поступает в большей мере в левую долю печени, кровь из верхней брыжеечной вены попадает

в правую долю печени. Это „функциональное“ распределение портальной крови было доказано рядом автором [15].

Хан [17] при помощи изотопов радиоактивного фосфора установил, что в течение 3 сек после введения инъекции последнего в селезеночную вену наблюдается большая концентрация фосфора в левой части печени, чем в правой. Наоборот, когда этот же изотоп инъецируется в область верхней брыжеечной вены, наблюдается большая сосредоточенность изотопа в правой части печени. Когда этот же изотоп был введен в яремную вену и было дано достаточно время для полного смешивания его в циркулирующей крови, не наблюдалось различия в концентрации вышеуказанного изотопа в разных частях печени.

Подобное распределение портальной крови в печени доказывается не только экспериментаторами, но и клиницистами. Ряд авторов отмечает, что эхинококк печени чаще всего встречается в правой доле печени. Объясняют они это тем, что кровь, идущая из кишечника, в основном накапливается в правой части печени [1, 5, 9]. Однако указанное распределение крови в печени имеет оттисковый характер, ибо в конечном итоге кровь из любого брюшного органа в том или ином количестве достигает всех частей печени.

Печень крысы имеет дольчатое строение. Некоторые авторы указывают, что печень крысы состоит из 4 долей: правой и левой боковых, центральной и хвостатой [13]. Другие авторы делят печень крысы на 6 хорошо различимых долей: левая и правая боковые, левая и правая центральные, хвостатая и добавочная [2]. Согласно указаниям последних, вес печени крысы варьирует от 12 до 16 г, составляя 4–6% общего веса крысы.

Наши наблюдения показали, что у белых крыс-самцов линии Вистар (размноженных нами в винеарии Сектора физиологии АН Азерб. ССР) весом 190–260 г, вес печени колеблется от 5 до 8 г, составляя 3–3,5% общего веса крысы. Установлено, что печень крысы состоит из 6 долей. Вес левой боковой доли составляет в среднем 2230 мг, правой боковой доли—2318 мг, правой центральной доли—876 мг, левой центральной доли—283 мг, хвостатой доли—552 мг, добавочной доли—310 мг. Следует отметить, что правая центральная доля в основе тесно срастается с хвостатой, а левая центральная доля—с добавочной. Исходя из этого, можно согласиться с В. Г. Шаляпиной об анатомическом делении печени на 4 доли.

Раздвоение потоков крови в портальной вене и дольчатое анатомическое строение печени вызвало у нас предположение о неодинаковой активности инсулиназы в различных долях печени. В связи с этим мы изучали, в какой из долей печени наибольшая активность инсулиназы в инактивировании инсулина, так как этот вопрос не нашел своего освещения в работах авторов, изучающих активность инсулиназы в ткани печени [14, 19, 10, 6–8, 11–12, 3–4]. При этом мы выделили для исследования левую боковую и правую боковую доли, а левую и правую центральные, хвостатую и добавочную объединили, исходя из их малого веса.

Для определения активности инсулиназы печени нами применялась методика, предложенная А. Мирским [19] в модификации Шаляпиной [12]. Исследования проводились на 20 белых крысах-самцах линии Вистар. Активность инсулиназы ткани печени крысы определялась по степени гипогликемии, развивающейся у кролика после введения ему внутривенно гемогената, инкубированного с инсулином. Для этой цели использовали кроликов-самцов породы шиншилла, весом 2–2,5 кг. Качественное определение сахара в крови кроликов производилось

по методу Фужита-Иватаке (в модификации Дюмазири), до введения гомогената и через 30 и 60 мин после внутривенного его введения. Активность инсулиназы выражалась в процентах и подсчитывалась по формуле

$$x = 100 - (\Gamma_1 + \Gamma_2),$$

где  $x$  — активность инсулиназы, %;  $\Gamma_1$  — снижение уровня сахара в крови, % в 30-минутной пробе;  $\Gamma_2$  — снижение уровня сахара в крови, % в 60-минутной пробе.

На основании полученных данных мы сделали вывод, что активность инсулиназы в левой боковой доле на 6% больше, чем в правой, и на 11% больше, чем в остальных долях — левой центральной, правой центральной, хвостатой и добавочной (средние данные).

#### ЛИТЕРАТУРА

1. Бржозовский А. Г. Частная хирургия. М., 1954.
2. Гамбари П. П., Дукельская Н. П. Крыса. М., 1955.
3. Колодина И. Г. Физиология и патология эндокринной системы. Тез. конф. Харьков, 1964.
4. Колодина И. Г. Проблемы эндокр. и гормон., № 2, 1966.
5. Кончаловский М. П. Учебник внутренних болезней (на азерб. яз.). Баку, 1949.
6. Лейтес С. М., Смирнов Н. П. Бюлл. эксп. биол., № 6, 1959.
7. Лейтес С. М., Смирнов Н. П. Проблемы эндокр. и гормон., № 4, 1958.
8. Лейтес С. М. В кн. «Современные вопросы эндокринологии». М., 1960.
9. Мясников А. А. Болезни печени и желчных путей. Л.—Огиз—М., 1934.
10. Соколовская С. С., Волькенсон Д. В. Бюлл. эксп. биол. и мед., № 11, 1950.
11. Шаляпина В. Г. Тез. докл. годич. конф. Всес. ин-та экспериментальной эндокринологии. М., 1961.
12. Шаляпина В. Г. Проблемы эндокр. и гормон., № 1, 1963.
13. Шаляпина В. Г. Канд. дисс., Л., Ин-т им. И. П. Павлова, 1963.
14. Шмидт А. А., Саатчиан Р. А. Эксп. биол. и мед., т. 11, 1929.
15. Фишер Антон. Физиология и экспериментальная патология печени. Будапешт, 1961.
16. Ульянов Р. Диабет. М., 1961.
17. Найн Р. F. et al.: The Amer. J. of Physiol., 143, 105, 1945.
18. Ichikawa K.O. Med. J. Shinshin univ., 1959, 4, 3, 345—363.
19. Mirsky I. A., Arch. Biochem., 1949, v. 20, p. 1—22.
20. Mirsky Agtaig I. "Perisutti Gladys, Diengott Daniel. Endocrinology, 1956, 59, № 3, 359—379.
21. Mirsky I. A. Metabolism, clinic. a. experim.; 1956, 5, 2, 138—143.

Сектор физиологии

Поступило 24. VI 1966

А. И. Гараев, И. А. Гэдиров

Гара чијәрин айры-айры пајларының тохумаларындакы инсулиназаның фәлләгүлөрү һагында

#### ХУЛАСЭ

Сон ийрми ил әрзиндә Совет Иттифагында вә һәм дә харичи өлкәләрдә апарылан тәдгигатлар кәстәрмешdir ки, инсулини инзективләшмәсindә инсулиназа, адреналин, нидрокетизон, глүкагон, бој һормону, гамма глобулин, алфа глобулин, липопротеин вә башга маддәләр иштирак едир. Буна баҳмајараг, бу вахта гәдәр гара чијәрдә инсулиназаны өјрәнән тәдгигатчылар гара чијәрин һаңсы пајында инсулиназаның фәлләгүлөрүн даһа артыг олмасына диггәт јетирмәшиләр. Бу мәсләнин өјрәнилмәснин бөյүк иңәри вә әмәли әһәмијәти вардыр.

Тәчрүбәләр 20 Вистар хәтли ағ сичанлар үзәриндә апарылышылар. Тәдгигатлар кәстәрмешdir ки (ач гарына), гара чијәрин сол кәнар пајында инсулиназаның фәлләгүлөрү о бири пајына иисбәтән артыгдыр.

#### МИКРОБИОЛОКИЈА

С. О. Рәсулов, С. С. Әфәндијев

#### КИРДИМАНЧА ВӘ АҒСУ ЧАЈ СУЛАРЫНЫН КИМҖӘВИ ТӘРКИБЛӘРИНИН ВӘ МИКРОФЛОРASYНЫН ИЛИН ФӘСИЛЛӘРИНДӘН АСЫЛЫ ОЛАРАГ ДӘЖИШМӘСИ ҺАГГЫНДА

(Азәрбајчан ССР Елмләр Академијасынын академики М. Г. Гәнијев  
тәгдим етмисшадир)

Республикамызын Ширван дүзүндә тәсадүф олунан чај суларынын санитар-кикијеник чәһәтдән кимҗәви тәркиби вә микрофлорасынын өјрәнилмәснин мүәјјән әһәмијәти вардыр.

Әдәбијат мәлumatына көрә, Ширван дүзүнүн итгисадијатында әсас һери кәнд тәсәррүфаты тутур. Азәрбајчанда памбыг әкими саһинин 22%-и Ширван дүзүндә јөрләшир [4].

Сон заманлар Ширван дүзүндә сәнаје мүәссисәләринин дә мигдары артмышылар. О. А. Bahabovun [4] вердији мәлumatат көрә, Ширван дүзүндә 70-э гәдәр мүхтәлиф сәнаје мүәссисәләри јөрләшир. Бураја кәнд тәсәррүфаты машынгајымасы, йүнкүл, йејинти, ишаат, кустар вә башга сәнаје саһеләри дахиллар. Минкәчевир су-електрик станцијасы бурада јөрләшән ән ири енержи базасылар. Сон мәлumatata көрә бу зонада сәнаје мүәссисәләринин мигдары даһа да артачагдыр.

Ширван дүзүндә тәхминән 370-э гәдәр чај вә мүхтәлиф су мәнбәләри вардыр [5]. Бә'зи тәдгигатчылар „Бөյүк Бакыны“ су илә тәчhиз етмәк учун Ширван дүзүнүн җатагалты суларындан истифадә етмәни мәсләhәт көрүрләр [8].

Ширван дүзүндә сәнаје вә кәнд тәсәррүфаты даһа да инкишаф етдириләчejindән чај вә җатагалты суларын чиркләнмә горхусу мејдана чыхыр.

Мәлум олдуғу үзрә, Азәрбајчан ССР-дә олан бир сыра чај вә җералты суларын, Минкәчевир су һөвәси сујунун, Бакы бухтасы дәниз сујунун кимҗәви тәркиби, микрофлорасы вә онларын чиркләнмә хүсусијәтләри мүәјјән гәдәр өјрәнилмешdir (Р. С. Алтман; К. Ф. Ахуидов, Д. Нуриев, Е. Милман, Л. Голстфохт, С. С. Әфәндијев, М. А. Салманов, М. С. Ағаларов вә башгалары). Лакин Ширван дүзүндә олан Кирдиманча вә Ағсу чај суларынын кимҗәви тәркиби, микрофлорасы кикијеник нөгтөji-иңәрдән әтрафлы өјрәнилмәшиләр. Ајдындыр ки, чај суларында кедән маддәләр дөвранында микроорганизмләrin бөйүк ролу вардыр.

Бу мәгаләдә Кирдиманчај вә Ағсу чај суларынын кимјәви тәркибини вә микрофлорасыны өјрәндүмиз заман мүэjjән етдијимиз нәтичәләри шәрһ-едәчәйик.

Гарыша гојдуғумуз мәсәләләри һәлл етмәк үчүн көстәрдијимиз чај сулары илә 150 санитар-бактериологи вә 200 санитар-кимјәви анализләр апарылышыдыр. Чај суларындакы микроорганизмләри өјрән-мәкдән өтрут гидалы мүһитләрдән олан ади ЭПА көтүрүлмүшдүр. Экилмиш гидалы мүһитләр 20–25°C һәрәртә сахланылышдыр. Тәчрүбәдә ади ЭПА илә бәрабәр, дос. Н. Д. Элијевин тәклиф етдији „пальчыглы-агардан“ да истифадә едилшидир.

Гидалы мүһитдә битмиш микроб калонијаларыны 15–20 күндән соңра өјрәнмәје башладыг. Тәдгиг етдијимиз сулардакы микроорганизмләрин үмуми сајы вә коли-титри 5216–15 Дөвләт стандарты үзәр өјрәнилмишdir.

Тәдгигатлардан аждын олду ки, Кирдиманчај сујундакы ионларын мигдары бир или эрзинде 630,5–680,8 мг/л арасында тәрәддүд едир. Кирдиманчај сујунун тәркибиндә  $\text{HCO}_3\text{SO}_4$ , Са ионларынын мигдары үстүнлүк тәшкүл едир. Она көрә дә бу чајын сују һидрокарбонатлы-сулфатлы вә калсиумлу группа дахил едилir.

Кирдиманчај сујунун буланлығы орта несабла 800 г/л, үмуми сәртлиji исә 18,3°-жә бәрабәрdir.

Ағсу чајы сујундакы ионларын мигдары бир ил эрзинде 1100–1230 мг/л арасында тәрәддүд едир. Һәмин сујун тәркибиндә  $\text{SO}_4$ , Са,  $\text{Na}^+$ - $\text{K}^+$  ионларынын мигдары үстүнлүк тәшкүл етдији үчүн Ағсу чајынын сују кимјәви чәһәтдән сулфатлы, калсиумлу, натриумлу група дахил едилir. Эн јүксәк минераллашма Ағсу чајынын сујунда тәсадүф олунур (1300 мг/л-ә гәдәр).

Тәдгиг етдијимиз чај суларында эн јүксәк минераллашма, характеринә көрә, һәр ики чај сујунда гыш аjlарында тәсадүф едилir. Анализ олунан суларын сәртлиji минераллашмаја уjғын олараг; гыш аjlарында артыр, яј аjlарында азалыр.

Гејд етмәк лазымдыр ки, яј аjlарында тәдгиг етдијимиз јашајыш мәнтәгәләринин јахыныңындаң кечән чај суларынын тәркибиндә аммониум, нитрат вә нитрит түршесү дузларынын мигдары артыр. Лакин чај сулары јашајыш мәнтәгәсендән узаглашдыгча дузларын мигдары азалыр. Бу көстәрир ки, Кирдиманчај вә Ағсу чајлары јашајыш мәнтәгәсі јахыныңындаң кечәркән инсан, һеjван ифразаты илә чиркләнир. Беләликлә, Кирдиманчај вә Ағсу чај суларынын микрофлорасыны өјрәндикдә аждын олду ки, һәмин чај суларынын микрофлорасы илин фәсилләриндән асылы олараг дәјишир (чәдвәл).

Чәдвәлдән көрүнүр ки, һәмин чај суларында споралы чөпләр вә бағыrsаг чөпләринин мүхтәлиф нөвләрини тапмаг мүмкүндүр. Көбәләкчикләрин, кокларын мигдары гыш аjlарында чохалыр, споралы вә бағыrsаг чөпләри нөвләринин мигдары исә азалыр. Грам үсулу илә грам-мәнифи бојамыш дикәр чөпләр арасында протеј вә көјирии чөпләри мүэjjән јер тутур. Белә чөпләри јашајыш мәнтәгәләри јахыныңында алыныш чај суларында тапмаг олур.

Тәдгиг етдијимиз чај суларындакы микроорганизмләрин үмуми мигдары илин фәсилләриндән асылы олараг дәјишир. Белә ки, һәмин чај суларында микроорганизмләрин үмуми мигдары яз, яј, пајыз фәсилләриндә артыр, гыш фәслиндә исә азалыр.

Кирдиманчај вә Ағсу чај суларындакы микроорганизмләрин үмуми мигдары ил эрзинде 250000–350000 арасында тәрәддүд едир. Чај суларынын коли-титри исә 0,01–5,3-ә бәрабәрdir.

Яз, яј, пајыз аjlарында чај суларынын коли-титри ашағы енир. Бу фәсилләрдә һәмин сулардан бағыrsаг чөпләринин мүхтәлиф нөвлә-

рини тапмаг мүмкүндүр. Апарылан санитар-бактериологи анализләр көстәрир ки, чај суларынын коли-титри јашајыш мәнтәгәләри јахыныңында ашағы сәвијјәдә олур.

#### Чәдвәл

Ағсу вә Кирдиманчај суларындакы сапрофит микроорганизмләрин нөвләрini илин фәсилләриндән асылы олараг дәјишиши

Сыра №-си	Илин фәсилләри	Тәдгигат үчүн су көтүрүлмүш чајларын ады	Микроорганизмләрин нөвләрini				
			Физикалык ириккүлтүрүлгөн шаралар	Физикалык ириккүлтүрүлгөн шаралар	Физикалык ириккүлтүрүлгөн шаралар	Физикалык ириккүлтүрүлгөн шаралар	
1	Яз	Кирдиманчај	33	35	10	12	10
		Ағсу	37	28	10	12	3
2	Яј	Кирдиманчај	30	38	9	13	10
		Ағсу	28	33	10	14	15
3	Пајыз	Кирдиманчај	40	40	10	5	5
		Ағсу	40	38	10	2	10
4	Гыш	Кирдиманчај	22	12	30	36	—
		Ағсу	20	10	30	40	—

Бу мәсәләнни бөյүк епидемиологи әһәмијәти вардыр. Чај суларынын кимјәви тәркибини өјрәндүмиз заман мүэjjән етдикләrimiz сујун коли-титрине уjғын кәлир.

Апардығымыз тәдгигатлара әсасен ашағыдакы нәтичәләрә кәлмәк олар:

1. Ағсу вә Кирдиманчај суларынын кимјәви тәркиби, микрофлорасы илин фәсилләриндән асылы олараг дәјишир.

2. Ағсу вә Кирдиманчај сулары микрофлорасынын әсасыны споралы чөпләр вә мүхтәлиф нөвлү бағыrsаг чөпләри тәшкүл едир.

3. Тәдгиг етдијимиз чај суларында микроорганизмләрин үмуми мигдары яз, яј, пајыз фәсилләриндә артыр, коли-титри исә ашағы енир.

4. Тәдгигатлардан мә'лум олдуғу кими, өјрәндүмиз чај суларынын исан вә һеjван ифразаты илә чиркләнмәси яз, яј, пајыз аjlарында мүшаһидә едилir ки, бунун да бөйүк епидемиологи әһәмијәти вардыр.

#### Әдәбијат

1. Альтман Р. С. Источники водоснабжения г. Баку. Баку, 1935.
2. Алиев. Н. Д. Новые методы исследования микрофлоры лечебной грязью, почвы и воздуха. Труды Азерб. НИИ эпидемиологии, микробиологии и гигиены, 1957.
3. Агаларов М. С., Гасанов М. В., Эфендиев С. С., Абдуллаева Х. А. Курбанова Ф. А. Микробиологическое исследование Бакинской бухты. Изв. АН Азерб. ССР, 1964, № 2, 4.
4. Вагапов О. А. Эколог.-географическая характеристика Ширванской степи. Уч. зап. АГУ им. С. М. Кирова, геолого-географическая серия, 1959, 6, 5.
5. Мильман Е., Гольцфогт Л. Санитарно-бактериологическое обследование источников водоснабжения совхозов Мильской и Ширванской групп. Труды Азерб. НИИ микробиологии и эпидемиологии, т. VI, вып. 1, 1938.
6. Рустамов С. Г. Сток рек южных склонов Большого Кавказа. Труды Института географии АН Азерб. ССР, Баку, 1964.
7. Салманов М. А. Сравнительное изучение микробиологических процессов при формировании Куйбышевского и Мингечевирского водохранилищ. Автореферат канд. дисс. 1960.
8. Сулейманов Д. М., Победоносцев Н. М. Современная водопотребность и возможные источники водоснабжения большого Баку. Вопросы комплексного использования и охраны водных ресурсов Азерб. ССР, 1963.
9. Эфендиев С. С. Изучение антагонистических свойств сапроптических микробов, выделенных

С. О. Расулов, С. С. Эфендиев

Сезонные изменения микробиологического пейзажа воды рек Гирдыманчай и Ахсу

РЕЗЮМЕ

В связи с дальнейшим развитием промышленности и сельского хозяйства в нашей республике возрастает опасение загрязнения речных вод.

В связи с этим изучение санитарного состояния речных и подземных вод имеет определенное значение в борьбе с кишечными инфекциями.

Как известно, основное место в экономике Ширванский степи занимает сельское хозяйство. Последнее время усилилось расширение промышленных предприятий в этой зоне.

Поэтому изучение сезонного изменения химического состава и микробиологического пейзажа воды рек Гирдыманчай и Ахсу указанной степи имеет большое значение.

В основном при проведении настоящей работы мы обратили внимание на сапроптическую микрофлору и определяли колититр указанных вод.

При выполнении данной работы произведено 200 санитарно-химических и 150 санитарно-бактериологических анализов.

Сапроптическая микрофлора вышеуказанных речных вод изучалась по общепринятой на МПА при тем. 20–25°C.

На основании полученных данных мы приходим к следующим выводам.

1. Химический состав и микрофлора речной воды Ахсу и Гирдыманчая изменяется в зависимости от сезона.

2. Из речной воды Ахсу и Гирдыманчая в основном выделяют спороносные палочки и разновидности кишечной группы бактерий.

3. Загрязнения изученных водоемов фекалиями отмечаются в весенне-летние и осенние месяцы года, что имеет большое эпидемиологическое значение.

Д. И. МУГАНЛИНСКАЯ

СОДЕРЖАНИЕ САХАРОВ, МИКРОЭЛЕМЕНТОВ, НИТРАТОВ, КАРОТИНА В КОРМАХ АЗЕРБАЙДЖАНА И НЕОБХОДИМОСТЬ ИХ УЧЕТА ПРИ ОРГАНИЗАЦИИ ПОЛНОЦЕННОГО КОРМЛЕНИЯ СЕЛЬСКОХОЗЯЙСТВЕННЫХ ЖИВОТНЫХ

(Представлено академиком АН Азербайджанской ССР Д. М. Гусейновым)

Знание содержания в кормах сахаров, микроэлементов, нитратов, каротина необходимо для организации полноценного кормления сельскохозяйственных животных в каждой природно-экономической зоне нашей страны.

Достоянием науки кормления сельскохозяйственных животных последних лет является то, что при составлении рационов жвачным животным стали обращать внимание и на сахаро-протеиновое отношение.

Согласно литературным данным, нормирование сахарного питания имеет большое значение в увеличении молочной продуктивности и процента жира.

Результаты наших анализов по содержанию сахаров в кормах Азербайджана приведены в табл. 1. Как видно, содержание сахаров в кормах зависит от вида корма, фазы вегетации трав, при котором они высушены на сено, и сертификата комбикормов. При сравнении наших данных с литературными не исключаем влияние и зональности.

В целях обеспечения нормального течения обменных процессов учет наличия сахаров в рационе является важным фактором для составления полноценных рационов молочным коровам и быкам-производителям. По нашим исследованиям на 9 быках-производителях в Апшеронской ГПС (1965 г.—первая серия опыта) наличие в рационе (рацион: сено, хлопковая шелуха, свекла кормовая, морковь красная столовая, комбикорм) 11% кормовой свеклы от общей питательности рациона, при сахаро-протеиновом отношении 0,854 (129 г. переваримого протеина на 1 кормовую единицу и 0,5 мг каротина на 1 кг живого веса) оказалось положительное действие на усвоение каротина, снижение холестерина, улучшение семяпродукции, копытного рога, биохимического состава крови и общеклинического состояния быков-производителей.

Немаловажное значение в кормлении жвачных животных имеют витамины и микроэлементы.

Таблица 1

Содержание растворимых углеводов (сахаров, сахарозы, монозы)  
в кормах Азербайджана

№ п/п	Корма	Место произ- водства	Характеристика кормов	В натур. веще- стве сахара, г/кг	% воды	5	6
1	2	3	4	5	6		
1	Люцерна синяя туркестанская	Ашхерон-Говсаны	Третий укос, 1962 г. пользования, стебли и листья полуувядшие.	6,5	51,27		
2	Сено злаково-разнотравное	Алты-Агач Сумгантский район	Цвет буро-зеленый. Запах ароматный. Сено высокогорное (часть лесное, часть степное). Злаков—62%, разнотравья—3%, бобовых—1%. Фаза вегетации—цветение.	21,3	14		
3	Сено злаково-разнотравное	Кюрдамирский район	Цвет злаков соломенный, разнотравья—буро-зеленый. Злаков—72%, разнотравья—28% (много ромашки). Убрано в фазе цветения.	68,7	10,43		
4	Сено злаковое	Сарван-Удуллу	Цвет зелено-желтый, местами бурый. Злаков—98%, разнотравья—2%. Поздней уборки.	29,9	14		
5	Сено злаково-разнотравное	Алты-Агач	Цвет зелено-желтый (Злаки состоят из ячменя и овсянки)—злаков—80%, разнотравья—20%. Убрано поздно—фаза плодоношения.	33,8	14		
6	Сенная мука	Ждановский район	Цвет ярко-зеленый, без примеси песка. Запах сена.	22,5	11		
7	Шелуха хлопковая	Кировабад	—	2,40	14,6		
8	Солома ячменная	Ашхерон, совхоз Мамедлы	—	26,7	12		
9	Морковь столо- вая, красная	Ашхерон-Говсаны	—	25,6	93,01		
10	Секла кормовая	—	—	128,0	95,56		
11	Ботва столовой моркови	—	—	5,7	67,93		
12	Ботва кормовой свеклы	—	—	18,8	59,90		
13	Комбикорм № 1	Мелькомбинат № 1—комбикормовой цех (Баку-Зых)	Сертификат: отруби пшеничные—37%, кукуруза в початках—17%, горох—5%, ячмень—8,5%, шрот хлопковый—25% зерновой отход до 50%, мел—2%, соль—1%. В 1 кг к. е. 0,94, п. п.—0,192.	13,7	12,3		
14	Комбикорм № 2	2	Сертификат: отруби—45%, шрот хлопковый—25%, горох—10%, зерновой отход 70%—7%, кукуруза в початках—10%, мел—2%, соль—1%. В 1 кг к. е.—0,95, п. п.—0,193.	19,75	11,8		
15	Комбикорм № 3	—	Сертификат: Отруби—55%, белая обойная пыль—5%, горох—10%, ячмень—10%, зерновой отход до 50%—4%, кукурузные початки—13%, мел—2%, соль—1%. В 1 кг к. е. 0,95, п. п.—0,193. Микроэлементы—меди сернистая 182 г/т, йодистый калий—12 г/т.	11,00	12		

Окончание таблицы 1

1	2	3	4	5	6
16	Комбикорм № 4	—	Сертификат: Отруби—45%, шрот хлопковый—25%, ячмень—10%, горох—10%, кукуруза в початках—9%, соль—1%, мела—нет. Микроэлементы—меди купорос—18 г/т, кобальт углекислый—2,4 г/т. В 1 кг к. е. 0,95, п. п. 0,193, с. клетчатки—7,5, кислотность по вытяжке 2,8	19,0	12,3
17	Комбикорм № 5	—	Сертификат: Отруби—52%, шрот хлопковый—25%, горох—10%, зерновой отход—70%—10%, мел—2%, соль—1%, клетчатки—9%. В 1 кг к. е. 0,89, п. п. 0,209. Микроэлементы: йодистый калий—1 г/т, меди купорос—18 г/т, кобальт сернистый—2,4 г/т, железо—18 г/т.	3,15	11
18	Пивная дробина	Бакинский пивной з-д	—	5,0	74

Согласно нашим опытным данным на 9 быках-производителях (в Ашхер. ГПС 1965 г. 2 серия опыта), группа, получающая дополнительно к рациону (рацион: тот же, что в 1 серии опыта, только исключена свекла кормовая) витамин В<sub>12</sub> (из расчета 0,2 мг в сутки на голову), дала лучшую спермо-продукцию, а по накоплению витамина А в крови первое место занимала группа, получающая сернистый цинк (из расчета 0,5 мг на 1 кг живого веса). При этом сахаро-протеиновое отношение было 0,491, на 1 кормовую единицу приходилось 140 г переваримого протеина и 1 мг каротина на 1 кг живого веса.

Учитывая недостаточность всех микроэлементов в основных почвах республики (по А. Н. Гульханедову), опытные образцы наших кормов в его лаборатории были подвергнуты исследованиям на содержание микроэлементов (табл. 2). Как видно из табл. 2, наиболее удачным по содержанию микроэлементов является комбикорм № 3. Все образцы сена и хлопковая шелуха бедны микроэлементами.

Важное значение имеет и наличие общего количества нитратов в кормах республики.

По литературным данным, в желудке жвачных нитраты преобразуются в ядовитые нитриты и всасываются в кровь. Под воздействием большого количества нитратов нарушается кислородный баланс организма, поскольку нитриты связывают свободный кислород крови. В этом и состоит природа нитратного отравления животных, что вызывает неблагополучные отёлы, снижение удоев и нередко приводит к падежу животных. По имеющимся литературным данным наличие нитратов в общем рационе свыше 0,5% может вызвать отравление и при уровне нитратов в рационе в количестве 5 мг на 1 кг корма содержащиеся в организме животных витамины А, Д и Е инактивируются.

Как видно из данных табл. 3, содержание нитратов в кормах Азербайджана не вызывает опасения для животных. Однако, учитывая связь нитратов с каротином, мы исследовали эти же образцы кормов на содержание каротина. Оказалось, что сено и солома очень бедны каротином (4,11—2,27 мг/кг). В хлопковой шелухе еще мень-

Содержание микроэлементов в кормах  
Азербайджана (мг/кг воздушно-сухого вещества)

Таблица 2

№ п/п	Корма**	Микроэлементы						
		В	Mn	Cu	Mo	Zn	Co	J
1	Морковь столовая красная	24,8	8,4*	2,13*	0,48**	23,6	0,08*	0,2—0,3*
2	Свекла кормовая	22,4*	28,5	16,2*	3,1*	10—12,4*	0,42*	0,75*
3	Ботва столовой красной моркови	30,2	12—16*	2,8*	0,52*	26,5	0,1*	0,3*
4	Ботва кормовой свеклы	38,8	69,8	18,2	4,2*	18—26*	0,8*	1,5*
5	Комбикорм № 1	31,3	16,4*	1,3*	0,8*	20,8*	0,3*	0,08*
6	Комбикорм № 2	29,6	18,2*	1,4*	0,6*	18,5*	0,4*	0,16*
7	Комбикорм № 3	24,6*	31,2	8,6	0,51*	31,3	3,2	0,63
8	Сено злаково-разнотравное (Сумгант)	19,6*	4,6*	1,3*	0,32*	20,5*	0,05*	0,16—0,2*
9	Сено злаково-разнотравное (Кюрдамир)	21,2*	4,2*	1,6*	0,28*	19,6*	0,06*	0,16—0,2*
10	Шелуха хлопковая (Кировабад)	12,8*	1,5*	0,2*	0,13*	8,5	0,04*	0,05—0,08*

\*—означает бедность кормов микроэлементами.

\*\*—Характеристика кормов и содержание сахаров, процент воды даны в табл. 1.

Таблица 3

Содержание нитратов в кормах Азербайджана

№ п/п	Корма*	В воздушно-сухом веществе		В натуральном веществе	
		мг/кг	мг/кг	мг/кг	мг/кг
1	Люцерна синяя туркестанская (Ашерон—Говсаны)	1,6		0,078	
2	Сено злаково-разнотравное (Сумгант)	0,4		0,035	
3	Сено злаково-разнотравное (Кюрдамир)	0,16		0,014	
4	Сено злаково-разнотравное (Алты-Агач)	0,4		0,034	
5	Сено злаковое (Сарван-Удуллу).	0,16		0,014	
6	Сенная мука (Ждановский район)	0,08		0,007	
7	Шелуха хлопковая (Кировабад)	0,8		0,068	
8	Солома ячменная (Ашерон—совхоз Мамедлы)	0,4		0,035	
9	Морковь столовая красная (Ашерон—Говсаны)		Следы		Следы
10	Свекла кормовая (Ашерон—Говсаны)	0,08		0,0004	
11	Ботва столовой моркови (Ашерон—Говсаны)	0,8		0,025	
12	Ботва кормовой свеклы (Ашерон—Говсаны)	0,16		0,006	
13	Комбикорм № 1	Мелькомбинат	0,4	0,0353	
14	№ 2	№ 1, комбикор-	0,4	0,0353	
15	№ 3	мовой цех	0,4	0,0352	
16	№ 4	(Баку—Зых)	0,4	0,0351	
17	№ 5		0,08	0,0071	
18	Пивная дробина (Бакинский пивной завод—Зых)		0,08	0,0020	

\* Характеристику кормов и содержание сахаров, % воды см. в табл. 1.

ше (0,55 мг/кг), а в свекле кормовой его вовсе не содержится. Так же бедны каротином комбикорма и пивная дробина (1—2 мг/кг). Наиболее богаты каротином морковь красная, столовая (69,44 мг/кг), ее ботва (49,34 мг/кг), люцерна синяя туркестанская (38,48 мг/кг) и особенно сенная мука.

При вышеуказанной бедности каротином хлопковой шелухи, сена, соломы, комбикормов и сравнительно высоком содержании нитратов в этих же кормах, при одностороннем кормлении, коэффициент использования каротина животными будет снижаться, так как нитраты кормов будут тормозить активность каротиназы.

Учитывая, что сернокислый цинк повышает активность каротиназы (в нашем опыте с племенными быками-производителями включение сернокислого цинка повысило накопление витамина А на 70%) при составлении полноценных рационов сельскохозяйственным животным в условиях Азербайджана необходимо включить в рационы молочного скота и быков-производителей сернокислый цинк.

Сельскохозяйственный институт

Поступило 11. I 1966

Д. И. Муганлинская

Азэрбајҹаның јемләриндә шækәrlәrin, микроэлементләrin, нитратларын, каротинин тәркиби вә кәнд тәсәрүүфаты һөјвандары үчүн там гијмәтли јемләмә тәшкىл едәркән онларын һесаба алымасының зәрурилији

#### ХУЛАСЭ

Тәдгигатларымыз көстәрмишdir ки, јем чуғундуру шækәrlәr илэ чох зәнкиндир (1-чи чәдвәл). 9 төрәдичи буга үзәриндә апардығымыз (1965-чи ил) тәчрүбәләrin нәтичәсүндән айдын олду ки, јем пајынын үмуми гидалылығынын 11%-и јем чуғундуру илэ әвәз едиләрсә, онларын тохуму кејфијјэт вә кәмијјэтчә, гапларының биокимјеви тәркиби, дырнаглары вә үмуми клиники вәзијјэтләри јашылашараq каротинин мәнимсәнмә дәрәчәси артар. Муажинә едилмиш јем нүмүнәләринин әкәсәријјэтинде микроэлементләр чох аз олдуғу үчүн (2-чи чәдвәл) һөјвандарын јем пајына бунларын әлавә едилмәсі тәләб олунур (хүсусән синк). Һәмин 9 буга үзәриндә (1965-чи ил) апардығымыз иккичи дәфәки тәчрүбәләрдән белә нәтичәjә кәлдик ки, B<sub>12</sub> витаминин алан група иисбәтән синк алан груп A витамининин мәнимсәнилмәсүндә (70%) даһа фәлдыр.

Муажинә етдијимиз јемләrin тәркибинде нитратларын аз олмасы (3-чу чәдвәл) һөјвандары тәһлүкә төрәтмір. Бу тәһлүкә анчаг биртәрәфли јемләмә нәтичәсүндә мушанидә едилә биләр.

## МЕЛИОРАЦИЯ ПОЧВ

Ш. Г. ТАИРОВ

## ИССЛЕДОВАНИЕ ВЫЩЕЛАЧИВАНИЯ СОЛЕЙ ПРИ РАЗНЫХ ПРОМЫВНЫХ НОРМАХ В УСЛОВИЯХ СЕВЕРНОЙ МУГАНИ (МЕТОДОМ МАЛЫХ ДЕЛЯНОК)\*

(Представлено академиком АН Азербайджанской ССР В. Р. Волобуевым)

Промывка засоленных земель большими нормами воды на фоне глубокого и мелкого дренажа изучалась многими исследователями (В. М. Легостаев, А. А. Шошин, И. С. Рабочев, В. Р. Волобуев, Н. С. Бесединов, Костяков, В. М. Стец, Э. С. Варунцян и др.). Некоторые опыты промывки с применением больших норм проводились даже в бездренажных условиях, например, в Средней Азии и Мугани, при этом достигалось опреснение почво-грунтов и грунтовых вод на различные глубины. Понятно, что промывной эффект зависит как от нормы полива, так и от многих других факторов, в частности от сложения и механического состава почв, степени засоленности их, солевого состава, влажности почв, глубины залегания грунтовых вод, степени их минерализации и др. Все эти факторы в той или иной мере влияют на эффективность промывных норм.

Интересным является эффект применения больших норм воды при непрерывной промывке. Для выявления промывного эффекта при применении больших норм воды, нами проведен опыт промывки почв методом малых делянок с дифференцированной нормой из расчета: 3000, 5000, 10 000, 20 000, 30 000, 40 000  $\text{м}^3/\text{га}$ .

Опыты проводились в начале октября 1963 года на территории Покровского ключевого участка Северной Мугани. Площадка с делянками была расположена на расстоянии 150 м от глубокой дрены. Общий уклон участка с севера на юг. Микрорельеф местности довольно пестрый. Растительность представлена сочными солянками и единичными кустами тамариска. Почва сероземно-луговая, солончаковая, формирующаяся на суглинистых и глинистых аллювиальных с мешанных отложениях Куры и Аракса. Механический состав почво-грунтов исследуемого участка довольно разнообразен: содержание физической глины по всему профилю колеблется в пределах от 37,3

\* Выполнено в почвенно-мелиоративной лаборатории Института почвоведения и агрономии АН Азерб. ССР.

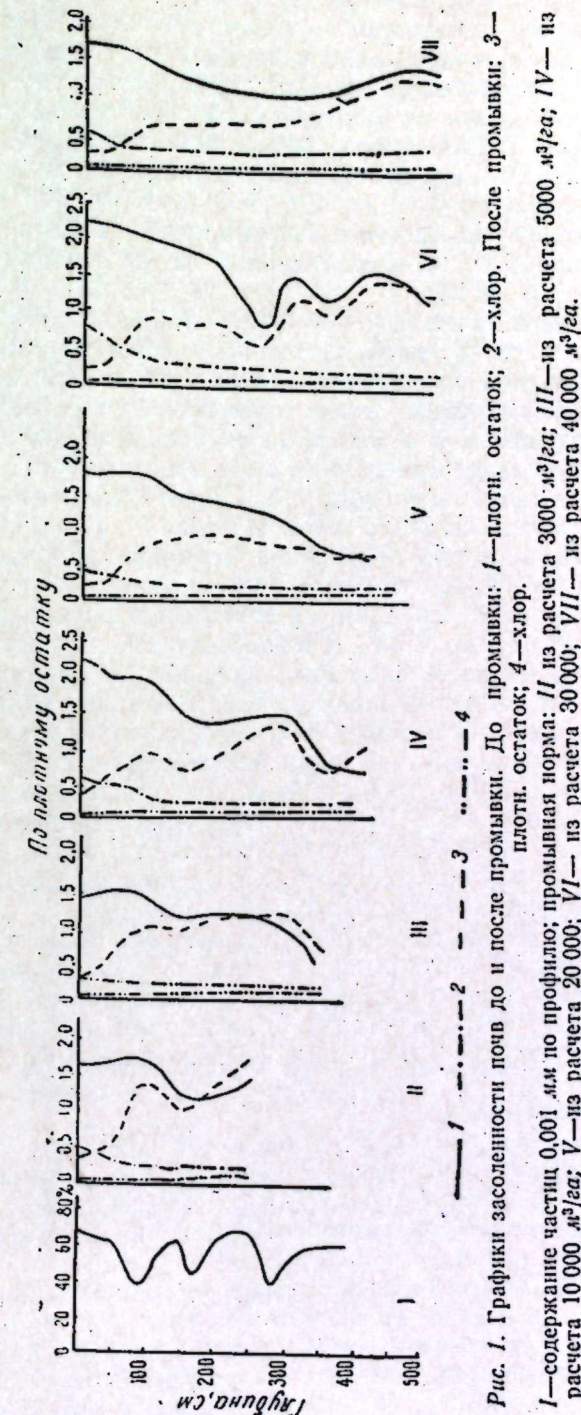


Рис. 1. Графики засоленности почв до и после промывки. До промывки: 1—плотн. остаток; 2—хлор. После промывки: 3—плотн. остаток; 4—хлор. I—содержание частиц 0,001 мм по профилю; промывная норма: II—из расчета 3000  $\text{м}^3/\text{га}$ ; III—из расчета 5000  $\text{м}^3/\text{га}$ ; IV—из расчета 10 000  $\text{м}^3/\text{га}$ ; V—из расчета 20 000; VI—из расчета 30 000; VII—из расчета 40 000  $\text{м}^3/\text{га}$ .

до 73%, а содержание илистой фракции от 8,7 до 41% (рис. 1). Грунтовые воды до промывки залегали неглубоко от поверхности земли (150—170 см), минерализация их колебалась в пределах 7,0—14,0 г/л, в том числе хлора — 1,5—2,0 г/л.

Засоление почв исследуемого участка довольно разнообразно и неравномерно. Содержание солей в верхнем слое (25 см) изменяется от 1,5 до 2,1% по плотному остатку при снижении с глубиной до 1,0%, содержание хлора от 0,33 до 0,65%. В солевом составе верхнего полуметрового слоя почвы среди ионов преобладает хлор, а в нижележащих слоях — ион сульфатов. Из катионов во всех случаях преобладает ион натрия.

Для проведения опыта описываемый участок был разбит на 12 делянок размером 5×5 м, находящихся на расстоянии более 10 м друг от друга.

Каждый вариант опыта по величине промывной нормы проводился в двух повторностях. Степень засоленности почв делянок до и после промывок выявлялась средними данными из этих повторностей.

Результаты проведенных нами промывок от минимальной нормы 3000 м<sup>3</sup>/га до максимальной 40000 м<sup>3</sup>/га показали, что при всех случаях более интенсивное рассоление почв происходит в верхних слоях почвы. По мере увеличения нормы промывной воды опрессенение почв проникает и в более глубокие слои. Из рис. 1 видно, что при минимальной промывной норме опрессенение верхнего метрового слоя составило по плотному остатку 51% от исходного засоления, хлора при этом вымыто 81%. Средняя же величина опрессенения слоя 100—150 см составила только 8,3%, а в более глубоких слоях (150—200 см и глубже) отмечено даже некоторое увеличение содержание солей, очевидно, за счет вышелоченных из вышележащих толщи.

При подаче воды из расчета 5000 м<sup>3</sup>/га наиболее выраженное опрессенение почв охватывает уже слой больше 150 см. Здесь величина опрессенения составляет в среднем 48% от допромывного состояния и в том числе хлора — 85%. Среднее рассоление трехметрового слоя почво-грунтов составляет 30% от исходного засоления, хлор уменьшился до 61% от исходного. Ниже 200 см процесс рассоления почти затухает и отмечается некоторое соленакопление.

В следующем варианте опыта, с промывной нормой из расчета 10000 м<sup>3</sup>/га опрессенение развивается еще глубже. В данном случае общее содержание солей в слое 350 см уменьшилось по плотному остатку на 31,4%, а хлора — 53,2% от исходного засоления. Трехметровая толща опрессенилась в среднем на 44% против исходного, в том числе по хлору на 71%. В слое 350—400 см, наоборот, наблюдается некоторое соленакопление.

При подаче воды 20000 м<sup>3</sup> опрессенение в верхних слоях развивается довольно заметно, однако общий эффект от применения столь больших норм значительно снижается. Так, например, сопоставляя результаты опрессенения трехметрового слоя при норме 20000 м<sup>3</sup> с результатами предыдущей нормы (10000 м<sup>3</sup>), видно, что степень опрессенения при подаче последней нормы увеличилась лишь на 5%, а при промывке нормой 30000 м<sup>3</sup>, хотя рассоление почво-грунтов развивается в более глубоких слоях, однако, как и при предыдущей норме (20000 м<sup>3</sup>), эффект опрессенения резко снижается.

Величина опрессенения трехметрового слоя в среднем составляет 51%, хлора — 75%. Почти такие же результаты получены при применении последующей нормы (40000 м<sup>3</sup>). Сопоставив результаты опрессенения в наших опытах по варианту максимальной нормы (40000 м<sup>3</sup>) воды с результатами, полученными по другим нормам, выясняем, что

эффект от самой большой нормы (40000 м<sup>3</sup>) в 2,6 раза больше, чем при промывке минимальной нормой (3000 м<sup>3</sup>), в 2,2 раза больше при сравнении со второй (5000 м<sup>3</sup>), 1,3 раза — с третьей (10000 м<sup>3</sup>), 1,1 раза — с четвертой (20000 м<sup>3</sup>) и в 1,03 раза больше по сравнению с пятой нормой (30000 м<sup>3</sup>) или эффект по ним почти одинаков. Однако количество воды при этом увеличилось против первого варианта более чем в 13 раз, против второго — в 8, против третьего — в 4, против четвертого — в 2 и пятого — в 1,3 раза.

Зависимость глубины опрессенения от промывной нормы также вначале выражена более заметно (рис. 1). При применении же больших норм степень опрессенения почво-грунтов ниже 2 м глубины относительно резко уменьшается. Автор полагает, что это, возможно, связано с явлением неглубокого залегания грунтовых вод на исследуемом участке, которые до промывки залегали на глубине всего 150 см от поверхности земли, что резко влияло на опрессенение почво-грунтов нижележащих слоев.

На необходимость изменения промывных норм в зависимости от глубины грунтовых вод указывали Б. Р. Федоров, Малахов (1933), Беспалов (1939), И. Ф. Музичук (1936), В. Р. Волобуев (1948).

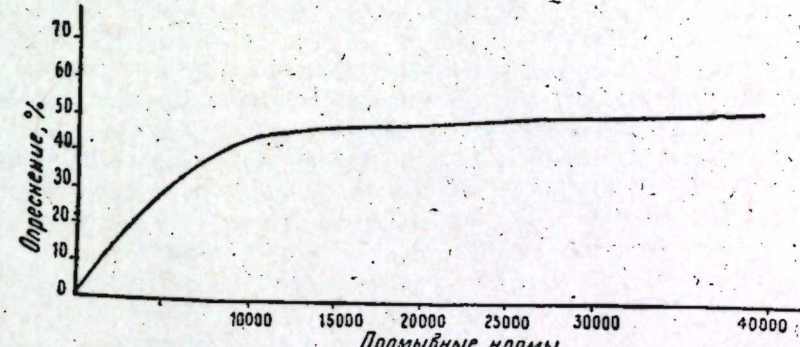


Рис. 2. Кривая опрессенения трехметрового слоя почво-грунтов.

Почвы исследуемого участка пестрослоистого сложения. Механический состав почво-грунтов по профилю до глубины 5 м колеблется по отдельным горизонтам от супеси до тяжелых глин.

При этом подаваемое количество воды в почвы, по-видимому, полностью не просачивается по вертикали, значительная часть их растекается в сторону в горизонтах с легким механическим составом, чем и можно объяснить низкий эффект рассоления в нижележащих грунтах. Это явление особенно явно может быть выражено при промывке на малых делянках.

В итоге можно прийти к выводу, что с увеличением промывной нормы воды последовательно возрастает также и глубина опрессенения почво-грунтов, более интенсивна она с увеличением промывной нормы до величины 10000 м<sup>3</sup>/га.

#### ЛИТЕРАТУРА

1. Волобуев В. Р. О вопросах классификации засоленных почв. ДАН Азерб ССР, 1951, т. VII. 2. Волобуев В. Р. Промывка засоленных почв. Азернешир, 1948. 3. Волобуев В. Р. О некоторых вопросах мелиоративного районирования. ДАН Азерб. ССР, 1951, т. VII. 4. Музичук Д. Ф. Скорость вымывания солей в зависимости от фильтрационного свойства почвы. Сб. авторефератов ВИУАА за 1932—1934 гг., 1936.

Институт почвоведения  
и агрохимии

Поступило 26. V 1966

## Шоран торпагларын мұхтәлиф су нормалары илә јујулмасы

## ХҮЛАСӘ

Шоран торпагларын јујулма тәчрүбә ишләри Шимали Мұғанда Покровка мелиоратив саһәси әразисинде ики тәккәрлә алты варианта апарылышдыр. Һәр бир ләкин саһәси 25  $m^2$ -э бәрабәр иди.

I вариантда 3000  $m^3/ha$ , II-дә 5000, III-дә 10000, IV-дә 20000, V-дә 30000, VI варианта исә 40000  $m^3/ha$  су нормасы верилшишdir. Тәчрүбәләрин иәтичеси көстәрди ки, шоран торпагларын јујулмасында су нормаларыны ардычыл сурәтдә артырдыгда дузларын јујулма дәрәчеси дә торпаг профили бою артыр. Мәсәлән, 3000  $m^3/ha$  су нормасы верилшиш торпагларда јујулма тә'сири 1,5 м-дән дәринә кетмәмишdir. 40000  $m^3/ha$  су илә јујулмуш торпагларда бу тә'сири 5 м-дән дәрин гатлара чатмышдыр. Анчаг су нормасыны ардычыл сурәтдә артырдыгда она мұвағиғ јујулмуш дузларын мигдары арасында бөйүк фәрг нәзәрәр чарпыры. Белә ки, 3000  $m^3/ha$  су нормасы илә јујулдуғда јујулмадан әввәл торпагда олан дузларын мигдарына нисбәтән 15%, 5000  $m^3/ha$ -да 23%, 10000  $m^3/ha$ -да 40%, 20000  $m^3/ha$ -да 45%, 30000  $m^3/ha$ -да 48,5% вә 40000  $m^3/ha$ -да 51,3% азалмышдыр. Көрүндүү кими, верилшиш су нормалары арасындағы фәрг илә јујулмуш дузларын арасындағы фәрг гејри-мүтәнасиб сурәтдә артыр. Айдан олмуштур ки, йума нормаларыны ардычыл сурәтдә артырдыгда 10000  $m^3/ha$  су нормасына гәдәр јујулмуш дузларын мигдары уйғун оларға артыр, анчаг бу су нормасындан (40000  $m^3$ -дән) јухары сујун йума тә'сири тәдричән азалыр.

М. Г. АБУТАЛЫБОВ, Н. Б. ВЕЗИРОВА

ОБ УЧАСТИИ МЕДЬСОДЕРЖАЩИХ ФЕРМЕНТОВ  
В ОКИСЛИТЕЛЬНЫХ ПРОЦЕССАХ ПРОВОДЯЩИХ  
ТКАНЕЙ

Передвижение веществ из листьев в другие органы растений, как известно, происходит в основном по коре, где сосредоточены живые элементы флоэмы, и оно тесно связано с процессом дыхания и активностью оксидазных ферментов.

В энергетических процессах проводящих пучков большую роль отводят оксидазным системам, особенно цитохромоксидазной [5]. Это отчасти может быть связано с тем, что цитохромная система играет большую роль в процессе фосфорилирования [6, 9].

Роль других оксидаз в энергетических процессах, происходящих в проводящих путях, изучена весьма слабо, и до настоящего времени им не придают серьезного значения, хотя эти ферменты могут принять определенное участие в общем балансе окислительных процессов проводящих тканей [1, 2].

Многочисленными исследованиями показано наличие большого набора окислительно-восстановительных ферментов в проводящих пучках [3, 4, 5, 7].

Сказанное вполне выдвигает необходимость изучения роли не только цитохромоксидазной системы, но также и других окислительных систем, в частности медьсодержащих ферментов, в энергетических процессах, протекающих в проводящих путях.

При изучении указанных процессов весьма удобными объектами являются растения, из стебля и черешков листьев которых легко отделяют проводящие пучки, и растения, у которых кора, где расположены проводящие элементы флоэмы, хорошо разграничиваются древесиной и легко отделяется от нее. Учитывая это, мы в своих опытах использовали подорожник (*Plantago major*), артишок (*Cynara cardunculus*), хлопчатник (сорт 12/98), баклажан (сорт длинный фиолетовый) и ясень (*Fraxinus oxycarpa*).

В этих опытах интенсивность дыхания и активность ферментов в тканях растений определяли манометрическим методом в аппарате Варбурга.

Активность медьсодержащих ферментов, а также их участие в процессе дыхания определялась путем выключения их из общей окисли-

тельной системы подавлением деятельности этих ферментов соответствующими ингибиторами. С целью подавления деятельности медьсодержащих ферментов применяли раствор диэтилдитиокарбомата натрия. Для этой цели отрезки исследуемой ткани помещали в течение 20 мин 1/15 молярный раствор диэтилдитиокарбомата натрия и через 20 мин после выдерживания ткани в растворе ингибитора в ней определяли интенсивность дыхания и активность ферментов, которые измеряли в течение 30—60 мин. Контролем служили пробы, выдержаные в дистиллированной воде.

Обычно подавление деятельности какой-либо окислительной системы путем применения различных ядов не останавливает полностью дыхание. Этот процесс продолжает идти за счет окислительных ферментов другой системы.

В табл. 1 приводятся данные, характеризующие интенсивность дыхания и активность цитохромоксидазы в проводящей ткани подорожника и артишока.

Таблица 1

Растение	Количество поглощенного кислорода в мкл на 1 г сухого вещ-ва за 1 ч	
	Дыхание	Цитохромоксидаза
Проводящая ткань подорожника	548,2	116,4
Проводящая ткань артишока	795,3	119,6

Из данных таблицы видно, что в проводящей системе небольшая часть кислорода, поглощенного в процессе дыхания, обеспечивается цитохромоксидазой, остальная же часть, по-видимому, другими окислительными ферментами.

Для проверки участия различных ферментов в процессе дыхания проводящей ткани в фазе начала бутонизации и цветения хлопчатника на разных участках коры осевого стебля наряду с определением активности цитохромоксидазы определяли также и активность полифенолоксидазы (табл. 2).

Таблица 2

Части коры	Количество поглощенного кислорода в мкл на 1 г сух. вещ-ва за 30 мин					
	Дыхание		Цитохромоксидаза		Полифенолоксидаза	
	Начало бутон.	Начало цветен.	Начало бутон.	Начало цветен.	Начало бутон.	Начало цветен.
Верхняя	689	550	78,6	73,4	72,5	42,0
Средняя	593	480	68,2	37,0	25,4	21,7
Нижняя	553	418	52,7	22,0	28,5	19,6

Как показывают данные, приведенные в таблице, интенсивность дыхания и активность окислительных ферментов как в начале бутонизации, так и в начале цветения заметно уменьшается в направлении сверху вниз. Причем, в фазе начала бутонизации активность цитохро-

моксидазы и полифенолоксидазы почти одинакова в более молодых верхних частях коры, в то время как в средних и нижних частях коры стебля активность цитохромоксидазы значительно превышает активность полифенолоксидазы. Это происходит в результате более интенсивного падения активности последней. В период начала цветения активность цитохромоксидазы в верхних частях остается на прежнем уровне, тогда как активность полифенолоксидазы существенно снижается. В этой фазе активность цитохромоксидазы во всех частях коры преобладает над активностью полифенолоксидазы. Другим важным моментом, обращающим на себя внимание, является то, что активность цитохромоксидазы в период начала цветения по сравнению с ранней фазой, снижается только в средней и нижней частях коры, тогда как активность полифенолоксидазы снижается во всех частях коры стебля. Данные, приведенные в табл. 2, ясно показывают, что медьсодержащие ферменты, в том числе и полифенолоксидаза, играют важную роль в процессе дыхания. Причем, доля участия полифенолоксидазы в процессе дыхания и активность этого фермента в сильной степени зависят от фазы развития растений и от возраста отдельных органов. Выявив столь важное значение полифенолоксидазы в системе окислительных процессов, мы решили заняться изучением роли медьсодержащих ферментов в целом.

При этом пользовались методом ингибирования активности медьсодержащих ферментов раствором диэтилдитиокарбомата натрия. Опыты проводились на коре, снятой с различных участков стеблей баклажанов, находящихся в фазе цветения.

Полученные данные приводятся в табл. 3.

Таблица 3

Части коры	Количество поглощенного кислорода, мкл на 1 г сух. вещ. за 30 мин					
	Дыхание		Цитохромоксидаза		Медьсодержащие ферменты	
	Вода	Ингибитор	Вода	Ингибитор	Вода	Ингибитор
Верхняя	937,2	569,8	340,0	340,2	15,3	7,2
Средняя	785,0	579,9	347,6	325,0	7,7	3,4
Нижняя	770,0	400,3	314,0	292,4	6,2	4,3

Следует отметить, что в отличие от коры хлопчатника, где была отмечена высокая активность как цитохромоксидазы, так и полифенолоксидазы, в коре баклажана функционирует очень активно цитохромоксидаза и слабо—медьсодержащие ферменты. Это, по-видимому, связано не только с биологической особенностью баклажанов, но также и с возрастом исследуемой ткани. Далее видно, что под действием диэтилдитиокарбомата натрия снижение наблюдалось в основном в интенсивности дыхания и активности медьсодержащих ферментов. В то время как в деятельности цитохромоксидазы существенного изменения не обнаруживалось.

Установив в опытах с хлопчатником и баклажаном функционирование в их коре медьсодержащих ферментов, мы задались целью проверить этот факт на коре других растений. Для этой цели опыты проводились на коре, снятой с разных участков стебля годового посева ясения.

Таблица 4

Части коры	Количество поглощенного кислорода, мкл на 1 г сух. вещ. за 30 мин					
	Дыхание		Цитохромоксидаза		Медьсодержащие ферменты	
	Вода	Ингибитор	Вода	Ингибитор	Вода	Ингибитор
Верхняя	1674	804	55,8	55,2	25,6	2,9
Средняя	943,6	517	54,9	56,4	18,8	6,2
Нижняя	831,7	445	44,4	45,9	14,8	3,0

Из приведенных данных видно, что интенсивность дыхания и активность меди содержащих ферментов в различных зонах коры аналогично опытам с хлопчатником и баклажаном снижается сверху вниз. Тогда как цитохромоксидаза во всех частях коры годичного посыпка ясения снижается значительно меньше. Ослабление интенсивности дыхания под влиянием ингибитора и в опытах с ясением также не зависило от активности цитохромной системы. Ингибитор подавлял активность только меди содержащих ферментов и этим самым снижал интенсивность дыхания. Более интенсивное падение активности меди содержащих ферментов по сравнению с цитохромоксидазой системой по мере старения растений показывает, что последняя является более стабильной, в то время как меди содержащие ферменты активно участвуют в процессе дыхания в определенные периоды развития растений. Меди содержащие ферменты активно участвуют в процессе дыхания наравне с цитохромоксидазой системой в ранних фазах развития, по мере старения растений значение этих ферментов снижается, и в этом процессе основная роль падает на цитохромоксидазу.

На основе вышеизложенных данных можно сделать следующие выводы:

1. Наряду с цитохромоксидазой меди содержащие ферменты принимают определенное участие в окислительных процессах проводящей системы.

2. Интенсивность дыхания, активность цитохромоксидазы и меди содержащих ферментов с возрастом растений снижается.

3. Снижение активности ферментов и интенсивности дыхания по мере старения растений больше всего выражается в изменении активности меди содержащих ферментов.

#### ЛИТЕРАТУРА

1. Абуталыбов М. Г., Алиев Д. А., Абдиева Р. О механизме действия микроэлементов на передвижение веществ в растительном организме. Труды Ин-та ботаники, т. 25, 1965.
2. Абуталыбов М. Г., Вәзирова Н. Б. О деятельности некоторых ферментов дыхания проводящих тканей растений, № , 1967.
3. Курсанов А. Л. Движение органических веществ в растениях. Бот. ж., т. XXXVII, 5, 1952.
4. Курсанов А. Л., Павлинова О. А., Афанасьевна Т. П. Ферменты гликозидаз проводящих тканей сахарной свеклы. „Ж. физ. раст.“, т. 6, вып. 3, 1959.
5. Курсанов А. Л., Туркина М. В. Дыхание сосудисто-волокнистых пучков. „ДАН СССР“, 1952, т. 34, 5, 6. Слейтер Э., Хюльсман У. Регуляция внутриклеточного дыхания. В сб. „Регуляция клеточного обмена“. ИЛ, 1932.
7. Туркина М. В. Превращение сахарозы в сосудисто-волокнистых пучках сахарной свеклы. „Ж. физ. раст.“, т. 6, вып. 6, 1959.
8. Туркина М. В., Дубинина И. М. Некоторые особенности дыхательной системы сосудисто-волокнистых пучков. „ДАН СССР“, т. 45, 1, 1954.
9. Чанс Б. Количественная сторона регуляции дыхания в сб. „Регуляция клеточного обмена“. ИЛ, 1962.

Институт ботаники

М. Н. Абуталыбов, Н. Вәзирова

#### Кечиричи тохумаларда оксидләшмә просесләрindә мисли ферментләрин иштиракы

##### ХУЛАСЭ

Элдә олан әдәбијјат мә'лumatлары кечиричи тохумаларын йүксәк фәалијјэтә малик вә башга тохумалара иисбәтән ферментләрлә даһа зәнкин олдуғуну, тәнәффүс просесиниң бу тохумаларда интенсив сурәтдә кетдијини көстәрир. Кечиричи тохумаларда оксидләшдиричи ферментләрдән хүсусилә ситохромоксидазаның бөյүк әһәмијјэтә малик олдуғу исbat едилмишdir. Лакин оксидләшдиричи ферментләрдән мисли оксидләшдиричи ферментләрин вә о чүмләдән дә полифенолоксидазаның бу тохумаларда ролу лазымынча изаһ олунмамышдыр. Мисли оксидләшдиричи ферментләрин кечиричи тохумаларда аз өјрәнилмәснин нәзэрә алараг, һәмни ферментләрин фәалијјэтинин өјрәнилмәснин гаршымыза мәгсәд ғојдуг. Биткиләрни габыгларында вә көвдәдән айрыммыш кечиричи тохумаларында мисли оксидләшдиричи ферментләрин фәаллығыны өјрәнмәклә бәрабәр, һәмни һиссәләрдә ситохромоксидазаның фәаллығы вә тәнәффүс просеси өјрәнилмишdir.

Бу саһәдә апарылан тәчрүбәләрдән айдын олушдур ки, биткиләрнин чаван органларында ситохромоксидаза системи илә бирликдә мисли ферментләр дә бөйүк рол ојнаыр. Диетилдитиокарбоматиатриум мәннелуу васитәсилә мисли ферментләрни фәалијјэтдән салмагла, чаван органларын кечиричи тохумаларында тәнәффүсү ики дәфәјә гәдәр ашағы салмаг мүмкүндүр. Биткиләр гоچалдыгча кечиричи тохумаларда мисли ферментләрни фәалијјэтдән душур вә тәнәффүс просесиндә оксидләшмә реакцијалары әсасән ситохромоксидаза системи тәрәфиндән тә'мин олунур.

## РАСТЕНИЕВОДСТВО

Г. Г. ДАДАШЕВ

## О ВОЗМОЖНОСТИ СОЗДАНИЯ КУЛЬТУР ХУРМЫ ПОСЕВОМ.

(Представлено академиком АН Азербайджанской ССР И. К. Абдуллаевым)

Опыт разведения хурмы обыкновенной в низменностях Азербайджана, а также и наши опыты показали, что приживаемость хурмы при пересадке на постоянное место на лесокультурной площади составляет не более 70%. Причиной является корневая система, которая характеризуется резко выраженным глубоким ветвящимся стержневым корнем с небольшим количеством корневых мочек. Боковые ответвления сильно обламываются, это приводит к тому, что при выкопке боковые корни и мочки легко ломаются и выкопанная корневая система представляет собой почти голый стержневой корень. Кроме того, корневая система ее отличается низкой способностью к регенерации. Все эти морфологические и биологические особенности объясняют низкую приживаемость хурмы при пересадках.

В производственных питомниках (Акстафинском, Таузском, Шамхорском и Сабирabadском) даже при мульчировании посевов семена имеют грунтовую всхожесть обычно не более 60%; из этого количества в летние жаркие месяцы происходит отпад всходов, достигающий не менее 20%; таким образом, выход растений в питомниках обычно не превышает 20–30%, или, иначе говоря, формируется одно растение из 5 семян, причем это в лучшем случае. Поэтому отыскание способа посева семян на постоянное место, чтобы было возможно в каждой лунке получать одно растение из 5–10 штук семян, является перспективным, тем более, что посевые растения растут быстрее и более зимостойки. Нами были поставлены опыты по посеву семян хурмы обыкновенной на постоянное место. Семена вывезены из Ленкоранского района и высевались на постоянное место без предварительной обработки.

Опыт проводился осенью 1964 г. на площади 0,5 га (г. Барда, Азербайджанская ССР). Рельеф участка ровный, высота над уровнем моря 76 м. Площадь участка раньше использовалась под сельскохозяйственные культуры. Почва сероземного типа, вспахивается трактором ДТ-54 и плугом П-3-35 на глубину 27–30 см. Посев производился в лунки, которые разрыхлялись кетменем. Семена высевались в каждую лунку по 3–5–8 штук и заделывались на глубину 5–7 см; полив

производился в первые месяцы через каждые 3–4 дня после всходов, а затем полив производился через каждые 10 дней.

Результаты опытов показаны в таблице.

Дата учета	Количество семян в лунке	Количество всходов в лунках								Итого лунок со всходами	Итого всходов	Излишек или недостаток сеянцев
		0	1	2	3	4	5	6	7			
03. VI 1965	3	107	170	13	10	—	—	—	—	300	193	226
	%	35,7	56,7	4,3	3,3	—	—	—	—	100,0	64,3	-74
	5	76	105	39	21	22	37	—	—	300	224	519
	%	25,3	35	13	7	7,3	13,4	—	—	100,0	73,7	—
	8	48	122	29	19	13	17	11	16	25	300	252
	%	16	40,7	9,7	6,3	4,3	5,7	3,7	5,3	8,3	100,0	84
	120	165	9	6	—	—	—	—	—	300	180	201
	%	40	55	3	2	—	—	—	—	—	60	100,0
15. IX 1965	5	87	99	35	20	22	37	—	—	300	213	502
	%	29	33	11,7	6,7	7,3	12,3	—	—	100,0	71	—
	8	9	119	66	73	8	9	5	6	5	300	291
	%	3	38,7	22	24,3	2,7	3	1,7	2	1,6	100,0	97

Из таблицы видно, что во всех сериях посевов имеются лунки без всходов и лунки, где всходов слишком много. При таких условиях становится возможным дополнять культуры перенесением излишних всходов в пустые лунки. Сделать это можно в первой половине лета. Произведенная нами пересадка растений хурмы (15.VI 1965 г.), имеющих 2–3 настоящих листочка, в пасмурную погоду при следующем обильном дожде, дала хорошие результаты. Средняя высота 0,72 см при приживаемости 82,5%.

В случаях таких пересадок обязателен полив. Это работа не требует много времени. В наших опытах на данную работу всего требовалась (для пересадки 48 всходов) 45 мин. Необходимо при этом, чтобы всходов на участке было больше, чем пустых лунок. Из июньского учета видно, что при высеве в лунку трех семян образовалась 36% пустых лунок, для заполнения которых всходов не хватает. Указанные пустые лунки получились из высеванных 3 семян, 2 семени не проросли, а одно из них даже не проросло. При высеве в лунку пяти семян из пустых лунок оказалось 25%, излишними всходами из других лунок можно заполнить пустые не полностью. Брать всходы можно лишь из лунок, имеющих не менее 4–5 штук всходов, чтобы из оставшихся 2–3 всходов с учетом дополнительного отпада в лунке сохранилось до конца года хотя бы одно растение.

В таком случае возможно набрать на посадку только всходов на 59 лунок (по 2–3 всхода в пустую лунку), значит, нам опять-таки не удастся покрыть недостачу за счет лунок со всходами.

При посеве 8 семян в лунку без всходов оказалось 16% лунок пустых. В этом случае имеется возможность из лунок с 4–8 всходами полностью и даже с избытком пополнять оставшиеся пустые лунки.

В результате учета сеянцев 15. IX 1965 г. выявлено, что имеется еще небольшой отпад всходов, который может быть полностью пополнен весной следующего года (ввиду неэффективности осенних посадок хурмы) за счет излишних сеянцев загущенных лунок.

Сеянцы, посаженные в первую половину лета, существенно не отличаются от непересаженных.

Из изложенного видно, что создание культуры хурмы посевом вполне возможно. Оптимальной нормой высева является 7—8 семян в одну лунку.

Рекомендуется применять посев в производственных условиях. При хорошем уходе и поливе на почвах легкого механического состава этот метод, минуя питомник, позволит выращивать насаждения в более короткие сроки и с наименьшими затратами.

Научно-исслед. институт лесного хозяйства  
и агролесомелиорации

Поступило 24. IX 1965

Н. К. Дадашов

### Хурма тохумунун мэдэни шэраитдэ јетишдирилмэси имканлары һаггында

#### ХУЛАСЭ

Бу тэдгигатда өсас мэгсэд хурма тохуму тинкликдэ јетишдирилмэдэн бирдэфэлик, сүн'и олараг салыначаг мешэ саһелэрнийдэ сэпмэклэ, јүксэл фазили битиш вэ ejni заманда тинклиж сэрф олуулан эмэк вахтына, вэсантинэ гэнаэт етмэктэй ибарэтийр. Бу мэгсэдлэ Бэрдэ шэхэриндэки Азэрбайчан Елми-Тэдгигат Мешэ Тэсэррүфаты вэ Агромешемелиорасија Институтуун эразисиндэ тэчруубэ ишлэри апарылыш вэ мэлум олмушдур ки, тохум тинкликдэ јетишдирилмэдэн, һэр җалаға бирдэфэлик 7—8 тохум төкмэклэ сүн'и мешэ салмаг мүмкүндүр. Геjd етмэк лазымдыр ки, сэпинилэ салынаан мешэ шитиллэ салынаан мешэдэн кејфијётли вэ гышадавамлы олур.

Мүэлжэн едилмүшдир ки, мешэ тэсэррүфатында механики тэркибчэ орта вэ јүнкүл килличэли торнагларда һэр җалаға 7—8 тохум төкмэк шэрги илэ, յахши хидмэт вэ суварма апармагла, дании саһэдэ јүксэл фазили битиш элдэ едилр. Бу үсулла, аз вахт вэ эмэк сэрф етмэклэ, нисбэтэн тез вэ кејфијётли мешэ салыныр.

АЗЭРБАЙЧАН ССР ЕЛМЛЭР АКАДЕМИЯСЫНЫН МЭРҮЗЭЛЭРИ

ДОКЛАДЫ АКАДЕМИИ НАУК АЗЕРБАЙДЖАНСКОЙ ССР

ТОМ XXIII

№ 3

1967

#### ГЕЛЬМИНТОЛОГИЯ

С. М. АСАДОВ, Ю. Ф. МЕЛИКОВ

### ОПРЕДЕЛЕНИЕ ЖИЗНЕСПОСОБНОСТИ ЗАРОДЫШЕВЫХ СКОЛЕКСОВ ЭХИНОКОККОВЫХ ПУЗЫРЕЙ ИЗ ПЕЧЕНИ И ЛЕГКИХ ОВЕЦ МЕТОДОМ ЛЮМИНЕСЦЕНТНОЙ МИКРОСКОПИИ

В последние годы метод люминесцентного анализа с успехом применяется в гельминтологии для определения жизнеспособности яиц и личинок гельминтов, а также для дифференциальной диагностики отдельных форм. Кроме того, методом люминесценции удается изучать структуру тканей и органов гельминтов.

Однако нам неизвестны работы по применению люминесцентного метода для определения жизнеспособности зародышевых сколексов эхинококка. Только Н. С. Горина (1961 г.) применяла этот метод для определения жизнеспособности яиц эхинококков от лисиц.

В целях выяснения возможности применения люминесцентной микроскопии для определения жизнеспособности зародышевых сколексов эхинококковых пузырей из печени и легких овец мы в 1963 г. провели некоторую работу, результаты которой излагаем в настоящем небольшом сообщении.

Кроме того, этим же методом мы попытались установить вредное воздействие некоторых физических и химических факторов на жизнеспособность эхинококковых сколексов.

Эхинококковые пузыри из пораженных печени и легких животных доставлялись с Бакинского мясокомбината в лабораторию экологической паразитологии Института зоологии АН Азерб. ССР, где и проводились дальнейшие исследования: установление стерильности и fertильности пузырей, воздействия физических и химических факторов на зародышевые сколексы и проверка жизнеспособности последних методом люминесцентного исследования.

Для окрашивания объектов мы применяли флуорохромы: акридиновый желтый, флуоресцен и родамин 6Ж в разведениях (1:1000; 1:5000; 1:10000), а также акридин оранжевый. Последний оказался, как это отмечено и в литературе для других объектов, наилучшим. Поэтому в последующих исследованиях нами использовался водный раствор акридина оранжевого в концентрации 1:10000. Продолжительность окрашивания варьировалась от 3 до 20 мин.

Процесс флуорохромирования зародышевых сколексов происходит следующим образом. При помощи глазной пипетки зародышевые сколексы эхинококков вытягивались из пузыря и наносились на обезжиренное предметное стекло. Жидкость высушивалась полоской фильтровальной бумаги легким ее прикосновением, и тут же сколексы другой пипеткой заливались несколькими каплями флуорохрома. Затем, по истечении определенного времени флуорохром также высушивался полоской фильтровальной бумаги и сколексы вновь заливались дистиллированной водой, путем нанесения капель глазной пипеткой для промывки от флуорохрома. По окончании процесса флуорохромирования зародышевые сколексы накрывались чистым покровным стеклом, и препарат просматривался в ультрафиолетовых лучах люминесцентного микроскопа типа МЛ-1. Ультрафиолетовые лучи получали с помощью светофильтра УФС-3, который вставлялся на пути лучей ртутно-кварцевой лампы ДРШ-250. Согласно инструкции лучи пропускались также через ванночку с плоскими стеклянными стенками, наполненную 5%-ным раствором медного купороса, и защитный светофильтр ЖС-3 для предохранения зрения от вредных действий ультрафиолетовых лучей.

В целях выяснения флуоресцентных особенностей жизнеспособных зародышевых сколексов эхинококковых пузырей из пораженных печени и легких овец проведены серии лабораторных исследований.

Материал, доставленный с Бакмисокомбината был составлен на 12 ч при температуре 14°C. Флуорохромирование зародышевых сколексов производили водным раствором акридина оранжевого (1:10000) при продолжительности окрашивания 3 мин. В качестве контроля также флуорохромировались зародышевые сколексы из эхинококковых пузырей, умерщвленные высокой температурой в сушильном шкафу.

Результаты всех наших опытов в сравнительном аспекте приводим в табл. 1.

Из таблицы видно, что свежевзятые зародышевые сколексы из эхинококковых пузырей печени флуоресцируют в основном зеленым цветом. Зародышевые сколексы эхинококков из легких также имеют флуоресценцию зеленым цветом, за исключением некоторых экземпляров, которые флуоресцируют желто-оранжевым и оранжевым цветами. Далее, из таблицы видно, что при воздействии высоких температур на зародышевые сколексы последние флуоресцируют оранжевым цветом, а их оболочка — огненно-оранжевым. Если принять во внимание, что зародышевые сколексы выдержанные в течение 15 мин при высоких температурах, погибают и имеют цвет флуоресценции оранжевый с огненно-оранжевой оболочкой, то возможно, что не все свежевзятые зародышевые сколексы из эхинококковых пузырей, добытых из пораженных легких, обладают жизнеспособностью.

В целях выяснения степени действия различных химических компонентов на жизнеспособность зародышевых сколексов эхинококкаами проведена следующая работа.

Способ флуорохромирования остался прежний. Для воздействия на зародышевые сколексы мы применяли: 0,005%-ный раствор НРВ (Нефтяное ростовое вещество), 4%-ный раствор формалина, 50 и 96° спирты и 1%-ный раствор NaCl.

Результаты исследований приводим в табл. 2.

Как видно из таблицы, зародышевые сколексы окончательно погибают в растворах 0,005% НРВ, 50 и 96° спирта, 1% NaCl на 3-й день. Однако при воздействии 0,005%-ным раствором НРВ мы наблюдаем следующее. При продолжительности окрашивания в 3 мин на второй день масса сколексов флуоресцирует у одних сплошным зеленым,

Таблица 1

Флуоресценция свежевзятых и умерщвленных зародышевых сколексов эхинококков из печени и легких пораженных овец

Флуорохром	Концентрация	Интенсивность, $\mu\text{m}$	Флуоресценция свежевзятых зародышевых сколексов из печени		Флуоресценция умерщвленных зародышевых сколексов	
			из легких	из печени	из легких	из печени
Акридин оранжевый	1:10000	3	Зеленая, желто-зеленая	Зеленая, желто-зеленая, у некоторых оранжево-желто-оранжевых	80	15
					Огненно-оранж.	Ярко-оранж.
					Оранж.	Бледно-оранж.
					120	15
					Огненно-оранж.	Ярко-оранж.
					Оранж.	Бледно-оранж.

Таблица 2  
Флуоресценция зародышевых сколексов эхинококковых пузырей, находящихся под воздействием различных химических веществ

Дата исследований*	Цвет флуоресценции	Среды			Цвет флуоресценции	96° спирт	1% р-р NaCl
		4% р-р формалина	50° р-р спирта	Цвет флуоресценции			
1	Клеро-опаккеб.	Одоюока	Одоюока	Одоюока	Одоюока	Одоюока	Одоюока
2	Макса	Макса	Макса	Макса	Макса	Макса	Макса
26. VI 1963	3 мин	3 мин	3 мин	3 мин	3 мин	3 мин	3 мин
27. VI 1963	3 мин	3 мин	3 мин	3 мин	3 мин	3 мин	3 мин

Окончание таблицы 2

1	2	3	4	5	6	7	8	9	10	11	12	13	14	15	16	17	18	19	20	21
28. VI 1963	3 мин																			
29. VI 1963																				
30. VI 1963																				
31. VI 1963																				

\* Материал для исследования находился в указанных средах в течение 22 ч.

а у других—зеленым цветом с оранжевыми пятнами; оболочка—оранжевым цветом. Возможно, что на 2-й день пребывания зародышевых сколексов в указанном растворе и далее происходит умерщвление массы сколекса. Окончательную гибель зародышевого сколекса эхинококка можно наблюдать на 3-й день.

Флуоресценция зародышевых сколексов, подвергнутых воздействию 4%-ного раствора формалина, была такой: в первый день исследований оболочка флуоресцировала зеленым цветом, а у некоторых—оранжевым. В последующие дни исследований оболочки всех сколексов флуоресцировали оранжевым цветом. Масса их на 4 сутки имеет огненно-оранжевое свечение.

При воздействии 50 и 96° спиртов умерщвление зародышевых сколексов происходит почти одновременно.

Действие 1%-ного раствора NaCl. После односуточного содержания материала в указанном растворе появляется оранжевое свечение оболочки, что говорит о начальной стадии умерщвления. При этом масса зародышевых сколексов и крючья сохраняют флуоресценцию зеленого цвета. Полное умерщвление всех зародышевых сколексов происходит на 3-й день.

### Выводы

1. Для определения жизнеспособности зародышевых сколексов эхинококков из флуорохромов наиболее эффективным является водный раствор акридина оранжевого в концентрации 1 : 10 000.

2. Жизнеспособные зародышевые сколексы флуоресцируют в основном зеленым цветом, а при воздействии высоких температур в течение 15 мин зародышевые сколексы погибают, приобретая при этом оранжевую и огненно-оранжевую флуоресценцию.

3. Из примененных химических веществ наиболее губительным для жизни зародышевых сколексов оказался 0,005%-ный раствор НРВ, в результате чего зародышевые сколексы начинают погибать на 2-й день. Это дает основание полагать, что НРВ может быть применен в широком масштабе для умерщвления личиночных стадий других гельминтов во внешней среде, что и подлежит проверке в дальнейшем.

### ЛИТЕРАТУРА

Горина Н. С. К вопросу о роли лисиц в эпизоотологии и эпидемиологии однокамерного эхинококкоза. Сб. науч. информации Всес. ин-та гельминтологии им. акад. К. И. Скрябина, № 7—8, М., 1961.

Институт зоологии

Поступило 19.VII 1966

С. М. Эсадов, Я. Ф. Мэликов

Гојунларын гара вә ағ чијәриндән көтүрүлмүш ехинококк  
говугларындакы рүшејм сколексләриниң һәјат габилијјетинин  
лүминесцент микроскопија үсулу илә тәјин едилемәси

### ХУЛАСӘ

Ехинококк.govuglaryny, rüšejm сколексләриниң һәјат габилијјетинин лүминесцент микроскопија үсулу тәтбиг етмәклә, тә'җин олумасыны јохламаг мәгсәди илә мүэллифләр 1963-чү илдә мүвағиғ тәдгигатлар апармышлар. Һәјат габилијјетине малик олан вә өлмүш рүшејм сколексләриниң һансы флуоресценсија ишығы вермәсини аждылашдырмагдан өтү сколексләр мүхтәлиф гатылыға малик олан (1 :

1000; 1 : 5000; 1 : 10000) флуорохромла (сары акридин, флуорестин, родамин 6Ж вә нарынчи акридин) бојамышдыр. Мә'лум олмуштур ки, нарынчи акридин эн һажы флуорохромлуға маликдир (1 : 10000).

Тәдгигат нәтижесинде ашкар едилемишdir ки, гара чијәрдә һәшиләшиш ехинококк.govuglarydan тәзә көтүрүлмүш рүшејм сколексләри җашыл рәнкдә, ағ чијәрдәккеговуглардан көтүрүлмүш сколексләр исә әсасен җашыл, бә'зиләри исә сары-нарынчи вә нарынчи рәнкдә флуоресценсија едир. Һәјат габилијјетини итириши сколексләр нарынчи рәнкдә флуоресценсија малик олмуштур.

Бундан әlavә, мүэллифләр рүшејм сколексләринин һәјат габилијјетине мүхтәлиф кимжәви маддәләрин тә'сирини өтәнмәк мәгсәди илә ашағыдақы мәннүллардан истифадә етмишләр: 0,005%-ли НБМ, 4%-ли формалин, 1%-ли NaCl, 50 вә 96%-ли спирт.

Мүэллән едилемишdir ки, көстәрилән маддәләрдән эн һажы тә'сир гүввәсине малик оланы 0,005%-ли НБМ-дир (нефт бој маддәси) ки, бу да харичи мүһит шәраптингә мүхтәлиф һеминт сурфэләрини мәнв етмәкдән өтү һәмин маддәдән истифадә олунан билмәси нағында фикир сөјләмәјә имкан верир.

Фәлсәфә

В. Э. ПАШАЕВ

**СОСИАЛИЗМДЕН ӘВВӘЛКИ ФОРМАСИЈАЛАРДА ИЧТИМАИ,  
ИНКИШАФ ГАНУНЛАРЫНДАН ИСТИФАДӘ ЕДИЛМӘСИ  
ҺАГГЫНДА**

(Азәрбајҹан ССР Елмләр Академијасынын академики А. О. Маковелски  
тәгдим етмишидир)

Инсанларын ичтимаи истеңсал фәалијәтиндә мејдана кәлән вә һәмин фәалијәтдә тә'сир көстәрән ичтимаи һәјат ганунлары тәбиэт ганунлары гәдәр објектив характерә маликдир. Бу ганунларын дәрк олумасы вә истифадә едилмәси ичтимаи-игтисади инкишафда инсанларын мәгсәдәүјүни фәалијәтинин эсасыдыр. Материалист диалектиканы мүһүм проблемләриндән олан азадлыг вә зәрурәт пр облеминин башлыча, һәлледичи тәрәфини дә ичтимаи инкишаф гану нларынын дәрк едилмәси вә онлардан истифадә олумасы тәшкил едир.

Материалист фәлсәфә азадлыг вә зәрурәтдән данышаркән онун үч мүһүм тәрәфини: 1) инсанларын тәбиэт ганунларыны дәрк едиб онлардан истифадә етмәклә тәбиэт гүввәләри үзәриндә ағалығыны, 2) инсанларын өз ичтимаи мұнасибәтләри үзәриндә ағалығыны, 3) инсанларын өз мә'нәви мұнасибәтләри үзәриндә ағалығыны гејд едир.

Азадлығын көстәрилән бу үч тәрәфи ичәрисинде икничиси мүһүм вә һәлледичи тәрәф олмагла һәм биринчи, һәм дә сонуичу тәрәфи тә'јин едир. Ичтимаи практиканын инкишафында вә онун тәләбләри эсасында тәбиэт ганунларыны дәрк едиб онлардан истифадә ёдән инсанлар, бу просеси мүәյҗән ичтимаи мұнасибәтләр эсасында јерине јетирирләр.

Мәһәз буна көрә дә азадлығын тарихи инкишафында мүрәккәб, зиддијәтли бир мәнзәрә көрүрүк. Елми билийн инкишафы нәтичесинде инсанларын тәбиэт ганунлары вә зәрурәтләрини дәрк етмәси эсасында онларын тәбиэт гүввәләри үзәриндәки ағалығы кетдикчә күчләнир. Лакин چәмијәттин антагонист синифләрә парчалан масы илә инсанлар өзләrinин јаратыглары кор-корана ичтимаи гүввәләрдәй асаслы вәзијәтә дүшүрләр. Һәмин ичтимаи гүввәләрин тә'сири илә инсанларын тәбиэт гүввәләри үзәриндәки ағалығы һәгигәтдә өз эксинә чеврилир. Үмумијәтлә, چәмијәтти азад етмәли олдуғу һалда, бу ағалығ һаким синифин сәрвәтини, күчүнү артырмаға, мәзлүм синифин исә язадлыгдан мәһрум олmasына хидмәт едән бир васитәје чеврилир.

Истеңсал васитәләри үзәриндә хүсуси мүлкијәтә эсасланан ичтимаи мұнасибәтләrin һәкм сүрдүјү чәмијәтләрдә тәбиэт ганунларын белә бу истифадә синифи антагонизмләр үзәриндә гурулан ичтимаи мұнасибәтләр зәмнишиндә кетдијиндән азадлыг әзилән синифләр үчүн дејил, һаким синифләр үчүн азадлыг олур. К. Маркс буны ашагыда кими ифадә едир: „Бизим зәманәмиздә һәр шеј санки эксликләрлә долудур. Биз көрүрүк ки, ишсан әмәжини азалтмаг вә даһа сәмәрәли етмәк кими е'чазкар гүввәје малик олан машиналар инсанлара ачлыг вә зилләт кәтирир. Инијәдәк мә'лум олмајан јени сәрвәт мәнбәләри бир нөв гәрибә вә аилашылмаз әфсуилар сајесинде Ёхсуллуг мәнбәләринә чеврилир. Бәшәријәт тәбиэтти өзүнә табе етдирикчә ишсан башга адамларын гулуна, я да өз алчаглығынын көләсинә чеврилир”.

Беләликлә, азадлыг вә зәрурәтин диалектик гарышылыгы мұнасибәттингә инсанларын өз ичтимаи мұнасибәтләри үзәриндә ағалығы, башга сөзлә, онларын чәмијәт ганунларыны дәрк едиб онлардан өз мәнафеји үчүн истифадә етмәси сајесинде наил олдуғлары азадлыг һәлледичи олуб, үмумијәтлә азадлығын ичтимаи эсасыны тәшкил едир.

Ичтимаи ганунларын дәрк едилмәси вә онлардан истифадә олумасы истеңсал мұнасибәтләринин типи илә, истеңсал васитәләри үзәриндә мүлкијәт мұнасибәтләрилә мүәйҗән олудуғундан о, бүтүн формасијаларда ejni олмамышыр, јәни азадлыг бәшәријәтин тарихи инкишафындан доған конкрет тарихи бир просесдир. Бу просесдә исә ичтимаи мүһит, ичтимаи мұнасибәтләр системи башлыча рол ојнајыр. Она көрә дә инсанларын эсил азадлыға наил олмасы үчүн онларын ичтимаи инкишаф ганунларыны дәрк етмәси, ичтимаи мүлкијәтә эсасланан ичтимаи мұнасибәтләр системи јаратмасы, өз фәалијәтләрини објектив аләм ганунларынын тәләбләри эсасында гурмасы тәләб олунур, бу исә аңчаг сосиализмдә вә коммунизмдә мүмкүндүр.

Антагонист синифли формасијаларда ичтимаи инкишаф ганунларында үмумијәттә чәмијәттә мәнафеји үчүн истифадә олунна билмәз. Һәмин формасијаларда истеңсал мұнасибәтләринин характеристи еләдир ки, истеңсал васитәләри үзәриндәки мүлкијәт мұнасибәтләри истеңсалда һаким олан синиф ганунлардан аңчаг дар синиф мәнафе үчүн истифадә етмәје имкан верири. Буна көрә дә һәмин формасијаларда ичтимаи истеңсалын сәвијјәсиини јүксәлмәси билавасите истеңсалла мәшғул олан зәһимәткешләрин вәзијәтинин писләшмәси илә мүшајиэт олунур.

Ичтимаи инкишафын мүхтәлиф пилләләриндә, хүсусилә ичтимаи ингилаблар заманы, истеңсалда һаким олмајан синифләрин мәнафејиини бир-биринә уйғын кәлмәси истисна олмагла, антагонист формасијаларда бүтөвлүкдә мәнафе үмумилиji мөвчуд дејилдир. Хүсуси мүлкијәтә эсасланан ичтимаи мұнасибәтләр системинде һәр кәс өз фәрди мәгсәдини изләјир, бир фәрдин мәнафеји башгасынын мәнафејине, бир синифин мәнафеји башга синифин мәнафејинә әкс олур вә бу мәнафееләр бир-бирила тоггушур.

Ичтимаи ингилаблар заманы Яарнаан мәнафе үмумилиji кәлдикдә, бу, сабит һал дејилдир, һакимијәтә чан атан синиф өз мәгсәдине илә олдуғдан соңра мәнафе үмумилиji арадан чыхыр, јенә дә мәнафе наил арасында мұнагиша башлајыр. К. Маркс вә Ф. Енкелс қөстәрфеләр арасында мұнагиша башлајыр. „өзүнү она гәдәр һәкмранлыг етмиш синифин јерине гојмаг мишләр ки, „өзүнү она гәдәр һәкмранлыг етмиш синифин јерине гојмаг үчүн өз истәјен һәр һансы јени синиф... өз мәгсәдләрине наил олмаг үчүн өз

ї. К. Маркс и Ф. Энгельс. Соц., том 12, с. 4.

мәжә мәчбүрдур"...<sup>2</sup>. Мәсәлән, буржуазија феодал истеңсал мұнасибәтләриң гаршы мұбаризә едәркән кенини халг күтләләрилә мәнафе үмумилији зәмнинидә чыхыш едири. Лакин буржуазија һәкимијәтә кечдикдән соңра бу мәнафе үмумилији тәдричәң мәнафе әкслијине чөврилмәжә башлады. Демәли, антагонист синифли чәмијәтләрдә мәнафе вә мәгсәд үмумилији, бу әсасда да ичтиман гануилардан чәмијәтин мәнафеи наминә истифадә едилмәсі гејри-мұмкүндүр.

Гејд етмәк лазыымдыр ки, мөвчуд фәлсәфи вә иғтисади әдәбијатда ичтиман инициаф гануиларындан социализмдән әвшелки формасијаларда истифадә едилб-едилмәмәсі мәсәләсіндә бир сырға нөгтеңи-нәзәрләр мөвчуддур. Мүэллифләрдән А. Румянцев, И. Кон, Н. Рубцов<sup>3</sup> вә башгалары ичтиман гануилардан данышарқән көстәриләр ки, социализмдән әвшелки формасијаларда да инсанлар, ичтиман гануилары кәшф едир, оилары дәрк едир, бу вә յа дикәр дәрәчәдә онлардан шүурлу сурәтдә чәмијәтин мәнафеи наминә истифадә едирдиләр. Адлары чәкилән мүэллифләр бу фикри әсасландырмаг үчүн илк буржуа ингилабарында буржуазијанын истеңсал мұнасибәтләринин мәнсүлдар гүввәләриң характеринә уйғунлуғу гануундан истифадә етмәсіни мисал кәтириләр.

Лакин көстәрилән бу нөгтеңи-нәзәрлә разылашмаг олмаз. Мә'лумдур ки, Маркса гәдәрки социологијанын башлыча нөгсаниларындан бири ичтиман инициаф гануиларынын кәшф едилмәмәсі иди. В. И. Ленин гејд етмишdir ки, Маркс ичтиман инициаф ганунаујуилугларынын кәшф едәнә гәдәр халг күтләләри өз ичтиман мұнасибәтләрине шүүрсуз уйғулашырдылар<sup>4</sup>. Ичтиман инициаф гануилары илк дәфә Маркс тәрәфиндән кәшф едилмишdir. Белә олдуғу һалда, бу гануилардан буржуазија шүүрлу оларға чәмијәтин мәнафеи үчүн истифадә едә биләрдими? Гануилардан шүүрлу истифадә едилмәсінде һалызы гануиларын кәшфи вә дүзкүн идракы әсасында мұмкүндүр. Бәс буржуазијанын ичтиман инициаф гануиларындан истифадә етмәсіндән һансы шәкилдә данышмаг олар?

Шүбің ола билмәз ки, феодализмә гаршы мұбаризәдә буржуазија соңалар Маркс тәрәфиндән кәшф едилән „мұтләг уйғуны“ гануундан шүүрлу истифадә етмәшишdir. Һәмни гануун мөвчудлуғуңа билмәжән буржуазија феодал истеңсал мұнасибәтләринин деврилмәсіни ичтиман зәрүрәт үзүндән Јеринә жетирмишdir. Ичтиман инициафыны обьектив кедиши—феодал истеңсал мұнасибәтләри ичәрисинде буржуа мұнасибәтләринин жетишмәсі, мұхтәлиф синифләрин мәнафеинин үстүстә дүшмәсі вә с. буржуазијаны қоңиң истеңсал мұнасибәтләрини девирмәжә, յараимыш буржуа мұнасибәтләрини җени мәнсүлдар гүввәләриң характеринә уйғулашдырмага тәһрик едири. Буну XVII—XVIII әср буржуа ингилабарында буржуазијанын „мұтләг уйғуны“ гануунун тәләбләриң кортәбии әмәл вә истифадә етмәсіндән көрүрүк.

Әкәр буржуазија ичтиман инициаф гануиларыны билмирдисә, бәс феодализмә гаршы мұбаризәдә нечә галиб кәлмишdir?

Мә'лумдур ки, социализмә гәдәрки антагонист синифли формасијаларда ичтиман мұнасибәтләр хүсуси мүлкијәтә әсасландырылардан мејдана кәлән җени истеңсал мұнасибәтләри қоңиң истеңсал мұнаси-

бәтләринин дахилиниң жетишр вә јараныр. Демәли, капиталист истеңсал мұнасибәтләри феодал истеңсал мұнасибәтләри дахилиниң жараныр. Она көра дә буржуазијаның гаршысында капиталист тәсәрүфат формасыны вә капиталист мұнасибәтләрини жаратмаг вәзиғеси дурмурду, чүнки бунлар феодализм чәмијәтти ичәрисинде артыг жетишмишdir. Буржуазијаның вәзиғеси аңчаг қоңиң истеңсал мұнасибәтләрини ләғв етмәкдән, җени мәнсүлдар гүввәләриң характеринә уйғуны олан һаким буржуа истеңсал мұнасибәтләрини бүтүн саһәләрдә рәсмиләштирмәкдән ибарәт иди. Бу исә неч бир ичтиман ганууну билмәдән дә Јеринә жетирилә билән, җәни ичтиман зәрүрәтин ирәли жәт етибарилә бу заман буржуазија дөвләтдә мүһүм бир синиф олмушду, задәканлар исә бүтүн өз ичтиман функцијаларыны итиришиләр вә бу јох олмуш функцијаларыны мүгабилиндә һалызы қәлир көтүрмәкдә давам едирдиләр. Бундан әлавә, бүтүн буржуа истеңсалы орта әсрләрин феодал сијаси формалары чәрчиwәснинде галмагда иди; бу истеңсал тәкчә мануфактура дејил, сәнәтдә дә چохдан бәри һәмни чәрчиwәни өтмүшдү; өчәшмә мәнбәжине чөврилмиш вә истеңсал үчүн бухов олмуш сајсыз-несабсыз сех имтијазлары онун инициафына мане олурду, Јерли вә әжаләт көмрүк әнкәлләри бу инициафа манечилик төрәдирди.

Буржуа ингилабы буна соң гојду, лакин буны... тәсәрүфат вәзијәтини сијаси гурулуша уйғулашдырмаг յолу илә етмәди... әксинә, қоңиң, ҹүрүк сијаси зирзибли бир кәнара атмаг вә „Жени тәсәрүфат вәзијәтинин“ յашајыб инициаф етмәсінә имкан верән бир сијаси гурулуш жаратмаг յолу илә етди“.

Буржуазијаның „мұтләг уйғуны“ гануунундан шүүрлу истифадә етмәмәсіни онун һакимијәтә кечдикдән соңра һәјата кечирдији тәдбиrlәр дә сүбут едир.

Ичтиман инициаф гануиларындан чәмијәтин мәнафеи үчүн истифадә едилмәсі фасиләсиз бир процес олмагла һәмни гануиларын кәшф едилмәсіни, онларын тәләбләриң дүзкүн әмәл олунмасыны вә онлардан шүүрлу истифадә едилмәсіни һәзәрдә тутур. Көрдүйүмüz кими, буржуазија һәмни гануилары елми сурәтдә кәшф етмәшишdir. Демәли, айын мәсәләдир ки, буржуазија ичтиман инициаф гануиларындан аңчаг өз мәнафеи үчүн ичтиман инициафын кедиши уйғун олдуғу заман истифадә етмәшидир, бу исә һәмни гануилардан шүүрлу истифада сајыла билмәз.

Фәлсәфә сектору

Алымышдыр 7. 1 1967

В. А. Пашаев

## Об использовании законов общественного развития в досоциалистических формациях

### РЕЗЮМЕ

В статье рассматривается вопрос об использовании общественных законов в досоциалистических формациях. В полемике с некоторыми авторами, придерживающимися точки зрения осознанного использования общественных законов в досоциалистических формациях, доказывается, что в досоциалистических формациях общественное развитие и действие его законов носят стихийный характер, не поддаются сознательному регулированию. Объективные общественные отношения,

<sup>2</sup> К. Маркс и Ф. Энгельс. Соч., том 3, с. 47.

<sup>3</sup> Бах: А. Румянцев. О характере экономических законов при социализме. М., 1955, с. 24; И. С. Кон. О действиях экономических законов в антагонистических формациях. Журн. „Вопросы истории“, № 5, 1954, с. 128; Н. Рубцов. „Соотношение свободы и необходимости в развитии социалистического общества (Автореферат кандидатской диссертации)“, М., 1962, с. 4—5.

<sup>4</sup> Бах: В. И. Ленин. Эссе, 1-чи чилд, с. 132.

базирующиеся на частной собственности на средства производства и связанные с ними другие общественные явления, исключают возможность сознательного использования общественных законов. Что касается использования буржуазией закона соответствия производительных сил характеру производственных отношений в ранних буржуазных революциях, то этот процесс носил стихийный характер, буржуазия выполняла требования "закона соответствия" не сознательно, а в силу исторической необходимости, ибо ее интересы совпадали с требованиями указанного закона.

В статье подробно анализируется также ряд других аспектов рассматриваемого вопроса.

### 3. ЯМПОЛЬСКИЙ

#### О ФОРМИРОВАНИИ ПОНЯТИЯ „БОГ“

(Представлено академиком АН Азербайджанской ССР А. О. Маковельским)

Формирование понятия „бог“ С. А. Токарев<sup>1</sup> и другие связывали с первобытной магией<sup>2</sup>, включая<sup>3</sup> в ее состав два совершенно различных явления, связанных и не связанных с понятием „бог“. Давно замечено, что в обоих этих явлениях есть партиципация, т. е. в них „часть“ (часть, подобное, начало, предыдущее) равнозначна „целому“ (целому, действительному, полному, причине последующего). Но в одной группе этих явлений<sup>4</sup> объективно и субъективно действуют только люди, в то время как в другой группе<sup>5</sup> „действуют“ люди и бог. Многолетние полевые опросы, исследование коллективной, закономерно-устойчивой памяти людей, объективно отраженной в повторяемых „слово в слово“ массе пережитков первобытно-магических заговоров—заклинаний (вербальная магия), подтвердили, что подавляющее большинство даже современных пережитков первобытно-магических действий субъективно не было связано с представлениями о сверхъестественном (или олицетворенном или безличном).

Первобытная магия зародилась в ходе антропогенеза, до религии, на основе очеловечивания (активизации), трудом биологически-закономерного<sup>6</sup> партиципального отражения<sup>7</sup>. Труд, будучи исходным и основным источником понятий „причина“ и „создание“, очеловечил пассивную биологически закономерную партиципацию. Тем самым труд определил давно замеченную Дж. Фрэзером и другими основную закономерную черту первобытной магии: „часть“ действий людей партиципально творит (вызывает) „целое“.

Палеолитические и другие археологические факты (уложенные рога, черепа и другие кости, скорченное трупоположение, окраска

<sup>1</sup> Ранние формы религии и их развитие, М., 1964; Религия в истории народов мира, М., 1965.

<sup>2</sup> Пахота реки для прекращения засухи, бросание священника в воду для тех же целей, огромная масса аналогичных фактов.

<sup>3</sup> J. Frazer. The Golden bough. Lond., 1959.

<sup>4</sup> Ниже именуемых первобытной магией.

<sup>5</sup> Ниже именуемых культовым ритуалом.

<sup>6</sup> Материалы сессии, посвященной итогам археологических и этнографических исследований 1964 г. в СССР, Баку, 1965, стр. 232.

<sup>7</sup> Последнее многократно экспериментально наблюдалось при исследовании психологии животных и—формировании мышления детей.

трупов, палеолитическая скульптура и живопись<sup>8</sup>), обильный этнографический материал, аналогичный и тождественный археологическим фактам, показывают длительное сохранение пережитков первобытной магии. Они сохранялись в силу традиции условных рефлексов. Пережитки первобытной магии сохраняли в сознании людей пережиточную партиципацию.

После возникновения понятия „бог“ меньшая часть пережитков первобытной магии была ассилирована религией. Результатом этой ассилияции было новое явление—культовый ритуал.

Частным случаем очеловеченного партиципального отражения является тотемизм. С. А. Токарев и другие признают, что основной за кономерной чертой его являются представления о родстве группы людей с тотемами, т. е. видами животных и растений. Эта черта—результат партиципального восприятия воспроизведения („часть“) жизни<sup>9</sup> в качестве производства („целое“) жизни. Поэтому животные и растения считались источником жизни людей, их предками—родичами.

После возникновения понятия „бог“ меньшая часть пережиточных представлений о тотемах была ассилирована религией. Результатом этой ассилияции было новое представление о тотемах—богах.

Большинство пережитков первобытной магии и тотемизма существовало и существует без связи с понятием „бог“.

Социальные и гносеологические корни понятия „бог“ вскрыты К. Марксом, Ф. Энгельсом и В. И. Лениным. Это понятие определено В. И. Лениным: „нечто в ие природы и, притом, производящее природу“<sup>10</sup>. Основой процесса формирования понятия „бог“ был дорелигиозный общественный опыт всех людей<sup>11</sup>. Он концентрировался в заветах предков, приносил людям добро; ибо он<sup>12</sup> был социальной силой—причиной, игравшей очень большую роль в переделке („часть“) людьми природы. Но этот опыт, его сила пережиточно-партиципально воспринимались как внешняя сила—причина, производящая („целое“) природу и господствующая над людьми.

Источники силы заветов предков, т. е. накопленного тысячелетиями общественного опыта, не были даны в ощущениях, органами чувств непосредственно эти источники не воспринимались. Для живущих поколений источники силы—причины общественного опыта были сверхчувственными, ибо они воспринимались только через слова (затворы предков).

В течение тысячелетий дорелигиозной поры выполнение заветов предков приносило людям добро, помогало им жить. Поэтому мигновковая традиция запрещала нарушать эти заветы. Этнография документирует, что их нарушителей нередко убивали.

Развитие производительных сил, производства, знаний, расширение и углубление на этой основе общественного опыта<sup>13</sup> делало часть заветов предков устаревшими, вредоносными для жизни людей, приносящими им зло. Но устаревший общественный опыт, закрепленный в заветах предков, изживался не сразу. Этот мертвящий опыт сохраняла могучая сила традиции, подкрепляемая наказаниями нарушителей заветов предков. Поэтому, устаревший, мертвящий, приносящий

<sup>8</sup> Включая рисунки коллективных танцев, являющихся партиципацией партиципальных действий охоты—гона. Все они—то искусство, а основа материальной формы прекрасного.

<sup>9</sup> В результате потребления животной и растительной пищи.

<sup>10</sup> В. И. Ленин. Полное собрание сочинений, т. 18, стр. 240—241.

<sup>11</sup> А не выдуманный врагом марксизма-ленинизма А. Богдановым идеалистический авторитет „организаторов“.

<sup>12</sup> А не богдановская „авторитарная причинность“.

<sup>13</sup> Очень заметное, в частности—на стадии перехода к верхнему палеолиту.

людям зло накопленный общественный опыт дорелигиозной поры в виде ненарушаемых заветов предков долго был социальной силой, угнетавшей людей. Противоречие между устаревшим, угнетающим, общественным опытом и категорическими запретами нарушать все заветы предков порождало специфически-человеческий страх.

Отражением всего (живого и мертвящего) общественного опыта дорелигиозной поры было общее понятие: „сверхчувственная сила, производящая природу, приносящая добро и зло“.

Пережиточная партиципация гносеологически содействовала<sup>14</sup> превращению „сверхчувственного“ („часть“) этого понятия в фантастическое „сверхъестественное“ („целое“). Тысячелетняя преемственность накопленного общественного опыта была земным материалом, отразившимся как бессмертие богов.

Археологические и этнографические факты документируют, что вместе с идолами (фетишами) первых богов были хозяйственно-культовые центры (очаги) первобытных общин. Пережитки этих святилищ-богов<sup>15</sup> сохранились<sup>16</sup> в современных пирах, сурпах, хатах, „святых местах“, оджагах, хачах, джвари, мазарах и др. Святилища-боги считались (и считаются) богами с универсальными возможностями<sup>17</sup>, сугубо локальными богами<sup>18</sup>. Первичность святилищ-богов доказывает их локальность, местонахождение в первобытных убежищах людей<sup>19</sup>, их первобытные социальные окаменелости<sup>20</sup>.

Пережиточно-партиципальное распространение понятия „бог“ на человека породило понятие „душа“ (нередко—бессмертная). Такое же распространение на все явления породило политеизм и его партиципальную вещественную форму в виде (поли) фетишизма. Только в классовом обществе, в государстве понятие бог развило в универсального по возможностям и внепространственного бога.

Роль слов<sup>21</sup> в формировании понятия „бог“, вероятно, была исходным материалом для возникновения понятия „логос“ (слово—бог“) евангельского „В начале было Слово, и Слово было у Бога, и Слово было Бог“ и—мусульманского „калям“.

Институт истории

Поступило 29. X 1966

З. И. Йамполски

### Аллаһ анилајышынын тәшәккүлү һағында ХУЛАСӘ

Мүәллиф динин меңдана кәлмәси һағында марксизм-ленинизмә әсасланараг, мәгаләдә „аллаһ“ анилајышынын диндән әvvәлки дөврә җашамыш инсанларын ичтиман тәчрүбәсінин әмәли ин'икасы олдуғы мәсәләсінни ирәли сурур. Инсанларын анчаг аллаһлара вә онларын симасына олан мұнасабетләrinә диндән әvvәлки дөврә аид макија вә тотемизмни тә'сири олмушшур. Ахырынчылар биология ганунауғын парасипал ин'икасынын інтичәсідір. Бу ин'икасада чүз бир күлл кими гәбул едилди. Аллаһларын (ибтида мә'бәдләрин) бириңи мадди сималары (фетишиләр) локал олуб, өз имканларына көрә универсал несаб едилмишдір.

<sup>14</sup> Может быть, являясь исходным фактором абстрагирования.

<sup>15</sup> Полные или частично-партиципальные.

<sup>16</sup> Физически или идеино.

<sup>17</sup> Ибо общественный опыт влиял на все стороны жизни людей.

<sup>18</sup> Ибо локальна была вся жизнь первобытной общинны—очага. Массовый материал о локальных святилищах—богах является дополнительным опровержением прамонотеистических спекуляций.

<sup>19</sup> Пещеры и др. с орудиями труда каменного века.

<sup>20</sup> Коллективное производство, потребление, всеобщее право убежища, отношения собственности.

<sup>21</sup> Заветов предков.

## Стратиграфија

Г. Э. Элизадә, Л. И. Элијева, Н. Л. Ресулов. Газах рајону Агчакиль чекүнтуләринин стратиграфијасына даир	46
---	----

## Физиолокија

А. И. Гарајев, И. А. Гәдиров. Гара чијәрин ајры-ајры пајларынын тохумаларындакы инсулинизанын фәаллығы нағтында	50
---	----

## Микробиологија

С. О. Ресулов, С. С. Эфандијев. Кирдиманчај вә Ағсу чај суларынын кимјәви тәркибләринин вә микрофлорасынын илли фәсилләрindән асылы ола- раг дәјишишмәси нағтында	53
--	----

## Биологија

Д. И. Мугалинскаја. Азәрбајчанын јемләрindә шәкәрләрни, микротеләрни, интратларын, каротинин тәркиби вә кәнд тәсәррүфаты һејваңлары учун там гијмәти јемләмә тәшкүл едәркән онларын һесаба алымасынын зәурүрилији	57
---	----

## Торпаг мелиорасијасы

Ш. Г. Тагиров. Шоран торпагларын мухтәлиф су нормалары илә јуул- масы	62
--	----

## Ботаника

М. И. Абуталыбов, Н. Вәзирова. Кечиричи тохумаларда оксидләшмә процессләрindә мисли ферментләрин иштиракы	67
--	----

## Биткичиллик

Н. К. Дадашов. Хурма тохумунун мәдәни шәрантдә јетишдирилмәси имканлары нағтында	72
---	----

## Неминтолокија

С. М. Эсэдов, Ј. Ф. Мәликов. Гојуиларын гара вә ағ чијериндән кө- түрүлмүш ехинококк говуугларындакы рүшешмә сколексләринин һәјат габилијәти- нин лүминесцент микроскопија үсулу илә тә'јин едилмәси	75
--	----

## Фәлсәфә

В. Э. Пашајев. Социализмдән әввәлки формасијаларда ичтимай инициаф гапнуиларындан истифадә едилмәси нағтында	82
---	----

З. И. Ямполски. Аллаһ айлаышынын тәшәккулү нағтында

87

## МУНДЭРИЧАТ

### Ријазијјат

Р. М. Элијев, Ф. А. Фәрәчов. Бә'зи функцијалар синифләрindә екстремал мәсәләләр	3
---	---

### Техники физика

Ч. М. Чуварды, Ј. В. Дмитријев. Мүстәви эффектиинин кечиричидә вә јердә коммутацион кечиричи просесләрдә изәэрә алымасы	7
---	---

### Кимја

М. И. Даунов. HgTe-да енержи зонасынын структурона даир	10
---	----

### Үзви кимја

Н. М. Сејидов, М. А. Далин, Д. А. Коптјев. Етиленин пентен-1 илә маје пентен мүһитиндә биркәполимерләшмәсүнин тәдгиги	16
---	----

### Кимја

Ү. Х. Агајев, С. Ч. Мәнијев, Б. Д. Лаврухин, Е. И. Федин. Тиклонексанын һалокенили тәрәмәләринин ПМР спектрләре вә тиклонексан һәл- гасыннан рәгсләри нағтында	20
---	----

### Кимја техналокијасы

М. Ф. Нагыјев, Ч. Ш. Ибраһимов, Е. Э. Іачијева. Адсорбентләрни гуруулушуну адсорбатын сәти концентрасијасынын орта гијмәтина тә'сири	24
--	----

### Кеолокија

В. М. Бабазадә, Р. С. Малјутин. Азәрбајчанын офиолит формасијасынын нодулјар хромит филизләре вә онларын әмәлә кәлмәсүнин бә'зи ҹәһәтләри	31
---	----

### Кеолокија

И. С. Башинчагјан. Дағлыг рајонларда сүрүшмәләрни тәснифатына даир	36
--	----

М. Р. Абдуллајев, Р. І. Гуліјева. Сармат мәртәбәси чекүнтуләр- инин Орта Кур чөкәклијинде нефтилил-газлылыг перспективлијине даир	39
--	----

### Нефткеолокијасы

Н. Г. Гәдиров, А. М. Гасымов. Лаја исти су вурулдугда нефтвәрмә эмсалынын тәдгиги	43
--	----

## СОДЕРЖАНИЕ

### Математика

Р. М. Алиев, Ф. А. Фараджев. Экстремальные задачи для некоторых классов функций . . . . . 3

### Техническая физика

Ч. М. Джуварлы, Е. В. Дмитриев. Учет поверхностного эффекта в проводе и земле при расчете коммутационных переходных процессов в линии электропередач . . . . . 7

### Химия

М. И. Даунов. О структуре энергетических зон в теллуриде ртути . . . . . 10

### Органическая химия

Н. М. Сейдов, М. А. Далин, Д. А. Коптев. Исследование процесса сополимеризации этилена с пентеном-1 в среде жидкого пентена-1 . . . . . 16

### Химия

У. Х. Агаев, С. Д. Мехтиев, Б. Д. Лаврухин, Э. И. Федин. ПМР спектры галоидпроизводных циклогексана и о колебании циклогексанового кольца . . . . . 20

### Химическая технология

М. Ф. Нагиев, Ч. Ш. Ибрагимов, Э. А. Гаджиева. Влияние структуры адсорбентов на среднее значение поверхностной концентрации адсорбата . . . . . 24

### Геология

В. М. Баба-заде, Р. С. Малютин. Нодулярные хромитовые руды офиолитовой формации Азербайджана и некоторые вопросы их генезиса . . . . . 31

И. С. Башиджагян. К классификации оползней в горных районах . . . . . 36

М. Р. Абдуллаев и Р. Г. Кулиева. О перспективах нефтегазоносности отложений сарматского яруса восточной части Среднекуринской впадины . . . . . 39

### Геология нефти

Н. К. Кадыров, А. М. Касумов. Исследование нефтеотдачи при закачивании в пласт горячей воды . . . . . 43

### Стратиграфия

К. А. Ализаде, Л. И. Алиева и Г. Л. Расулов. К стратиграфии акчагыльских отложений Казахского района . . . . . 46

### Физиология

А. И. Каравев, И. А. Кадыров. Об активности инсулины в различных долях ткани печени крысы . . . . . 50

### Микробиология

С. О. Расулов, С. С. Эфендиев. Сезонные изменения микробиологического пейзажа воды рек Гирдыманчай и Аксу . . . . . 53

### Биология

Д. И. Мугалинская. Содержание сахаров, микроэлементов, нитратов, каротина в кормах Азербайджана и необходимость их учета при организации полноценного кормления сельскохозяйственных животных . . . . . 57

### Мелиорация почв

Ш. Г. Таиров. Исследование выщелачивания солей при разных промывных нормах в условиях Северной Мугани (методом малых делянок) . . . . . 62

### Ботаника

М. Г. Абуталибов, Н. Б. Везирова. Об участии медьюсодержащих ферментов в окислительных процессах проводящих тканей . . . . . 67

### Растениеводство

Г. Г. Дадашев. О возможности создания культуры хурмы посевом . . . . . 72

### Гельминтология

С. М. Асадов, Ю. Ф. Меликов. Определение жизнеспособности зародышевых сколексов эхинококковых пузырей из печени и легких овец методом люминесцентной микроскопии . . . . . 75

### Философия

В. А. Паşaев. Об использовании законов общественного развития в до- социалистических формациях . . . . . 82

З. Ямпольский. О формировании понятия «бог» . . . . . 87